

เอกสารนี้เป็นของมหาวิทยาลัย
สงขลา ประจำปี พ.ศ. ๒๕๖๒



รายงานวิจัย

การสำรวจปริมาณไมโครพลาสติกในตัวอย่างทรายชายหาด
บริเวณชายหาดแหลมสน อ่อน ตำบลบ่อ Yang อำเภอเมือง จังหวัดสงขลา

Quantification Survey of Microplastics in Beach Sand
in Leam Son-on Beach, Bo Yang Subdistrict, Mueang District,
Songkhla Province



รายงานฉบับนี้เป็นส่วนหนึ่งของการศึกษา
หลักสูตรวิทยาศาสตรบัณฑิต สาขาวิชาวิทยาศาสตร์สิ่งแวดล้อม
คณะวิทยาศาสตร์และเทคโนโลยี มหาวิทยาลัยราชภัฏสงขลา

2561



ใบรับรองงานวิจัย

มหาวิทยาลัยราชภัฏสงขลา

หลักสูตรวิทยาศาสตรบัณฑิต

สาขาวิทยาศาสตร์สิ่งแวดล้อม

ชื่อเรื่องงานวิจัย

การสำรวจปริมาณไมโครพลาสติกในตัวอย่างทรายชายหาดบริเวณชายหาด

แหลมสนอ่อน ตำบลบ่อ Yang อำเภอเมือง จังหวัดสงขลา

Quantification Survey of Microplastics in Beach Sand in Leam

Son-on Beach, Bo Yang Subdistrict, Mueang District, Songkhla

Province

ชื่อผู้ทำงานวิจัย

กนกพร บัวจันทร์ และเบญจวรรณ์ มณีโชค

คณะกรรมการสอบโครงการวิจัย

.....
อาจารย์ที่ปรึกษา

(อาจารย์ ดร.สุริพร บริรักษ์สิริศักดิ์)

.....
อาจารย์ที่ปรึกษาร่วม

(อาจารย์ ดร.สายสิริ ไชยชนะ)

.....
ประธานกรรมการสอบ

(ผู้ช่วยศาสตราจารย์ขวัญกมล ขุนพิทักษ์)

.....
กรรมการสอบ

(อาจารย์ สุวิรรณ ยอดรุ้ง)

.....
กรรมการสอบ

(อาจารย์หรรษา สวีบูรณ์)

.....
กรรมการสอบ

(อาจารย์นัตดา โพคำ)

.....
กรรมการสอบ

(อาจารย์ ดร.สุริพร บริรักษ์สิริศักดิ์)

.....
กรรมการสอบ

(อาจารย์ ดร.สายสิริ ไชยชนะ)

.....
กรรมการสอบ

.....
ประธานหลักสูตร

(ผู้ช่วยศาสตราจารย์ขวัญกมล ขุนพิทักษ์)

(ผู้ช่วยศาสตราจารย์ ดร.อนุมัติ เเดชนะ)

คณบดีคณะวิทยาศาสตร์และเทคโนโลยี

เมื่อวันที่ เดือน พ.ศ.

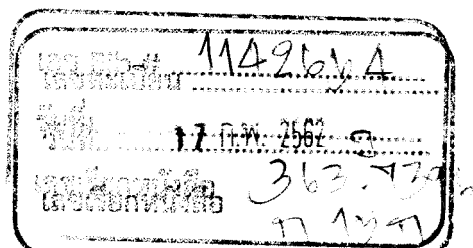
ลิขสิทธิ์มหาวิทยาลัยราชภัฏสงขลา

ชื่อเรื่อง	การสำรวจปริมาณไมโครพลาสติกในตัวอย่างทรายชายหาดบริเวณชายหาดแหลมสน อ่อน ตำบลบ่ออย่าง อำเภอเมือง จังหวัดสงขลา		
ชื่อผู้ทำงานวิจัย	นางสาวกนกพร บัวจันทร์	รหัสนักศึกษา	564232001
	นางสาวเบญจารณ์ มณีโชค	รหัสนักศึกษา	564232016
อาจารย์ที่ปรึกษา	อาจารย์ ดร.สิริพร บริรักษ์สิริศักดิ์		
อาจารย์ที่ปรึกษาร่วม	อาจารย์ ดร.สายสิริ ไชยชนะ		
หลักสูตรวิทยาศาสตรบัณฑิต	สาขาวิชาวิทยาศาสตร์สิ่งแวดล้อม		
สถาบัน	มหาวิทยาลัยราชภัฏสงขลา		
ปีการศึกษา	2561		

บทคัดย่อ

ปัจจุบันไมโครพลาสติกเป็นปัญหาสิ่งแวดล้อมทางทะเลที่ได้รับความสนใจอย่างแพร่หลายเนื่องจากสามารถส่งผลกระทบต่อระบบนิเวศทางทะเล การศึกษาในครั้งนี้ได้สำรวจไมโครพลาสติกในตัวอย่างทรายชายหาดบริเวณชายหาดแหลมสน อ่อน ตำบลบ่ออย่าง อำเภอเมือง จังหวัดสงขลา ซึ่งเป็นชายหาดท่องเที่ยวที่สำคัญในจังหวัดสงขลา โดยมีการเก็บตัวอย่างทรายชายหาดจาก 10 จุด ในเดือนตุลาคม 2560 ตัวอย่างที่เก็บจากแต่ละพื้นที่ได้นำมาแยกไมโครพลาสติกโดยใช้สารละลายโซเดียมคลอไรด์ จำนวนน้ำไมโครพลาสติกที่ได้มาตรวัด ปริมาณ รูปร่าง สี และขนาดของไมโครพลาสติกโดยใช้กล้องจุลทรรศน์ ผลการศึกษาพบการปนเปื้อนของไมโครพลาสติกในทุกจุดเก็บตัวอย่างที่ทำการศึกษา พบริมาณไมโครพลาสติกเฉลี่ย 358 ± 102 ชิ้นต่อ กิโลกรัมน้ำหนักทรายแห้ง ($n=10$) รูปร่างของไมโครพลาสติกที่พบมากที่สุด คือ เส้นใย (ร้อยละ 62.3) และชิ้นส่วนรีรูปแบบ (ร้อยละ 32.3) สีของไมโครพลาสติกที่พบมากที่สุด คือ สีขาวใส (ร้อยละ 31.51) และสีดำ (ร้อยละ 20.32) ไมโครพลาสติกที่พบมีขนาดระหว่าง 0.01 - 8.04 มิลลิเมตร กิจกรรมพักผ่อนหย่อนใจ กิจกรรมการประมง กิจกรรมการท่องเที่ยว โรงแรม ร้านอาหาร และขยะพลาสติกที่พับในพื้นที่อาจเป็นแหล่งกำเนิดของไมโครพลาสติกได้

คำสำคัญ: ไมโครพลาสติก ทรายชายหาด ชายหาดแหลมสน อ่อน สงขลา



Title	Quantification Survey of Microplastics in Beach Sand in Leam Son-on Beach, Bo Yang Subdistrict, Mueang District, Songkhla Province	
Authors	Miss Kanokporn Buajan	Student Code 564232001
	Miss Benjaporn Maneechot	Student Code 564232016
Advisor	Dr. Siriporn Borrirukwisitsak	
Co-advisor	Dr. Saisiri Chaichana	
Bachelor of Science	Environmental Science	
Institution	Songkhla Rajabhat University	
Academic Year	2018	

Abstract

Recently, microplastics are an emerging pollutant in the marine environment due to their potential adverse effects on the marine ecosystem. This study is the survey of microplastics in beach sand in Leam Son-on beach, Bo Yang subdistrict, Mueang district, Songkhla province which is one of the popular tourist attraction in Songkhla. Beach sand samples were collected from 10 sampling sites in October, 2017. Microplastics were separated from each sample by using sodium chloride solution. Subsequently, microplastics were investigated the quantity, shapes, colors and size by microscope. The results indicated that microplastics were found in every studied sample. The average amount of microplastics was 358 ± 102 pieces/kg sand dry weight ($n=10$). The majority shapes of microplastics were fiber (62.3%) and irregular shapes (32.3%). The dominant colors of microplastics were transparent (31.51%) and black (20.32%). The size range of microplastics in this study was 0.01 – 8.04 mm. Recreation activities, fishery, tourism, hotels, restaurants and plastic debris in the studied area are the potential sources of microplastics.

Keywords: Microplastics, Beach sand, Leam Son-on, Songkhla

กิตติกรรมประกาศ

การวิจัยในครั้งนี้สำเร็จลุล่วงและสมบูรณ์ลงด้วยดี โดยการซึ่งแนะนำทางให้ความรู้ คำแนะนำ ตรวจสอบและแก้ไขข้อบกพร่องระหว่างการทำวิจัยจากอาจารย์ที่ปรึกษาหลัก อาจารย์ ดร.สิริพร บริรักษ์สิริศักดิ์ และอาจารย์ที่ปรึกษาร่วม อาจารย์ ดร.สายสิริ ไชยชนะ ขอขอบคุณ คณะกรรมการสอบและคณาจารย์โปรแกรมวิทยาศาสตร์สิ่งแวดล้อมทุกท่านที่ให้คำแนะนำ และกรุณ่าช่วยให้ข้อเสนอแนะเพิ่มเติมเพื่อแก้ไขข้อบกพร่อง งานงานวิจัยฉบับนี้มีความสมบูรณ์มากยิ่งขึ้น

ขอขอบคุณ เจ้าหน้าที่ห้องปฏิบัติการวิทยาศาสตร์สิ่งแวดล้อม และเจ้าหน้าที่ประจำศูนย์ วิทยาศาสตร์ มหาวิทยาลัยราชภัฏสงขลาทุกท่านที่เอื้อเฟื้ออุปกรณ์ในการทำวิจัย พร้อมทั้งให้ความช่วยเหลืออำนวยความสะดวกและให้ข้อมูลเพิ่มเติมที่เป็นประโยชน์ในการทำวิจัยครั้งนี้

ขอขอบคุณ โปรแกรมวิทยาศาสตร์สุขภาพและโปรแกรมวิชีวิทยาและชีวิทยา ประยุกต์ คณวิทยาศาสตร์และเทคโนโลยี มหาวิทยาลัยราชภัฏสงขลา ที่ได้ให้ความอนุเคราะห์กล่องจุลทรรศน์และสถานที่ในการทำวิจัย รวมถึงให้คำแนะนำในการใช้เครื่องมือในห้องปฏิบัติการ

สุดท้ายนี้ผู้วิจัยขอขอบคุณผู้ที่มีส่วนเกี่ยวข้อง และมีส่วนช่วยเหลือผลงานวิจัยในครั้งนี้ทุกภาค ส่วน โดยเฉพาะอย่างยิ่งขอขอบพระคุณบิดา มารดา และครอบครัว เพื่อน ๆ บุคคลผู้อยู่เบื้องหลัง ที่เคยให้กำลังใจในการทำงานวิจัยจนสำเร็จลุล่วงไปได้ด้วยดี คุณค่า และคุณประโยชน์ใด ๆ ที่พึงได้ จากการสนับสนุน และเป็นกำลังใจแก่ผู้วิจัยมาตลอดการดำเนินงาน อนึ่งทางงานวิจัยฉบับนี้มี ข้อผิดพลาดประการใดผู้วิจัยขอภัยไว้ ณ ที่นี่

กนกพร บัวจันทร์
เบญจวรรณ์ มณีโชติ
พฤษจิกายน 2561

สารบัญ

	หน้า
บทคัดย่อ	ก
Abstract	ข
กิตติกรรมประกาศ	ค
สารบัญ	ง
สารบัญตาราง	ฉ
สารบัญภาพ	ช
บทที่ 1 บทนำ	1
1.1 ความสำคัญและที่มาของการวิจัย	1
1.2 วัตถุประสงค์งานวิจัย	2
1.3 ตัวแปร	2
1.4 นิยามศัพท์ที่ใช้ในการวิจัย	2
1.5 สมมติฐาน	3
1.6 ประโยชน์ที่คาดว่าจะได้รับ	3
1.7 ระยะเวลาที่ทำการวิจัย	3
บทที่ 2 เอกสารและงานวิจัยที่เกี่ยวข้อง	4
2.1 ขยะทะเล	4
2.2 พลาสติก	8
2.3 ไมโครพลาสติก	14
2.4 ชายหาดแหลมสนอ่อน ตำบลป่าอย่าง อำเภอเมือง จังหวัดสงขลา	19
2.5 งานวิจัยที่เกี่ยวข้องกับการปนเปื้อนของไมโครพลาสติกในสิ่งแวดล้อม	23
บทที่ 3 วิธีการวิจัย	28
3.1 ขอบเขตการศึกษา	28
3.2 ลักษณะทางกายภาพของจุดเก็บตัวอย่าง	29
3.3 วัสดุ อุปกรณ์ และสารเคมี	31
3.4 การเก็บตัวอย่างทรายชายหาด	32

สารบัญ (ต่อ)

	หน้า
3.5 การศึกษาวิธีการวิเคราะห์การปนเปื้อนของไมโครพลาสติกในทรายชายหาด	33
บทที่ 4 ผลและการอภิปรายผลการวิจัย	39
4.1 การศึกษาวิธีการวิเคราะห์การปนเปื้อนของไมโครพลาสติกในทรายชายหาด	39
4.2 การศึกษาปริมาณของไมโครพลาสติกในตัวอย่างทรายชายหาด	42
4.3 การศึกษาลักษณะทางกายภาพของไมโครพลาสติกที่พบบริเวณชายหาดแหลม สนอ่อน	45
บทที่ 5 สรุปผลการวิจัยและข้อเสนอแนะ	62
5.1 สรุปผลการศึกษา	62
5.2 ข้อเสนอแนะ	64
บรรณานุกรม	65
ภาคผนวก	
ภาคผนวก ก แบบเสนอโครงร่างวิจัย	ผก-1
ภาคผนวก ข ภาพประกอบการดำเนินการวิจัย	ผข-1
ภาคผนวก ค ผลการศึกษาปริมาณไมโครพลาสติกตามวิธีการวิเคราะห์ที่ 1 - 3	ผค-1
ภาคผนวก ง ภาพตัวอย่างไมโครพลาสติก	ผง-1
ภาคผนวก จ ประวัติผู้วิจัย	ผจ-1

สารบัญตาราง

ตารางที่	หน้า
1.1 แผนการดำเนินงานวิจัยตลอดโครงการ	3
2.1 ประเภทของขยะทะเล 10 อันดับแรกของประเทศไทยในปี 2559	5
2.2 ระยะเวลาการย่อยสลายของขยะประเภทต่าง ๆ	6
2.3 การย่อยสลายของพลาสติกแต่ละชนิด	12
2.4 สารประกอบในพลาสติกที่เป็นอันตรายต่อสุขภาพและความเป็นพิษของสาร	13
3.1 พิกัดของจุดเก็บตัวอย่าง	29
3.2 การเปรียบเทียบวิธีการวิเคราะห์ที่ใช้ในการศึกษา	37
4.1 วิธีการวิเคราะห์ไมโครพลาสติกในตัวอย่างทรายชายหาด	40
4.2 ความหนาแน่นของพลาสติกแต่ละประเภท	41
4.3 ปริมาณของไมโครพลาสติกที่พบในทรายชายหาดบริเวณชายหาดแหลมสนอ่อน	44
4.4 ปริมาณของไมโครพลาสติกแต่ละรูปร่างในแต่ละตัวอย่างทรายชายหาด	48
4.5 ปริมาณของไมโครพลาสติกแต่ละรูปร่างที่พบในตัวอย่างทรายชายหาดบริเวณชายหาดแหลมสนอ่อน	51
4.6 สีของไมโครพลาสติกขนาดมากกว่า 63 ไมโครเมตรที่พบในแต่ละจุดเก็บตัวอย่าง	52
4.7 สีของไมโครพลาสติกขนาดน้อยกว่า 63 ไมโครเมตรที่พบในแต่ละจุดเก็บตัวอย่าง	53
4.8 สีของไมโครพลาสติกรวมที่พบในแต่ละจุดเก็บตัวอย่าง	53
4.9 สีของไมโครพลาสติกในแต่ละรูปร่างที่พบในตัวอย่างทรายชายหาด	55
4.10 ขนาดของไมโครพลาสติกในแต่ละรูปร่าง (ไมโครพลาสติกขนาดมากกว่า 63 ไมโครเมตร) ที่พบบริเวณชายหาดแหลมสนอ่อน	58
4.11 ขนาดของไมโครพลาสติกในแต่ละรูปร่าง (ไมโครพลาสติกขนาดน้อยกว่า 63 ไมโครเมตร) ที่พบบริเวณชายหาดแหลมสนอ่อน	59
4.12 ขนาดของไมโครพลาสติกรวมในแต่ละรูปร่างที่พบบริเวณชายหาดแหลมสนอ่อน	60

สารบัญภาพ

ภาพที่	หน้า
2.1 ตัวอย่างผลกระทบของขยะพลาสติกต่อสิ่งมีชีวิต	7
2.2 ประเภทของพลาสติกที่รีไซเคิลได้	10
2.3 พลิตภัณฑ์ที่มีส่วนผสมของไมโครปีดส์	14
2.4 พลาสติกที่เกิดการย่อยสลายกลایเป็นพลาสติกขนาดเล็ก	15
2.5 ผลของสีของไมโครพลาสติกต่อสิ่งแวดล้อม	16
2.6 ไมโครพลาสติกรุปร่างต่าง ๆ ที่พบในสิ่งแวดล้อม	17
2.7 การแพร่กระจายเข้าสู่ห่วงโซ่ออาหารของไมโครพลาสติก	19
2.8 ชายหาดแหลมสนอ่อน ตำบลบ่ออย่าง อำเภอเมือง จังหวัดสงขลา	20
2.9 แผนที่ชายหาดแหลมสนอ่อน ตำบลบ่ออย่าง อำเภอเมือง จังหวัดสงขลา	21
2.10 กิจกรรมที่เกิดขึ้นบริเวณชายหาดแหลมสนอ่อน ตำบลบ่ออย่าง อำเภอเมือง จังหวัดสงขลา	22
3.1 จุดเก็บตัวอย่างทรายชายหาดบริเวณชายหาดแหลมสนอ่อน ตำบลบ่ออย่าง อำเภอเมือง จังหวัดสงขลา	28
3.2 ลักษณะทางกายภาพของจุดเก็บตัวอย่างทรายชายหาด (L1 - L10) บริเวณชายหาดแหลมสนอ่อน ตำบลบ่ออย่าง อำเภอเมือง จังหวัดสงขลา	30
3.3 การเก็บตัวอย่างทรายชายหาด	32
3.4 การศึกษาไมโครพลาสติกด้วยวิธีการวิเคราะห์ที่ 1	33
3.5 การศึกษาไมโครพลาสติกด้วยวิธีการวิเคราะห์ที่ 2	34
3.6 การศึกษาไมโครพลาสติกด้วยวิธีการวิเคราะห์ที่ 3	36
4.1 ลักษณะตัวอย่างรูปร่างของไมโครพลาสติกที่ดำเนินการเก็บด้วยวิธีการวิเคราะห์ที่ 1 - 3 และลักษณะของไดอะตوم	42
4.2 ปริมาณของไมโครพลาสติกบริเวณชายหาดแหลมสนอ่อน	43
4.3 ตัวอย่างรูปร่างของไมโครพลาสติกขนาดมากกว่า 63 ไมโครเมตรที่พบในตัวอย่างทรายชายหาด	46
4.4 ตัวอย่างรูปร่างของไมโครพลาสติกขนาดน้อยกว่า 63 ไมโครเมตรที่พบในตัวอย่างทรายชายหาด	47
4.5 ไมโครพลาสติกแต่ละรูปร่างที่พบในแต่ละตัวอย่างทรายชายหาดบริเวณชายหาดแหลมสนอ่อน	49

สารบัญภาพ (ต่อ)

ภาพที่	หน้า
4.6 ร้อยละของไมโครพลาสติกแต่ละรูปร่างที่พบในตัวอย่างทรายชายหาด	51
4.7 สีของไมโครพลาสติกที่พบในทรายชายหาดบริเวณชายหาดแหลมสนอ่อน	54
4.8 สีของไมโครพลาสติกในแต่ละรูปร่าง	55



บทที่ 1

บทนำ

1.1 ความสำคัญและที่มาของการวิจัย

ปัจจุบันขยะมูลฝอยเป็นปัญหาหนึ่งที่สำคัญของประเทศไทย จากข้อมูลของกรมควบคุมมลพิษ พบว่า ในปี 2559 ประเทศไทยมีปริมาณขยะมูลฝอยทั้งประเทศประมาณ 27 ล้านตัน หรือประมาณ 74,073 ตันต่อวัน โดยเฉลี่ยคนในไทยทั้งหมด 1.4 กิโลกรัมต่อคนต่อวัน และยังพบว่ามีปริมาณขยะที่มีการจัดการไม่ถูกต้อง จำนวนนี้มีโอกาสไปเป็นสู่สิ่งแวดล้อมรวมถึงปนเปื้อนลงสู่ทะเลโดยเป็นขยายตัวไป ขยายทะเลเป็นปัญหามลพิษที่ทั่วโลกให้ความสนใจ โดยเฉพาะขยายทะเลที่เป็นพลาสติก ซึ่งเกิดจากกิจกรรมของมนุษย์ ทั้งกิจกรรมบนบกและกิจกรรมทางทะเล เมื่อพลาสติกปนเปื้อนเข้าสู่สิ่งแวดล้อมจะเกิดการย่อยสลายทำให้มีขนาดเล็กลงจนเกิดเป็นไมโครพลาสติก (microplastics) (กรมทรัพยากรทางทะเลและชายฝั่ง, 2557)

ไมโครพลาสติกเป็นปัญหาสิ่งแวดล้อมทางทะเลที่ได้รับความสนใจอย่างแพร่หลายในปัจจุบัน ไมโครพลาสติก คือ พลาสติกที่มีขนาดเล็กกว่า 5 มิลลิเมตร (GESAMP, 2016) ซึ่งอาจเกิดจากการแตกหัก หรือย่อยสลายของขยะพลาสติกขนาดใหญ่ หรือเกิดจากพลาสติกที่มีการสร้างใหม่ขนาดเล็กเพื่อให้เหมาะสม กับวัตถุประสงค์ในการใช้งาน เช่น เม็ดปีดส์ (beads) ซึ่งอยู่ในคราฟต์พลาสติก โฟมล้างหน้า และเครื่องสำอาง เป็นต้น เนื่องจากไมโครพลาสติกมีขนาดเล็กและมีน้ำหนักเบาทำให้กำจัดออกจากสิ่งแวดล้อมได้ยาก แต่สามารถเข้าสู่สิ่งมีชีวิตได้ง่าย การศึกษาที่ผ่านมาได้ตรวจสอบไมโครพลาสติกในสิ่งแวดล้อมทั้งในมหาสมุทร (GESAMP, 2016) ทรัพยากรทางทะเล (สถาบันวิจัยและพัฒนาทรัพยากรทางทะเลและป่าชายเลน และคณะโนโอลีททางทะเล มหาวิทยาลัยบูรพา, 2557) ดินตะกอน (Peng et al., 2017) และในสิ่งมีชีวิต เช่น หอยสองฝา (ปิติพงษ์ ธรรมนรต์ และคณะ, 2559) เป็นต้น เมื่อไมโครพลาสติกปนเปื้อนสู่สิ่งแวดล้อมทางทะเลสามารถเกิดผลกระทบต่อสิ่งมีชีวิตในทะเลได้ โดยไมโครพลาสติกสามารถเกิดการสะสมในสิ่งมีชีวิต เป็นตัวกลางในการสะสมสารพิษ และปลดปล่อยสารพิษออกสู่สิ่งแวดล้อม ดังนั้น การศึกษาเกี่ยวกับการป้องกันไมโครพลาสติกในสิ่งแวดล้อมทางทะเลจึงเป็นสิ่งสำคัญเพื่อนำไปสู่ความเข้าใจและการวางแผนจัดการปัญหาเกี่ยวกับระบบนิเวศชายฝั่งทะเล

งานวิจัยครั้งนี้ จึงสนใจศึกษาการป้องกันไมโครพลาสติกในทรัพยากรทางทะเลบริเวณชายหาด แหลมสน อ่อน ตำบลบ่ออย่าง อำเภอเมือง จังหวัดสงขลา ตั้งอยู่ทางทิศตะวันตกเฉียงเหนือของประเทศไทย ที่มีกรรมการมนตรีกรุงหลวงชุมพรเขตอุดมศักดิ์ ด้านทิศตะวันตกเป็นทะเลสาบสงขลาและทิศ

ตะวันออกเฉียงเหนือของชายหาดแหลมสน อ่อนต่อ กับทะเลฝั่งอ่าวไทย (กรมทรัพยากรธรรมชาติ, 2557) บริเวณชายหาดแหลมสน อ่อนมีสถานบริการสำหรับนักท่องเที่ยว ร้านอาหาร โรงแรม และเป็นบริเวณที่มีการทำประมงพื้นบ้าน จึงมีโอกาสเกิดการปนเปื้อนของไมโครพลาสติกได้ ผู้วิจัยจึงได้เลือกชายหาดแหลมสน อ่อน เป็นพื้นที่ศึกษาการปนเปื้อนของไมโครพลาสติก เพื่อเป็นข้อมูลเบื้องต้นของการปนเปื้อนไมโครพลาสติกในพื้นที่ ซึ่งจะเป็นประโยชน์ต่อการวางแผนการจัดการขยะทะเล และระบบ生物循环 ฝั่งในอนาคต

1.2 วัตถุประสงค์

เพื่อสำรวจปริมาณไมโครพลาสติกในชายหาดบริเวณชายหาดแหลมสน อ่อน ตำบลบ่ออย่าง อำเภอเมือง จังหวัดสงขลา

1.3 ตัวแปร

ตัวแปรต้น: ตัวอย่างทรายชายหาดบริเวณชายหาดแหลมสน อ่อน ตำบลบ่ออย่าง อำเภอเมือง จังหวัดสงขลา

ตัวแปรตาม: ปริมาณ รูปร่าง สี และขนาดของไมโครพลาสติก

ตัวแปรควบคุม: พื้นที่เก็บตัวอย่าง และช่วงเวลาที่เก็บตัวอย่าง

1.4 นิยามศัพท์ที่ใช้ในการวิจัย

พลาสติก หมายถึง สารประกอบพอกไฮโดรคาร์บอนที่มีน้ำหนักโมเลกุลสูง ประกอบด้วย โมเลกุลช้า ๆ กันต่อกันเป็นโมเลกุลสายยาวประกอบด้วยธาตุสำคัญ คือ คาร์บอน ไฮโดรเจน และออกซิเจน นอกจากนี้มีธาตุอื่น ๆ เป็นส่วนประกอบอยู่ ได้แก่ ไนโตรเจน ฟลูออร์ คลอร์ และกำมะถัน เป็นต้น (ณิชา บูรณสิงห์, 2559)

ไมโครพลาสติก หมายถึง พลาสติกที่มีขนาดน้อยกว่า 5 มิลลิเมตร (GESAMP, 2016)

ขยะทะเล หมายถึง ผลิตภัณฑ์จากมนุษย์ที่ทิ้งลงสู่ทะเลโดยทางตรง หรือทิ้งตามสถานที่ต่าง ๆ ทั้งเจตนา และไม่เจตนาแล้วถูกกระแสลม หรือกระแสน้ำพัดลงสู่ทะเล (กรมทรัพยากรทางทะเลและชายฝั่ง, 2556)

การปนเปื้อน หมายถึง การพบไมโครพลาสติกในตัวอย่างทรายชายหาด

ชายหาดแหลมสน อ่อน หมายถึง พื้นที่บริเวณอนุสาวรีย์กรมหลวงชุมพรเขตอุดมศักดิ์ถึงบริเวณประติมารมณางเงือก ตำบลบ่ออย่าง อำเภอเมือง จังหวัดสงขลา เป็นระยะทาง 3.27 กิโลเมตร

ไมโครพลาสติกขนาด > 63 ไมโครเมตร หมายถึง ไมโครพลาสติกขนาดมากกว่า 63 ไมโครเมตร - 1 มิลลิเมตร

ไมโครพลาสติกขนาด < 63 ไมโครเมตร หมายถึง ไมโครพลาสติกขนาดมากกว่า 0.45 ไมโครเมตร - 63 ไมโครเมตร

1.5 สมมติฐาน

ทรัพยากริเวณชายหาดแหลมสนอ่อน ตำบลบ่ออย่าง อำเภอเมือง จังหวัดสงขลา มีไมโครพลาสติกปนเปื้อน

1.6 ประโยชน์ที่คาดว่าจะได้รับ

1.6.1. ทราบปริมาณการปนเปื้อนของไมโครพลาสติกบริเวณชายหาดแหลมสนอ่อน ตำบลบ่ออย่าง อำเภอเมือง จังหวัดสงขลา

1.6.2. เป็นข้อมูลพื้นฐานต่อการวางแผนการจัดการระบบเศรษฐกิจ

1.7 ระยะเวลาที่ทำการวิจัย

การศึกษารังนี้มีระยะเวลาดำเนินการระหว่าง เดือนกรกฎาคม 2560 – เดือนธันวาคม 2561 รายละเอียดแผนการดำเนินงานวิจัยแสดงดังตารางที่ 1.1

ตารางที่ 1.1 แผนการดำเนินงานวิจัยตลอดโครงการ

ขั้นตอนการดำเนินงาน	2560						2561					
	ก.ค.	ส.ค.	ก.ย.	ต.ค.	พ.ย.	ธ.ค.	ม.ค.	ก.พ.	มี.ย.	พ.ค.	มิ.ย.	ก.ค.
1. ศึกษาเอกสารและรวบรวมข้อมูล	—	—	—	—	—	—	—	—	—	—	—	—
2. สอดคล้องร่างวิจัย	▲	—	—	—	—	—	—	—	—	—	—	—
3. ลงพื้นที่และเก็บตัวอย่างทรัพยากริเวณชายหาด	—	—	—	—	—	—	—	—	—	—	—	—
4. ทำการทดลองในห้องปฏิบัติการ	—	—	—	—	—	—	—	—	—	—	—	—
5. สอนความก้าวหน้าวิจัย	—	—	—	—	—	—	▲	—	—	—	—	—
6. วิเคราะห์ข้อมูลและสรุปผล	—	—	—	—	—	—	—	—	—	—	—	—
7. จัดทำรายงานฉบับสมบูรณ์	—	—	—	—	—	—	—	—	—	—	—	—
8. สอดคล้องแก้ไขเพิ่มเติมวิจัย	—	—	—	—	—	—	—	—	▲	—	—	—
9. ส่งเล่มวิจัยฉบับสมบูรณ์	—	—	—	—	—	—	—	—	—	—	—	—

หมายเหตุ: ▲ หมายถึง ช่วงของการสอบวิจัย

— หมายถึง ระยะเวลาการดำเนินงานวิจัย

บทที่ 2

เอกสารและงานวิจัยที่เกี่ยวข้อง

ปัจจุบันพลาสติกหรืออุปกรณ์ที่มีองค์ประกอบของพลาสติกที่มีการใช้ประโยชน์อย่างแพร่หลายในชีวิตประจำวัน ซึ่งพบว่าทั่วโลกมีแนวโน้มการผลิตพลาสติกเพิ่มขึ้นทุกปี ดังนั้นจึงมีโอกาสที่พลาสติกเหล่านี้จะถูกทิ้งลงสู่ทะเล มีการคาดการณ์ว่ามีปริมาณขยะในทะเลประมาณ 50,000 ตัน หรือ 750 ล้านตัน ที่ถูกทิ้งลงสู่ทะเล โดยที่ระยะทางส่วนใหญ่ที่พบเป็นขยะที่เกิดจากกิจกรรมบนบกสูงถึงร้อยละ 80 และเกิดจากกิจกรรมในทะเลเพียงร้อยละ 20 เท่านั้น (กรมทรัพยากรทางทะเลและชายฝั่ง, 2561)

2.1 ขยะทะเล

ขยะทะเล (marine debris) หมายถึง ผลิตภัณฑ์จากมนุษย์ที่ทิ้งลงสู่ทะเลโดยทางตรง หรือทิ้งตามสถานที่ต่าง ๆ ทั้งเจตนาและไม่เจตนา แล้วถูกกระแสน้ำหรือกระแสน้ำพัดลงสู่ทะเล (กรมทรัพยากรทางทะเลและชายฝั่ง, 2560)

2.1.1 แหล่งกำเนิดของขยะทะเล

ขยะทะเลอาจจะพ้นไอล์หรือใกล้จากแหล่งที่มีการทิ้งขยะ เนื่องจากขยะทะเลสามารถถูกพัดพาไปได้ในระยะทางไกล ๆ ด้วยกระแสน้ำและกระแสน้ำ ดังนั้นขยะทะเลจึงถูกพูดได้ในพื้นที่ทุกแห่งทั่วโลก ทั้งในบริเวณชายฝั่งและใกล้จากชายฝั่ง แหล่งกำเนิดของขยะทะเล แบ่งได้เป็น 2 ประเภท (สุวัจน์ รัฐรุส, 2557) ดังนี้

1) ขยะที่เกิดขึ้นจากกิจกรรมทางทะเล

ขยะที่เกิดขึ้นจากกิจกรรมทางทะเลเป็นขยะที่เกิดขึ้นจากกิจกรรมทางทะเลทั้งจากเรือประเภทต่าง ๆ เช่น เรือขนส่งสินค้า เรือประมง การเพาะเลี้ยงสัตว์ และพืชนา้ในทะเล และจากแท่นขุดเจาะน้ำมันและก๊าซในทะเล

2) ขยะที่เกิดขึ้นจากกิจกรรมบนบก

ขยะที่เกิดขึ้นจากกิจกรรมบนบกเป็นขยะที่มีแหล่งกำเนิดจากบนบกแล้วมีการเคลื่อนย้ายลงสู่ทะเล แหล่งกำเนิดที่ก่อให้เกิดขยะเหล่านี้ เช่น การทิ้งขยะของชุมชนบริเวณชายฝั่ง การพัฒนาโดยแม่น้ำ การของเสียและน้ำทิ้งที่ปราศจากการบำบัดจากโรงงานอุตสาหกรรม และขยะที่เกิดจากการท่องเที่ยว การพักผ่อนริมชายหาด เป็นต้น

ขยะที่มีการจัดการที่ไม่ถูกต้องหั้งจากกิจกรรมทางทะเลและกิจกรรมบนบกจะปนเปื้อนออกสู่สิ่งแวดล้อม รวมทั้งแหล่งน้ำต่าง ๆ และอาจไหลออกสู่ทะเลและเกิดการสะสมในทะเลอย่างเป็นแพขยะขนาดใหญ่ดังเช่นการพบแพขยะขนาดยักษ์ซึ่งส่วนใหญ่ประกอบไปด้วยขยะพลาสติกกลางอ่าวไทย ยาวกว่า 10 กิโลเมตร ในทะเลนอกเขตชายฝั่งของจังหวัดชุมพร (ราชา บัวคำศรี, 2560) หรือกระแสลมและกระแสน้ำอาจพัดพาขยะเหล่านี้มาสะสมบริเวณชายฝั่งต่าง ๆ (ธิตินันท์ ศรีสุติ, 2552)

จากข้อมูลของกรมทรัพยากรทางทะเลและชายฝั่ง (2560) พบว่า ในปี 2559 ประเทศไทยทิ้งขยะประเภทพลาสติกลงทะเลมากที่สุด หั้งในรูปที่เป็น ถุงพลาสติก หลอด ฝาขวด ขวดพลาสติก ดังแสดงในตารางที่ 2.1

ตารางที่ 2.1 ประเภทของขยะทะเล 10 อันดับแรกของประเทศไทยในปี 2559

ประเภทของขยะทะเล	จำนวน (ชิ้น)
(1) ถุงพลาสติกอื่นๆ	79,539
(2) เชือก (1 เมตร=1 ชิ้น)	39,975
(3) หลอด/ที่คุณเครื่องดื่ม	32,835
(4) ขวดเครื่องดื่ม (แก้ว)	31,448
(5) ฝาจุกขวด (พลาสติก)	25,875
(6) กระดาษ/หนังสือพิมพ์/ใบปลิว	23,235
(7) บุหรี่/ก้นกรองบุหรี่	23,180
(8) ขวดเครื่องดื่ม (พลาสติก)	20,403
(9) ฝาจุกขวด (โลหะ)	19,742
(10) ห่อ/ถุงอาหาร (ห้อฟีฟี่ มันฝรั่งอบกรอบ อื่น ๆ)	18,917

ที่มา: กรมทรัพยากรทางทะเลและชายฝั่ง (2560)

เมื่อขยะชนิดต่าง ๆ ถูกปล่อยออกสู่สิ่งแวดล้อม ขยะเหล่านี้จะเกิดการย่อยสลายขึ้นชั้งขยะแต่ละประเภทใช้ระยะเวลาในการย่อยสลายไม่เท่ากัน (ตารางที่ 2.2) โดยขยะประเภทที่ย่อยสลายได้ยากจะตกค้างอยู่ในสิ่งแวดล้อมได้นาน ทำให้เกิดผลกระทบต่อสิ่งแวดล้อมได้มาก

ตารางที่ 2.2 ระยะเวลาการย่อยสลายของขยะประเภทต่าง ๆ

ชนิดของขยะ	ระยะเวลาในการย่อยสลาย
(1) เศษกระดาษ	2-5 เดือน
(2) เปลือกส้ม	6 เดือน
(3) ถ้วยกระดาษเคลือบ	5 ปี
(4) กันбуหรี่	12 ปี
(5) เครื่องหนัง	25-40 ปี
(6) โลหะ, กระป๋องอะลูมิเนียม	80-100 ปี
(7) ถุงพลาสติก	450 ปี
(8) ผ้าอ้อมเด็กชนิดสำเร็จรูป	500 ปี
(9) โฟม	ใช้เวลานานมาก ระบุไม่ได้

ที่มา: สำนักประชาสัมพันธ์เขต 1 ขอนแก่น (2560)

2.1.2 ผลกระทบของขยะทะเล

ขยะทะเลสามารถส่งผลกระทบทั้งทางตรงและทางอ้อมต่อสิ่งมีชีวิตในทะเลและมนุษย์ รวมทั้งยังส่งผลกระทบทางเศรษฐกิจของประเทศไทย ซึ่งมีรายละเอียดดังต่อไปนี้

2.1.2.1 ผลกระทบโดยตรงต่อสิ่งมีชีวิตในทะเล

ขยะทะเลส่งผลกระทบต่อสิ่งมีชีวิตในทะเล โดยเฉพาะขยะทะเลที่เป็นพลาสติกเนื่องจากมีปริมาณมาก (ตารางที่ 2.1) และย่อยสลายได้ยาก (ตารางที่ 2.2) ในแต่ละปีมีสัตว์ทะเลจำนวนไม่น้อยที่บาดเจ็บหรือเสียชีวิตด้วยสาเหตุจากขยะพลาสติก ซึ่งอาจเกิดจากพลาสติกไปผูกมัดติดกับร่างกายของสัตว์ทะเลจนไม่สามารถว่ายน้ำได้ เช่น นกทะเลที่ไปติดกับเศษviron หรือถูกมัดติดกับเศษพลาสติกในทะเลที่มีลักษณะคล้ายบ่วง สัตว์ทะเลกินถุงพลาสติกเนื่องจากเข้าใจว่าเป็นอาหารซึ่งถุงพลาสติกที่กินเข้าไปไม่สามารถย่อยได้และไปขัดขวางระบบย่อยอาหารทำให้ขาดสารอาหาร ขณะเดียวกันเข้าไปอุดตันระบบภายในร่างกายของสัตว์ทะเลจนทำให้สัตว์ทะเลตายได้ (สุวัจน์ ชัยรุส, 2557) ดังแสดงตัวอย่างในภาพที่ 2.1



(ก) นักกระสาที่ติดอยู่
ในถุงพลาสติก



(ข) ตะพาบที่ติดในพลาสติก
มีผลกับการเจริญเติบโตทำให้
กระดองบิดเบี้ยว



(ค) เต่าที่กำลังกินพลาสติก
 เพราะคิดว่าเป็นแมงกะพรุน



(ง) เต่าที่ติดอยู่ในห่วงพลาสติก
ตั้งแต่ยังเล็กๆ ปูร่างเจึงผิดรูป



(จ) ห่านสร้างรังโดยใช้กิ่งไม้
และขยะพลาสติก



(ฉ) นกอัลบาทรอสที่เสียชีวิต
จากการกินเศษพลาสติก

ภาพที่ 2.1 ตัวอย่างผลกระทบของขยะพลาสติกต่อสิ่งมีชีวิต

ที่มา: มูลนิธิโลกสีเขียว (2560)

2.1.2.2 ผลกระทบต่อสุขภาพของมนุษย์

ขยะที่เลส่งผลกระทบต่อสุขภาพของมนุษย์ได้ โดยมนุษย์อาจได้รับบาดเจ็บจากขยะบริเวณชายหาด เช่น ขวดแก้วที่แตก กระป๋อง หรือได้รับอันตรายจากสารพิษที่ถูกปลดปล่อยออกมานอกจากขยะ โดยเฉพาะขยะพลาสติกเนื่องจากพลาสติกอาจถูกย่อยสลายกลایเป็นพลาสติกขนาดเล็ก และเข้าสู่ห่วงโซ่ออาหารโดยการกินของสัตว์ที่เป็นอาหารของมนุษย์ หากมนุษย์ได้รับพลาสติกเหล่านี้เข้าไปอาจได้รับสารมลพิษที่ปนเปื้อนในพลาสติกได้ เช่น ยาฆ่าแมลง สารพีซีบี (PCBs) หรือดีดีที (DDT) เป็นต้น ซึ่งสารเหล่านี้จะก่อให้เกิดปัญหาด้านสุขภาพแบบเรื้อรัง รวมไปถึงการรับกวนระบบฮอร์โมน การเปลี่ยนแปลงของยืน และเป็นสารก่อมะเร็ง (สุดา อิทธิสุวรรณรัตน์, 2559)

2.1.2.3 ผลกระทบทางเศรษฐกิจ

ขยะทะเลสามารถส่งผลกระทบทางเศรษฐกิจ โดยขยะจะลดและบดบังความสวยงามของพื้นที่ท่องเที่ยวตามธรรมชาติ ทำให้เกิดมลภาวะเป็นพิษต่อแหล่งท่องเที่ยว เช่น หาดทราย แนวปะการัง เป็นต้น โดยเฉพาะบริเวณชายหาดท่องเที่ยวที่สำคัญ หากบนชายหาดมีขยะทะเลสะสมอยู่ในปริมาณมากจะทำให้นักท่องเที่ยวลดจำนวนลง ส่งผลต่อเนื่องถึงระบบเศรษฐกิจของแหล่งท่องเที่ยวบริเวณนั้น นอกจากนี้ขยะทะเลสามารถสร้างความเสียหายให้กับการเดินเรือ การประมง เครื่องมือประมง และสัตว์ทะเลจำนวนมาก เช่น เศษอวนเก่าที่ทึบในทะเลสามารถก่อให้เกิดความเสียหายกับเรือประมง โดยอาจติดพันกับใบจกร สมอเรือ เพลาขับเรือ เป็นต้น นอกจากนี้เศษพลาสติกและถุงพลาสติกสามารถเข้าไปอุดตันท่อระบายน้ำเข้าของระบบหล่อเย็นของเครื่องจักรบนเรือและขยะทะเลยังส่งผลให้สัตว์ทะเลลดจำนวนลง และเครื่องมือประมงที่เสียหายทำให้เสียค่าใช้จ่ายในการซ่อมแซมเรือรวมทั้งจับสัตว์น้ำได้น้อยลง ซึ่งความเสียหายที่เกิดขึ้นยังส่งผลโดยอ้อมต่ออุตสาหกรรมประมงโดยอาจทำให้ต้นทุนการผลิตสูงขึ้น (สุรัจน์ อัษฎร์, 2557)

2.2 พลาสติก

พลาสติก (plastic) หมายถึง สารประกอบพวากไฮโดรคาร์บอนที่มีน้ำหนักโมเลกุลสูงประกอบด้วยโมเลกุลซ้ำ ๆ กัน และต่อกันเป็นโมเลกุลสายยาวประกอบด้วยธาตุสำคัญ คือ คาร์บอน ไฮโดรเจน และออกซิเจน นอกจากนี้มีธาตุอื่น ๆ เป็นส่วนประกอบบ่อย ได้แก่ ในไฮดรเจน ฟลูออรีน คลอรีน และกำมะถัน เป็นต้น ซึ่งพลาสติกแบ่งออกเป็น 2 ประเภท (ณิชา บูรณสิงห์, 2559) คือ

1) เทอร์โมพลาสติก (thermoplastic) เป็นพลาสติกที่เมื่อได้รับความร้อนจะอ่อนตัว เมื่อยืนลงจะแข็งตัว สามารถเปลี่ยนรูปได้ ชนิดของพลาสติกในตรากุลเทอร์โมพลาสติก ได้แก่ พอลิเอทิลีน (polyethylene; PE), พอลิไพรพิลีน (polypropylene; PP), พอลิสไตรีน (polystyrene; PS), สไตรีน - อะคริโลไนโตรล (styrene – acrylonitrile; SAN), อะคริโลไนโตรล – บิวทาไดอีน - สไตรีน (acrylonitrile – butadiene-styrene; ABS), พอลิไวนิลคลอไรด์ (polyvinylchloride; PVC) ในลอน (nylon), พอลิเอทธิลีนเทเรฟราเลท (polyethylene terephthalate; PET) และพอลิคาร์บอเนต (polycarbonate; PC)

2) เทอร์โมเซตติ๊งพลาสติก (thermosetting plastic) เป็นพลาสติกที่มีสมบัติพิเศษ คือ ทนทานต่อการเปลี่ยนแปลงอุณหภูมิ และทนปฏิกิริยาเคมีได้ดี ชนิดของพลาสติกในตรากุลนี้ ได้แก่ เมลามีน ฟอร์มาลดีไฮด์ (melamine formaldehyde), พีโนลฟอร์มาดีไฮด์ (phenol formaldehyde), อีพ็อกซี่ (epoxy), พอลิเอสเตอร์ (polyester), ยูรีเทน (urethane) และพอลิยูรีเทน (polyurethane)

2.2.1 ประเภทของพลาสติกที่นิยมใช้ในประเทศไทย

เทอร์โมพลาสติกเป็นพลาสติกที่นิยมใช้มากในประเทศไทย เนื่องจากสามารถใช้งานได้หลายประเภท โดยเฉพาะด้านบรรจุภัณฑ์พลาสติกที่มีการผลิตในรูปแบบต่าง ๆ กัน เทอร์โมพลาสติกแบ่งออกเป็น 7 ประเภท แสดงดังภาพที่ 2.2 (สมจิตต์ ตั้งชัยวัฒนา, 2558) ซึ่งได้แก่

1) พอลิเอทธิลีนเทเรฟราเลท (polyethylene terephthalate; PET หรือ PETE) ใช้ทำขวดบรรจุน้ำดื่ม ขวดน้ำมันพืช เป็นต้น สามารถนำมารีไซเคิลเป็นเส้นใยสำหรับทำเสื้อกันหนาว พร้อมและไส้สังเคราะห์สำหรับยัดหมอน เป็นต้น

2) พอลิเออริลีนความหนาแน่นสูง (high density polyethylene; HDPE) ใช้ทำขวดนม ขวดน้ำ และบรรจุภัณฑ์สำหรับน้ำยาทำความสะอาด ยาสารเคมี เป็นต้น สามารถนำมารีไซเคิลเป็นขวดน้ำมันเครื่อง ท่อ ลังพลาสติก ไม้เทียม เป็นต้น

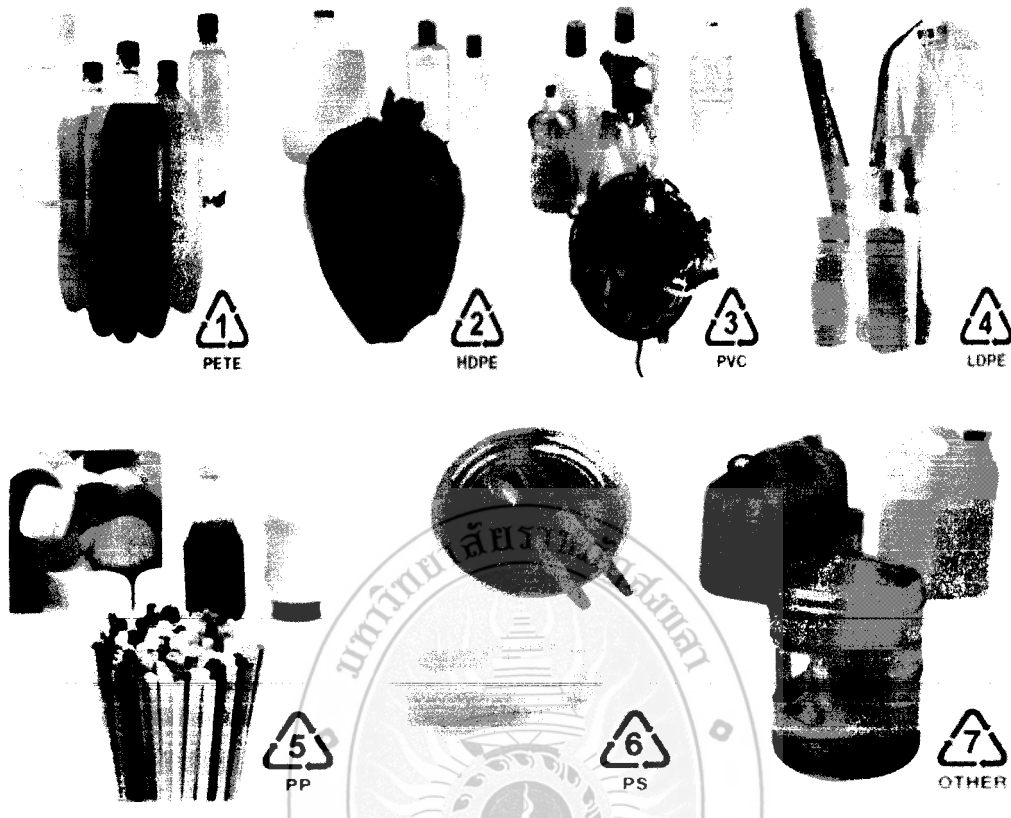
3) พอลิไวนิลคลอไรด์ (polyvinyl chloride; PVC) ใช้ทำท่อน้ำประปา สายยางใส แผ่นพิล์มสำหรับห่ออาหาร แผ่นพลาสติกสำหรับทำประตู หน้าต่าง และหนังเทียม สามารถนำมารีไซเคิลเป็นท่อน้ำประปา หรือร่างน้ำสำหรับการเกษตร 皱纹บรรจุภัณฑ์ เพอร์นิเจอร์ ม่านผ้าพลาสติก ตัวบั๊บเบิล เคเบิล แผ่นไม้เทียม เป็นต้น

4) พอลิเอทธิลีนความหนาแน่นต่ำ (low density polyethylene; LDPE) ใช้ทำพิล์มห่ออาหารและห่อของ ถุงใส่ขนมปัง ถุงเย็นสำหรับบรรจุอาหาร สามารถนำมารีไซเคิลเป็นถุงดำสำหรับใส่ขยะ ถุงหูหิ้ว ถุงขยะ กระเบื้องปูพื้น เพอร์นิเจอร์ แห่งไม้เทียม เป็นต้น

5) พอลิโพร์พิลีน (polypropylene; PP) ใช้ทำภาชนะบรรจุอาหาร เช่น กล่อง ชาม จาน ถัง ตะกร้า กระบอกใส่น้ำแข็งเย็น ขวดซอส แก้วโยเกิร์ต ขวดบรรจุยา สามารถนำมารีไซเคิลเป็นกล่องแบบเตอร์ไนรอนน์ ชิ้นส่วนรถยนต์ เช่น กันชน และกรวยสำหรับใส่น้ำมัน ไฟท้าย ไม้กวาดพลาสติก แปรรูป เป็นต้น

6) พอลิสไตรีน (polystyrene; PS) ใช้ทำภาชนะบรรจุของใช้ต่าง ๆ หรือฟอยส์อาหาร เป็นต้น สามารถนำมารีไซเคิลเป็นไม้แขวนเสื้อ กล่องวิดีโอ ไม้บรรทัด กระเบื้องเทอร์โมมิเตอร์ แผงสวิตซ์ไฟ ฉนวนกันความร้อน 皿 ถาดใส่ไข่ เครื่องมือเครื่องใช้ต่าง ๆ ได้ (ณิชา บูรณสิงห์, 2559)

7) พลาสติกอื่น ๆ (other) เป็นพลาสติกที่ไม่ได้มีการระบุชื่อจำเพาะ และไม่ใช่พลาสติกชนิดใดชนิดหนึ่งใน 6 ประเภทที่ได้กล่าวไปในข้างต้น แต่ยังเป็นพลาสติกที่นำมหาลomyใหม่ได้ นิยมนำพลาสติกชนิดนี้มาผลิตเป็น หมากนิรภัย แวนนิรภัย ขวดนมเด็ก ฝาครอบไฟรอนน์ ไฟจราจร และป้ายโฆษณา เช่น polycarbonate (PC) (ภูมิพัฒน์ รัตนตรัยเจริญ, 2557)



ภาพที่ 2.2 ประเภทของพลาสติกที่รีไซเคิลได้
ที่มา: ภูมิพัฒน์ รัตนตรัยเจริญ (2557)

ชิ้นพลาสติกทั้ง 7 ประเภทนี้ (ภาพที่ 2.2) สามารถนำมารีไซเคิล (recycle) ได้ โดยในขั้นตอนแรกเป็นการตรวจสอบและแยกสิ่งที่ปะปนออกจากพลาสติกที่รีไซเคิลได้ เช่น ก้อนหิน แก้ว รวมถึงพลาสติกที่ไม่สามารถรีไซเคิลได้ จากนั้นนำพลาสติกมาล้างทำความสะอาด และตัดเป็นชิ้นเล็ก ๆ จากนั้นนำมารอยในน้ำเพื่อแยกประเภทของพลาสติกเนื่องจากพลาสติกแต่ละประเภทจะมีความหนาแน่นที่ต่างกัน เมื่อนำมารอยในน้ำบางประเภทจะจม และบางประเภทจะลอย หลังจากคัดแยกโดยการลอยน้ำแล้วนำมาทำให้แห้งโดยเครื่องอบแห้ง (tumble dryer) ชิ้นพลาสติกที่แห้งแล้วจะถูกนำไปหลอมที่เครื่องอัดรีด (extruder) ชิ้นพลาสติกที่หลอมแล้วจะต้องผ่านการกรองอย่างละเอียดอีกครั้ง เพื่อกำจัดสิ่งปนเปื้อนออก จากนั้นพลาสติกที่หลอมจะผ่านออกจาเครื่องอัดรีดทำออกมาเป็นเส้น เมื่อได้พลาสติกออกมาเป็นเส้นแล้วให้นำมาแข็งในน้ำเพื่อทำให้เย็น ก่อนตัดให้เป็นเม็ดเล็ก ๆ จากนั้นนำมารรุลวงกล่องเพื่อส่งไปยังโรงงานขึ้นรูปพลาสติกให้เป็นพลาสติกใหม่ โดยสมาคมอุตสาหกรรมพลาสติกแห่งสหรัฐอเมริกา (The Society of The Plastics Industry Inc.) ได้กำหนดสัญลักษณ์มาตรฐานของพลาสติกที่นำมารีไซเคิลได้ เป็นสัญลักษณ์ลูกศร 3 ตัว วนเป็นรูปสามเหลี่ยม

ไซเคิลได้ และมีหมายเลขอ กับ ทรงกลางรูปสามเหลี่ยม เพื่อรบุประเภทของพลาสติกนั้น ๆ (ภาพที่ 2.2) ซึ่งสัญลักษณ์นี้ถูกนำมาใช้อย่างแพร่หลายทั่วโลก (ธนาดี ลีจากภัย, 2545)

2.2.2 การย่อyle plastic ในสิ่งแวดล้อม

การย่อyle plastic คือ การเปลี่ยนแปลงทางเคมีที่ช่วยลดน้ำหนักโมเลกุลเฉลี่ยของพอลิเมอร์ เนื่องจากความสมบูรณ์เชิงกลของพลาสติก ทำให้สัดมีการอ่อนตัว ผิวน้ำของพลาสติกมีความเปราะพอที่จะแตกออกเป็นชิ้นเล็ก กลไกการย่อyle plastic จำแนกตามปฏิกิริยาที่เกิดขึ้นแบ่งได้เป็น 5 ประเภท ดังนี้ (ศรีรัช กำเนิดทอง, 2559)

- 1) การย่อyle plastic โดยแสง ซึ่งมักเกิดจากการเติมสารเติมแต่งที่มีความว่องไวต่อแสง ลงในพลาสติก หรือสังเคราะห์โคพอลิเมอร์ (co - polymer) ให้มีหมู่ฟังก์ชัน (functional group) หรือพันธะเคมีที่ไม่แข็งแรง แตกหักง่ายเมื่อได้รับรังสีaviolet; UV)
- 2) การย่อyle plastic ทางกล เป็นการย่อyle plastic โดยการเกิดแรงกระแทกต่อชิ้นพลาสติก ทำให้ชิ้นส่วนพลาสติกแตกออกเป็นชิ้น
- 3) การเกิดปฏิกิริยาออกซิเดชัน เป็นการเติมออกซิเจนลงในโมเลกุลของพอลิเมอร์ โดยมีออกซิเจน ความร้อน แสงยูวี หรือแรงทางกลเป็นปัจจัยร่วมทำให้เกิดการแตกหักของพลาสติก หรืออาจเกิดจากการกระทำโดยปัจจัยดังกล่าวในธรรมชาติ
- 4) การเกิดปฏิกิริยาไฮโดรไลซิส เป็นการย่อyle plastic ที่มีโมเลกุลของน้ำเข้าร่วมทำปฏิกิริยา โดยอาศัยความชื้นจากสภาพแวดล้อม และสารเคมีหรือเอนไซม์เป็นตัวเร่งปฏิกิริยา ก่อให้เกิดการแตกหักของสายโซ่พอลิเมอร์ ส่งผลให้เกิดการแตกหักของพลาสติก
- 5) การย่อyle plastic ทางชีวภาพ เป็นการย่อyle plastic ของพลาสติกจากการทำงานของจุลินทรีย์

ระยะเวลาในการย่อyle plastic ของพลาสติกชิ้นอยู่ขึ้นอยู่กับประเภทของพลาสติก โดยพลาสติกแต่ละประเภทมีระยะเวลาในการย่อyle plastic ที่ไม่เท่ากัน ดังแสดงในตารางที่ 2.3 พลาสติกที่ใช้ระยะในการย่อyle plastic นานที่สุด คือ โพลี ซึ่งต้องใช้ระยะเวลานานมาก หรืออาจไม่มีการย่อyle plastic เลย

ตารางที่ 2.3 การย่อยสลายของพลาสติกแต่ละชนิด

ชนิดของพลาสติก	ตัวอย่างผลิตภัณฑ์	ระยะเวลาการย่อยสลาย
(1) พอลิเอทธิลีนเทเรฟราเลท (polyethylene terephthalate; PET)	- ขวดน้ำดื่ม - ขวดน้ำมันพืช	450 ปี
(2) ลีอีธิลีนความหนาแน่นสูง (high-density polyethylene; HDPE)	- ถุงพลาสติก - ขวดนม	450 ปี
(3) พอลิไวนิลคลอไรด์ (polyvinyl chloride; PVC)	- หนังเทียม - สายยางใส	25-40 ปี
(4) พอลิเอทธิลีนความหนาแน่นต่ำ (low density polyethylene; LDPE)	- ถุงเย็นสำหรับบรรจุอาหาร - แผ่นพิล์มสำหรับห่ออาหาร	400-500 ปี
(5) ลิโพรพิลีน (polypropylene; PP)	- หลอดเครื่องดื่ม - จาน ชาม ช้อน	400-450 ปี
(6) พอลิส్เตอเรน (polystyrene; PS)	- โพเม	ไม่ย่อยสลาย
(7) พลาสติกอื่น ๆ	- ขวดน้ำขนาดบรรจุ 5 ลิตร - แก้วน้ำ	450 ปี

ที่มา: Cadora (2016)

2.2.3 ผลกระทบของพลาสติกต่อสิ่งแวดล้อม

พลาสติกถูกใช้เป็นปัจจัยหลักที่สำคัญเนื่องจากปริมาณการใช้งานที่เพิ่มขึ้น ส่งผลให้เกิดขยะพลาสติกในปริมาณมากขึ้นตามไปด้วย พลาสติกเป็นสารที่คงทนต่อการย่อยสลายของจุลินทรีย์ทำให้การสลายตัวโดยธรรมชาติก็ต้องใช้เวลาหลายปี ขยะพลาสติกจึงอาจส่งผลกระทบต่อการสืบสืบทอดและสิ่งแวดล้อม รวมถึงสุขภาพมนุษย์ ผลกระทบจากการสูญเสียที่ดินและน้ำ ผลกระทบต่อระบบนิเวศ ผลกระทบต่อสัตว์ ผลกระทบต่อสุขภาพมนุษย์ ผลกระทบต่อสิ่งแวดล้อมทางเคมี ผลกระทบต่อสิ่งแวดล้อมทางกายภาพ และผลกระทบต่อสุขภาพมนุษย์ ผลกระทบต่อสิ่งแวดล้อมทางเคมี ผลกระทบต่อสิ่งแวดล้อมทางกายภาพ และผลกระทบต่อสุขภาพมนุษย์ (ศุลีพร แสงกระจั่ง และคณะ, 2556)

สารพิษในพลาสติกจากการใช้งานผลิตภัณฑ์จากพลาสติกที่ไม่ถูกต้องและไม่ปลอดภัย โดยเฉพาะที่เกี่ยวข้องกับการบรรจุอาหาร และเครื่องดื่ม อาจนำมาซึ่งการสะสมสารพิษและความเสี่ยงต่อการเกิดโรคเรื้อรังต่าง ๆ ของผู้บริโภค ดังแสดงในตารางที่ 2.4

ตารางที่ 2.4 สารประกอบในพลาสติกที่เป็นอันตรายต่อสุขภาพและความเป็นพิษของสาร

ชนิดของพลาสติก	สารที่เป็นอันตราย	ความเป็นพิษ
โพลีไวนิลคลอรอไรด์ (polyvinylchloride; PVC)	phthalate	<ul style="list-style-type: none"> - สารนี้มักจะแสดงในลักษณะพิษเรื้อรังเป็นผลให้เกิดอาการตกเลือดในปอด การตับโต เป็นต้น
	vinyl chloride	<ul style="list-style-type: none"> - พิษเฉียบพลัน มีอาการวิงเวียน อ่อนเพลีย ง่วง เสียการทรงตัว การได้ยินและการมองเห็นไม่ชัดเจน - พิษเรื้อรัง ทำให้เกิดความผิดปกติทางระบบประสาท การทำงานของตับ อาจมีโรคแทรกซ้อน เช่น ความดันโลหิตสูง เลือดออกตามบริเวณทางเดินอาหาร นอกจากนั้นยังมีความเสี่ยงในการเกิดโรคมะเร็งตับชนิด angiosarcoma
พอลิส్泰รีน (polystyrene; PS)	styrene	<ul style="list-style-type: none"> - พิษเฉียบพลัน ระคายเคืองผิวหนัง หรือทางเดินหายใจ - พิษเรื้อรัง ส่งผลต่อระบบประสาทส่วนกลาง - การเคลื่อนไหวและการทรงตัวไม่ดี ความจำเสื่อม สมาริสั้น และเป็นสารก่อภัยพันธุ์ อาจก่อให้เกิดโรคมะเร็ง
โพลิคาร์บอเนต (polycarbonate; PC)	bisphenol A	<ul style="list-style-type: none"> - พิษเฉียบพลัน มีอาการระคายเคืองของระบบทางเดินหายใจ คลื่นไส้ และปวดศีรษะ - พิษเรื้อรัง ส่งผลต่อระบบฮอร์โมนเพศที่ผิดปกติ มีพิษต่อตับ เป็นสารก่อภัยพันธุ์
เมลามีน (melamine)	formaldehyde	<ul style="list-style-type: none"> - พิษเฉียบพลัน ก่อให้เกิดการระคายเคืองของจมูก และทางเดินหายใจส่วนต้น ตา คอ อาการทางผิวหนัง เช่น ทำให้เกิดภูมิแพ้หรือผิวหนังอักเสบ - พิษเรื้อรังอาจทำให้เกิดโรคมะเร็ง

ที่มา: ศุลีพร แสงกรุงจ้าง และคณะ (2556)

2.3 ไมโครพลาสติก

ไมโครพลาสติก (microplastics) คือ พลาสติกหรือเศษพลาสติกที่มีขนาดเล็กกว่า 5 มิลลิเมตร เกิดจากการแตกหักหรือย่อยสลายของขยะพลาสติกขนาดใหญ่ หรือเกิดจากพลาสติกที่มีการสร้างให้มีขนาดเล็ก เพื่อให้เหมาะสมกับวัตถุประสงค์การใช้งาน (GESAMP, 2016)

2.3.1 ประเภทของไมโครพลาสติก

ไมโครพลาสติกสามารถแบ่งตามลักษณะการเกิดได้เป็น 2 ประเภท คือ ไมโครพลาสติกปฐมภูมิและไมโครพลาสติกทุติยภูมิ (GESAMP, 2016) ซึ่งไมโครพลาสติกแต่ละประเภทมีรายละเอียดดังนี้

2.3.1.1 ไมโครพลาสติกปฐมภูมิ

ไมโครพลาสติกปฐมภูมิ (primary microplastics) หมายถึง พลาสติกที่มีการผลิต เป็นพลาสติกขนาดเล็กมาตั้งแต่ต้น เช่น เม็ดพลาสติกที่เป็นวัสดุตั้งต้นของการผลิตผลิตภัณฑ์พลาสติก และเม็ดพลาสติกที่อยู่ในผลิตภัณฑ์ทำความสะอาด เป็นต้น โดยในกรณีของพลาสติกที่อยู่ในผลิตภัณฑ์ทำความสะอาดนั้น เรียกว่า ไมโครบีเด็ส (microbeads) หรือเม็ดคริบ นำไปใช้ในผลิตภัณฑ์ดูแลผิว เครื่องสำอาง ครีมขัดผิว ครีมอาบน้ำ และยาสีฟัน (ภาพที่ 2.3) ปัจจุบันมีการใช้ไมโครพลาสติกชนิดนี้ กันอย่างแพร่หลาย



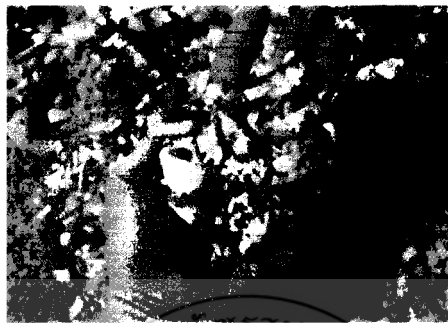
ภาพที่ 2.3 ผลิตภัณฑ์ที่มีส่วนผสมของไมโครบีเด็ส

ที่มา: โพสท์เดย์ (2559)

2.3.1.2 ไมโครพลาสติกทุติยภูมิ

ไมโครพลาสติกทุติยภูมิ (secondary microplastics) หมายถึง ไมโครพลาสติกที่เกิดจากการแตกสลายของพลาสติกที่มีขนาดใหญ่ (ภาพที่ 2.4) เมื่อพลาสติกมีการสะสมในสิ่งแวดล้อมเป็นเวลานาน อาจเกิดกระบวนการที่ทำให้พลาสติกเกิดการแตกสลายเป็นไมโครพลาสติกได้ เช่น การแตกสลายโดยแสง การเกิดออกซิเดชันของพลาสติกทำให้พลาสติกมีขนาดเล็กลง ซึ่งกระบวนการดังกล่าวจะทำ

ให้สารแต่งเติมในพลาสติกหลุดออกจากพลาสติก ทำให้โครงสร้างของพลาสติกเกิดการแตกตัวจนมีขนาดที่เล็กลงกลายเป็นสารเขวนโดยปะปนอยู่ในแม่น้ำและทะเล ไมโครพลาสติกชนิดนี้ยังสามารถเกิดได้จากการถลอกหรือขีดข่วนจากการผลิตพลาสติกขนาดใหญ่ การเสียดสีของยางล้อรถระหว่างการขับขี่พานะ หรือเส้นใยจากผ้าไส้สังเคราะห์จากการทิ้งน้ำจากการซักผ้า (Boucher and Friot, 2017)



ภาพที่ 2.4 พลาสติกที่เกิดการย่อยสลายกลایเป็นพลาสติกขนาดเล็ก

ที่มา: ชัยณรงค์ กิตินารถอินทรานี (2560)

2.3.2 ลักษณะทางกายภาพของไมโครพลาสติก

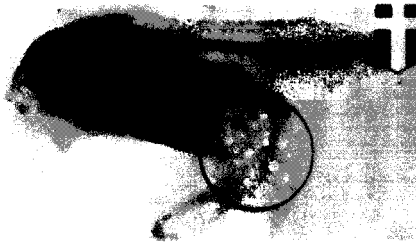
ลักษณะทางกายภาพของไมโครพลาสติกประกอบด้วย สี รูปร่าง ขนาด และความหนาแน่น เป็นต้น เป็นปัจจัยหนึ่งที่มีผลต่อผลกระทบของไมโครพลาสติกต่อสิ่งแวดล้อม โดยมีรายละเอียดดังต่อไปนี้ (วงศ์ศิริ เข็มสวัสดิ์, 2559)

2.3.2.1 สีของไมโครพลาสติก

สีของไมโครพลาสติกเป็นปัจจัยหนึ่งที่มีผลต่อการเลือกินของสิ่งมีชีวิตโดยเฉพาะในสิ่งมีชีวิตที่มีประสาทรับรู้ภาพและสี โดยสัตว์จะเลือกินพลาสติกที่มีสีคล้ายเหมือนของสัตว์ชนิดนั้น (ภาพที่ 2.5) โดยพบเม็ดพลาสติกโพลิเอทิลีน (polyethylene; PE) และโพลิโพรพิลีน (polypropylene; PP) รูปร่างทรงกลมสีต่าง ๆ โดยเฉพาะสีฟ้า และสีเขียว ซึ่งเป็นสีที่นิยมใช้เป็นเม็ดไมโครบีเดสสำหรับผลิตภัณฑ์ล้างหน้า และหลอดรอดลงสู่ทะเล และอาจเป็นเปื้อนเข้าสู่ห่วงโซ่ออาหารเนื่องจากสัตว์ทะเลเข้าใจผิดคิดว่าเป็นอาหารจึงกินไมโครพลาสติกนั้นเข้าไป (วงศ์ศิริ เข็มสวัสดิ์, 2559) เช่น ปลา กินไมโครพลาสติกสีขาว สีน้ำตาล และสีเหลืองเป็นอาหาร เนื่องจากเข้าใจว่าเป็นแพลงก์ตอนและสัตว์ขนาดเล็กที่เป็นอาหาร (Zhang et al., 2017) เต่าทะเลกินถุงพลาสติกสีใสเนื่องจากเข้าใจว่าเป็นแมงกะพรุน (ทีมข่าวสิ่งแวดล้อม, 2560ก)



(ก) การสะส媚ไมโครพลาสติกในปลา



(ข) การสะส媚ไมโครพลาสติกในปลา

(ค) เต่าทะเลกินถุงพลาสติกเข้าไปโดย
เข้าใจว่าเป็นแมงกะพรุน(ง) นกอับบารอสเลียร์สันและลูกน้อย
พักผ่อนข้างกองของขยะพลาสติก(จ) นกอับบารอสป้อนอาหารลูกน้อย
ที่เต็มไปด้วยขยะให้ลูก(ฉ) นกอับบารอสที่เสียชีวิตจากการถูก
ไม้จ้มพันพลาสติกเจาะเข้าที่ลำไส้

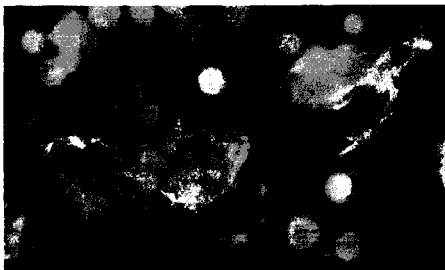
ภาพที่ 2.5 ผลของสีของไมโครพลาสติกต่อสิ่งแวดล้อม

ที่มา: ทีมข่าวสิ่งแวดล้อม (2560ก)

2.3.2.2 รูปร่างของไมโครพลาสติก

จากการศึกษาลักษณะของไมโครพลาสติกพบว่าไมโครพลาสติกจะมีรูปร่างที่หลากหลาย เช่น เส้นใย ชิ้นส่วนไร้รูปแบบ แผ่นฟิล์ม แผ่นแข็ง ทรงกลม แท่ง เส้นใยที่ไม่ใช่เชือก โดยรูปร่างที่พบจะมีผลต่อสิ่งมีชีวิต (ภาพที่ 2.6) เนื่องจากรูปร่างของไมโครพลาสติกเมื่อยืดในน้ำอาจมีลักษณะรูปร่างคล้ายกับอาหารที่สิ่งมีชีวิตกินเป็นอาหาร เช่น พบไมโครพลาสติกรูปร่างแบบเส้นใยในหอยสองฝาและหอยนางรมมากที่สุด รองลงมา คือ ชิ้นส่วนไร้รูปแบบ (ปิติพงษ์ ธรรมนนท์ และคณะ, 2559 และ Li et al., 2018) นอกจากนี้รูปร่างของไมโครพลาสติกยังช่วยในการประเมินเบื้องต้นถึงแหล่งกำเนิดของไมโครพลาสติกชนิดนั้น ๆ เช่น เส้นใยอาจมาจากอุปกรณ์ทำประมง เช่น เชือก อวน

แท้ จากเส้นใยสังเคราะห์จากเสื้อผ้า ขึ้นส่วนไวรุปแบบอาจเกิดจากการแตกหักหรืออยู่อย่างลักษณะของพลาสติกขนาดใหญ่ เป็นต้น



(ก) เส้นใยพลาสติกที่ติดอยู่ในทางเดินอาหารของหนอนธนู



(ข) เส้นใยพลาสติกในหนอนธนู



(ค) ขี้นส่วนไมโครพลาสติกในพลาสติก



(ง) ขี้นส่วนไมโครพลาสติกในหอยนางรม

ภาพที่ 2.6 ไมโครพลาสติกปริมาณต่าง ๆ ที่พบในสิ่งแวดล้อม

ที่มา: ทีมข่าวสิ่งแวดล้อม (2560ช)

2.3.2.3 ขนาดของไมโครพลาสติก

ขนาดของไมโครพลาสติกส่งผลต่อการเข้าสู่สิ่งมีชีวิตของไมโครพลาสติก ยิ่งไมโครพลาสติกมีขนาดเล็กยิ่งมีแนวโน้มที่จะปนเปื้อนเข้าสู่ห่วงโซ่ออาหารได้ง่าย ซึ่งไมโครพลาสติกจะเข้าสู่ร่างกายของสัตว์ทะเลผ่านระบบทางเดินอาหาร และเดินทางเข้าสู่ระบบเลือด โดยทั่วไปพบว่าสัตว์ทะเลจะสามารถสะสมไมโครพลาสติกที่มีขนาดเล็กได้ดีกว่าพลาสติกขนาดใหญ่ การสะสมของไมโครพลาสติกในสัตว์ทะเลอาจมีผลในการทำลายเนื้อเยื่อหลอดเลือด หรือมีผลกระทบต่อระบบหัวใจของสัตว์ทะเลจากความสัมพันธ์ของสิ่งมีชีวิตที่มีการกินกันเป็นทอด ๆ นี้ อาจทำให้อันตรายของไมโครพลาสติกกระจายไปตามลำดับขั้นการบริโภคจากผู้บริโภคลำดับต้นเข้าสู่ผู้บริโภคลำดับสุดท้าย หรือกีดกันนุชย์นั่นเอง (ศุภีพร แสงกระจั่ง และคณะ, 2556)

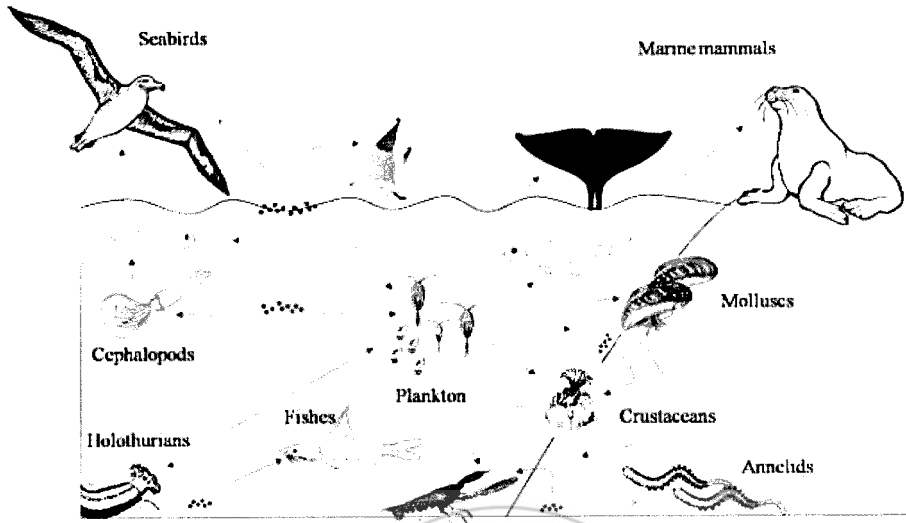
2.3.2.4 ความหนาแน่นของพลาสติก

พลาสติกแต่ละชนิดจะมีความหนาแน่น (density) ไม่เท่ากัน พลาสติกสังเคราะห์ส่วนใหญ่จะลอยตัวในน้ำ เช่น พอลีเอทิลีน โดยพลาสติกที่ลอยตัวอยู่ในน้ำทะเลจะถูกเคลื่อนย้าย และซัดขึ้นฝั่ง ทำให้สัตว์ที่หากินบนผิวน้ำและบนฝั่งรับເ效能พลาสติกเหล่านี้เข้าสู่ร่างกาย ส่วนสิ่งมีชีวิตที่อาศัยอยู่บริเวณน้ำดินมีแนวโน้มที่จะได้รับพลาสติกที่มีความหนาแน่นกว่าน้ำทะเล เช่น พอลีไวนิลคลอไรด์ เนื่องจากพลาสติกเหล่านี้จะคงอยู่ท้องทะเล (Wang et al., 2018)

2.3.3 ผลกระทบของไมโครพลาสติกต่อสิ่งมีชีวิต

พลาสติกส่วนใหญ่ที่มีการผลิตขึ้นไม่สามารถย่อยสลายได้ในสิ่งแวดล้อมหรือย่อยสลายได้ช้า แต่มีการเสื่อมสภาพ การแตกตัว การสึกกร่อน การย่อยสลายโดยแสง รวมถึงการเกิดออกซิเดชั่นของพลาสติกขนาดใหญ่ ทำให้พลาสติกขนาดใหญ่มีขนาดเล็กลงกลาญเป็นเศษเล็กเศษน้อยหรือที่เรียกว่าไมโครพลาสติกซึ่งเป็นพลาสติกขนาดเล็กกว่า 5 มิลลิเมตร รวมถึงอนุภาคขนาดเล็กถึง 10 นาโนเมตร มีการศึกษาพบไมโครพลาสติกในสิ่งแวดล้อมต่าง ๆ ทั่งบริเวณชายฝั่งทะเล น้ำผิวดิน และตะกอนก้นทะเล จากแบบสำรวจติดไปจนถึงแอนตาร์กติกาลงมหาสมุทร และพบไมโครพลาสติกภายในร่างกายของสัตว์ทะเลต่าง ๆ ทั้งสัตว์ไม่มีกระดูกสันหลัง ปลา นก และสัตว์เลี้ยงลูกด้วยนม (GESAMP, 2016) ด้วยการที่ไมโครพลาสติกมีขนาดเล็กจึงอาจถูกแพลงก์ตอนสัตว์ หรือสัตว์ที่อยู่ในระดับต้น ๆ ของห่วงโซ่ออาหาร กินไมโครพลาสติกเข้าไปแล้วถูกสัตว์ทะเลขนาดใหญ่กินเป็นอาหารจนกินต่อกันเป็นทอด ๆ ทำให้อาหารทะเลที่มนุษย์รับประทานอาจมีไมโครพลาสติกปนเปื้อนอยู่ ซึ่งอาจส่งผลกระทบต่อสุขภาพของมนุษย์

การศึกษาที่ผ่านมา (สถาบันวิจัยและพัฒนาทรัพยากรทางทะเลและป่าชายเลนและคณฑคโนโลยีทางทะเลมหาวิทยาลัยบูรพา, 2557; ปิติพงษ์ ธรรมนนท์ และคณะ, 2559; GESAMP, 2016) พบว่า ไมโครพลาสติกสามารถเข้าสู่ ปลา หอย กุ้ง และนกทะเล ซึ่งผลกระทบจากการกินไมโครพลาสติกของสิ่งมีชีวิตเกิดขึ้นได้ทั้งทางกายภาพและชีวภาพ เช่น นกอัลบาทรอสกินเศษพลาสติกเข้าไปเพรอะคิดว่าเป็นอาหาร ทำให้นกอัลบาทรอสขาดสารอาหารตายเนื่องจากไม่สามารถกินอาหารได้ เพราะท้องเต็มไปด้วยพลาสติก โดยพบพลาสติกเฉลี่ย 44 ชิ้นในซากของนกตัวนี้ (ลักษภพ แก้วโภ, 2560) ปลา กินไมโครพลาสติกเข้าไปแล้วทำให้เกิดการสะสมในห่วงโซ่ออาหารจนเข้าสู่ร่างกายมนุษย์ ซึ่งในไมโครพลาสติกอาจมีสารพิษที่มาจากเม็ดพลาสติกเอง ซึ่งเป็นสารที่ใช้ในการผลิตพลาสติก นอกจากนี้เม็ดพลาสติกยังสามารถดูดซับสารพิษจากน้ำทะเลได้ทำให้สิ่งมีชีวิตต่าง ๆ รวมทั้งมนุษย์ได้รับอันตรายจากสารพิษเหล่านี้ (ปิติพงษ์ ธรรมนนท์ และคณะ, 2559) ซึ่งการแพร่กระจายของไมโครพลาสติกเข้าสู่ห่วงโซ่ออาหาร แสดงดังภาพที่ 2.7



ภาพที่ 2.7 การแพร่กระจายเข้าสู่ห่วงโซ่ออาหารของไมโครพลาสติก
ที่มา: Ivar do Sul and Costa (2013)

2.3.4 กฏหมายเกี่ยวกับไมโครพลาสติก

ปัจจุบันการปนเปื้อนไมโครพลาสติกเป็นปัญหานึงที่ทั่วโลกให้ความสนใจ เนื่องจากคุณสมบัติของไมโครพลาสติกที่มีน้ำหนักเบา ขนาดเล็ก และกำจัดได้ยาก โดยเฉพาะไมโครพลาสติกชนิดไมโครบีเดส์ (microbead) ที่ใส่ลงในผลิตภัณฑ์ทำความสะอาดต่าง ๆ รวมถึงในผลิตภัณฑ์เครื่องสำอาง ซึ่งระบบบำบัดน้ำเสียชุมชนโดยทั่วไปไม่สามารถกำจัดได้หมด จึงทำให้มีไมโครพลาสติกปนเปื้อนออกสู่แหล่งน้ำต่าง ๆ และปนเปื้อนลงสู่ทะเลได้ ปัจจุบันมีหลายประเทศออกกฎหมายควบคุม และห้ามใช้ไมโครบีเดส์ (The Microbeads-Free Water Act) ในผลิตภัณฑ์ประเภทสครับ เช่น ประเทศไทย อเมริกา, แคนาดา, ออสเตรเลีย, ประเทศเนเธอร์แลนด์ และประเทศอังกฤษ ซึ่งได้ออกกฎหมายห้ามใช้ไมโครบีเดส์ในอุตสาหกรรมเครื่องสำอางและครีมกันแดด (ที่มข่าวสิ่งแวดล้อม, 2560x)

2.4 ชายหาดแหลมสนอ่อน ตำบลป่าอย่าง อำเภอเมือง จังหวัดสงขลา

2.4.1 สภาพโดยทั่วไป

ชายหาดแหลมสนอ่อน ตำบลป่าอย่าง อำเภอเมือง จังหวัดสงขลา เป็นแหล่งพื้นที่มีธรรมชาติที่ได้รับความนิยมอย่างแพร่หลายของนักท่องเที่ยว (ภาพที่ 2.8) บริเวณปลายแหลมเป็นที่ประดิษฐานของอนุสาวรีย์กรมหลวงชุมพรเขตอุดมศักดิ์ ด้านทิศตะวันตกเป็นทรายละเอียด ทิศตะวันออกเฉียง เหนือของชายหาดแหลมสนอ่อนต่อกับทะเลฝั่งอ่าวไทย (ภาพที่ 2.9) ชายหาดแหลม

สนอ่อนสามารถชุมทศนียภาพอันสวยงามของทะเลสาบสงขลา และมองเห็นเกาะหนูได้ใกล้และชัดเจน บริเวณโดยรอบมีที่นั่งพักผ่อนสำหรับประชาชน มีสถานที่สำหรับรับประทานอาหารไว้บริการนักท่องเที่ยวตลอดแนวชายหาด (กรมทรัพยากรธรรมชาติ, 2557)



(ก) ซุ้มประตูเมืองสงขลา



(ข) อนุสาวรีย์กรมหลวงชุมพรเขตอุดมศักดิ์



(ค) ชายหาดแหลมสนอ่อน



(ง) ประติมารมนางเงือก



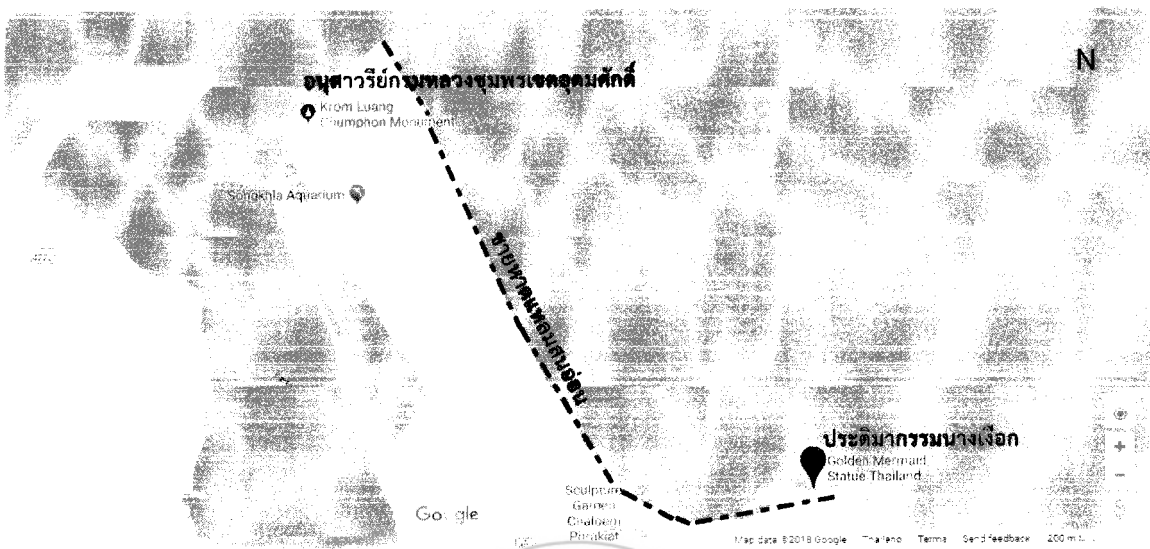
(จ) สถานที่พักผ่อนหย่อนใจ



(ฉ) ประติมารมหากะหนูกะแมว

ภาพที่ 2.8 ชายหาดแหลมสนอ่อน ตำบลป่าอย่าง อัมгаเมือง จังหวัดสงขลา

ที่มา: กรมทรัพยากรธรรมชาติ (2557)



ภาพที่ 2.9 แผนที่ชายหาดแหลมสันอ่อน ตำบลบ่ออย่าง อำเภอเมือง จังหวัดสงขลา
ที่มา: Google Map (2018)

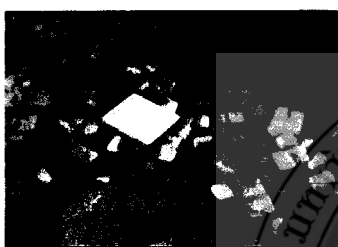
2.4.2 สภาพภูมิอากาศ

ชายหาดแหลมสันอ่อนอยู่ในจังหวัดสงขลาตั้งอยู่ในเขตอิทธิพลของลมมรสุมเมืองร้อน มีลมมรสุมพัดผ่าน คือ ลมมรสุมตะวันออกเฉียงใต้ เริ่มตั้งแต่เดือนพฤษภาคมถึงกลางเดือนตุลาคมและ ลมมรสุมตะวันออกเฉียงเหนือ เริ่มตั้งแต่เดือนตุลาคมถึงเดือนกุมภาพันธ์ จากการพัดผ่านของลมมรสุม ที่มีแรงโน้มถ่วงจากบริเวณแทกต่างกัน ทำให้จังหวัดสงขลามี 2 ฤดู คือ ฤดูร้อนเริ่มตั้งแต่กลางเดือน กุมภาพันธ์ถึงกลางเดือนพฤษภาคม ระยะนี้เป็นช่วงเวลาที่มีความชื้นมาก ลมมรสุมหลังจากสิ้นฤดูมรสุม ตะวันออกเฉียงเหนือ หรือฤดูหนาวแล้ง อากาศจะเริ่มร้อนและมีอากาศร้อนจัดที่สุดในเดือนเมษายน ส่วนฤดูฝนแบ่งออกเป็น 2 ระยะ คือ ฤดูฝนจากมรสุมตะวันตกเฉียงใต้ตั้งแต่กลางเดือนพฤษภาคมถึง กลางเดือนตุลาคม ฝนจะเคลื่อนตัวมาจากด้านตะวันตก (ทะเลน้ำดาด) ส่วนมากฝนตกในช่วงบ่ายถึงค่ำ ปริมาณและการกระจายของฝนจะน้อยกว่าช่วงมรสุมตะวันออก ฤดูฝนจากมรสุม ตะวันออกเฉียงเหนือตั้งแต่กลางเดือนตุลาคมถึงกลางเดือนกุมภาพันธ์ ฝนเคลื่อนตัวมาจากด้าน ตะวันออก (อ่าวไทย) ฝนจะตกซุกหนาแน่น (กรมทรัพยากรธรณี, 2557)

2.4.3 กิจกรรมบริเวณชายหาดแหลมสันอ่อน

ชายหาดแหลมสันอ่อน เป็นแหล่งท่องเที่ยวที่สำคัญของจังหวัดสงขลา เนื่องจากมี ความสวยงาม เป็นจุดชมวิวทิวทัศน์ เป็นสถานที่พักผ่อนหย่อนใจ และทำกิจกรรมทางน้ำได้ หลากหลาย เช่น เล่นน้ำทะเล บานาน่าโบ๊ต เจ็ตสกี และเล่นเรือใบ มีโรงแรมที่พักไว้บริการ มีร้าน จำหน่ายอาหารเครื่องดื่ม ของที่ระลึก เป็นที่ประดิษฐานอนุสาวรีย์กรมหลวงชุมพรเขตอุดมศักดิ์ และ

ประติมารรัมพญาณภาคพ่นน้ำ ให้นักท่องเที่ยวได้สักการะและถ่ายรูปเป็นที่ระลึก (กรมทรัพยากรธรรมชาติ, 2557) ซึ่งกิจกรรมต่าง ๆ เหล่านี้ ส่งผลให้มีขยะมูลฝอยเกิดขึ้นในพื้นที่ โดยเฉพาะมูลฝอยประเภทพลาสติก เช่น กล่องโฟม ถุงพลาสติก กระป่อง ขวดแก้ว ขวดพลาสติก และอื่น ๆ (ภาพที่ 2.10ก) รวมทั้งมีyanพาหนะสัญจรผ่านมากมาย (ภาพที่ 2.10ช) และในพื้นที่ยังมีการทำประมงพื้นบ้าน การลากอวน การวางอวน และการวางเบ็ดตกปลา (ภาพที่ 2.10ค) ทำให้มีมูลฝอยพอก เอ็นตกปลา เศษอวน เชือก ในพื้นที่ (ภาพที่ 2.10ง) นอกจากนี้ในพื้นที่ชายหาดแหลมสนอ่อนยังมีการขุดทราย และเติมทรายที่บริเวณหาดคลาห์ศน์ (ภาพที่ 2.10จ) และมีการวางแนวถุงทราย (ภาพที่ 2.10ฉ) เพื่อแก้ปัญหาการกัดเซาะชายฝั่งที่เกิดขึ้นที่ชายหาดคลาห์ศน์



(ก) ขยะทะเลประเภทพลาสติก



(ข) การสัญจรของyanพาหนะ



(ค) การทำประมงพื้นบ้าน



(ง) ขยะทะเล ประเภท อวน เอ็น



(จ) การขุดทราย เติมทราย

(ฉ) ถุงทรายป้องกัน
การกัดเซาะชายฝั่ง

**ภาพที่ 2.10 กิจกรรมที่เกิดขึ้นบริเวณชายหาดแหลมสนอ่อน ตำบลบ่ออย่าง อำเภอเมือง
จังหวัดสงขลา**
ที่มา: สมปราสาทนา ฤทธิ์พริ้ง (2559)

จากกิจกรรมต่าง ๆ เหล่านี้ทำให้มีขยะมูลฝอยเป็นจำนวนมากเกิดขึ้นในพื้นที่ชายหาด ซึ่งหากไม่มีการจัดการที่ดี อาจส่งผลให้เกิดมลพิษทางน้ำ มลพิษทางดิน มลพิษทางอากาศ และเป็นอันตรายต่อสุขภาพของมนุษย์และสิ่งแวดล้อม เนื่องจากขยะส่วนที่ขาดการเก็บรวบรวมหรือไม่นำมากำจัดให้ถูกวิธี ปล่อยทิ้งค้างไว้ในพื้นที่ของชุมชน เมื่อมีฝนตกลงมาจะไหลชะนำความสกปรก เชื้อโรค สารพิษ จากขยะไหลลงสู่แหล่งน้ำทำให้น้ำเน่าเสียได้ รวมทั้งขยะมูลฝอยประเภทพลาสติกยังอาจเป็นสาเหตุที่ก่อให้เกิดการปนเปื้อนของไมโครพลาสติกในพื้นที่ดี (ศรีรัช กำเนิดทอง, 2558)

2.5 งานวิจัยที่เกี่ยวข้องกับการปนเปื้อนของไมโครพลาสติกในสิ่งแวดล้อม

ไมโครพลาสติกเป็นปัญหาลพิษทางทะเลและสิ่งแวดล้อมหนึ่งที่สำคัญและได้รับความสนใจอย่างแพร่หลาย จึงมีการศึกษาเกี่ยวกับการปนเปื้อนของไมโครพลาสติกในสิ่งแวดล้อมทางทะเลในหลายประเทศ รวมถึงประเทศไทยด้วย

Piégont - Colin et al. (2018) เก็บตัวอย่างรายชาดจากภาคสมุทรบากาลิฟอร์เนีย (Baja California Peninsula) ประเทศเม็กซิโก จำนวน 21 จุดชายหาด พบริมฝีไมโครพลาสติกเฉลี่ย 135 ± 92 ชิ้นต่อ กิโลกรัมน้ำหนักแห้ง มีค่าระหว่าง 16 ± 4 ชิ้นต่อ กิโลกรัมน้ำหนักแห้ง ถึง 312 ± 145 ชิ้นต่อ กิโลกรัมน้ำหนักแห้ง โดยพบริมฝีไมโครพลาสติกน้อยกว่า 100 ชิ้นต่อ กิโลกรัมน้ำหนักแห้ง จำนวน 11 ชายหาด (ร้อยละ 52) จำนวน 100 ถึง 200 ชิ้นต่อ กิโลกรัมน้ำหนักแห้ง จำนวน 3 ชายหาด (ร้อยละ 12) และมากกว่า 200 ชิ้นต่อ กิโลกรัมน้ำหนักแห้ง จำนวน 7 ชายหาด (ร้อยละ 33) ซึ่งไมโครพลาสติกที่พบส่วนใหญ่เป็นเส้นใย (ร้อยละ 91) รองลงมา คือ พลัม (ร้อยละ 5) ทรงกลม (ร้อยละ 3) และเม็ด (ร้อยละ 1) จากการศึกษาสีของไมโครพลาสติกที่เป็นเส้นใย พบว่า เส้นใยส่วนใหญ่มีสีดำ และสีน้ำเงิน คิดเป็นร้อยละ 59 และ 25 ตามลำดับ รองลงมา คือ สีขาว (ร้อยละ 7) สีแดง (ร้อยละ 7) และสีเขียว (ร้อยละ 2) จากการวิเคราะห์ด้วย Attenuated Total Reflection Fourier Transform Infrared Spectroscopy (ATR - FTIR) พบว่า ไมโครพลาสติกส่วนใหญ่เป็น พอลิอะคริลิก (polyacrylic) พอลิอะคริลามิด (polyacrylamide) พอลิเอทิลีนเทเรฟทาเลต (polyethylene terephthalate; PET) พอลิเอสเตอร์ (polyesters) และไนลอน (nylon) จากการที่พบไมโครพลาสติกที่เป็นเส้นใยปริมาณมาก ถึงร้อยละ 91 อาจบ่งชี้แหล่งกำเนิดของไมโครพลาสติกได้ว่าอาจมาจากน้ำทึ้งจากระบบบำบัดน้ำเสีย ซึ่งได้รับน้ำเสียจากการซักผ้ารวมทั้งอาจเกิดจากเครื่องมือประมง เช่น แทะ เชือก เป็นต้น

Lo et al. (2018) ได้ทำการศึกษาการเปรียบเทียบปริมาณไมโครพลาสติกในหาดโคลนและหาดทรายในช่องกง จากการศึกษาพบไมโครพลาสติกในหาดโคลนมากกว่าหาดทรายถึง 10 เท่า โดยทำการเก็บตัวอย่างดินตะกอน 470 ตัวอย่างจาก 20 จุดเก็บตัวอย่าง พบริมฝีไมโครพลาสติก 0.58 - 2,116 ชิ้นต่อ กิโลกรัมดินตะกอน โดยมีค่าเฉลี่ยและค่ามัธยฐาน 161 และ 25.4 ชิ้นต่อ กิโลกรัมตัน

ตະกອນ ตามลำดับ การศึกษานີ້ພບໄມໂຄຣພລາສຕິກທັງໝົດ 5 ຮູປ່ຽງ ອື່ອ ຂຶ້ນສ່ວນໄຮ້ຮູບແບບ ເສັ້ນໃຍ ເມື່ດ ໂົມ ແລະ ພິລົມ ໂດຍເສັ້ນໃຍແລະ ຂຶ້ນສ່ວນໄຮ້ຮູບແບບມີປະມານມາກທີ່ສຸດ ອື່ອ ຮ້ອຍລະ 57.2 ແລະ 37.6 ຕາມລຳດັບ ໃນຂັດທີ່ ພິລົມ ໂົມ ແລະ ເມື່ດ ພບຮ້ອຍລະ 2.4, 2.2 ແລະ 0.3 ຕາມລຳດັບ

ກາຮັກຂາຂອງສຄາບັນວິຈີຍແລະພັ້ນາທີ່ພຍາກຫາງທະເລແລະປ້າຍເລັນແລະຄົນະເຕົກໂນໂລຢີ ທາງທະເລມຫາວິທີຍາລັບບຸນຫາ (2557) ຜົ່ງໄດ້ທຳການສໍາວົງແລະຈຳແນກຕ້ວອຍ່າງຂະທະເລປະເກດ ໄນໂຄຣພລາສຕິກໃນບຣິເວນໝາຍຫາດຄຸ້ງວິມານແລະໝາຍຫາດເຈົ້າລາວ ຈັງໜັດຈັນທບ້າ ໂດຍທຳການສຸ່ມເກັບ ຕ້ວອຍ່າງດິນຕະກອນແລະດິນບຣິເວນໝາຍຫາດໃນເດືອນກັນຍາຍານແລະເດືອນຈັນວາຄມ 2556 ຈາກກາຮັກຂາ ພບຮ້ອຍໄໝໄມໂຄຣພລາສຕິກທັງໝົດ 8 ຮູປ່ຽງ ອື່ອ ເສັ້ນໃຍ ກ້ອນໄມ້ຮູບແບບ ແຜ່ນພິລົມ ແຜ່ນເຂົ້າ ທຽກລົມ ແທ່ງ ເສັ້ນໃຍທີ່ໄໝໃຊ້ເຊື້ອກ ແລະ ອື່ນ ຖ້າ ສ່ວນສີທີ່ພບມີ 12 ສີ ໄດ້ແກ່ ສີຂາວຸ່່ນ ສີຂາວໃສ ສີແດງ ສີດຳ ສີນໍາເຈິນ ສີໜ້າ ສີເຂົ້າ ສີເຫຼົາ ສີນໍາຕາລ ສີເໝື້ອງ ສີສັ້ນ ແລະ ສີມ່ວງ ຈາກພັດກາຮັກຂາພບຮ້ອຍໄໝແບບເສັ້ນໃຍມາກທີ່ສຸດ ໃນໝາຍຫາດເຈົ້າລາວແລະພບຮ້ອຍໄໝແບບຂຶ້ນສ່ວນໄຮ້ຮູບແບບມາກທີ່ສຸດທີ່ໝາຍຫາດຄຸ້ງວິມານ ສ່ວນໃນຕະກອນ ດິນຂອງທັງສອງໝາຍຫາດ ພບຮ້ອຍໄໝແບບເສັ້ນໃຍມາກທີ່ສຸດ ແລະ ສີທີ່ພບມາກທີ່ສຸດໃນທັງສອງໝາຍຫາດ ອື່ອ ສີ ຂາວຸ່່ນ ແລະ ສີຂາວໃສ

ກາຮັກຂາຂອງ ເພົ່າເທັພ ເຊີດສຸ່ໃຈ ແລະ ຄົນະ (2560) ທີ່ໄດ້ທຳການກັບໄມໂຄຣພລາສຕິກບຣິເວນ ແລ້ມພັ້ນວາແລະເກະໂໂລນ ຈັງໜັດກູງເກີດ ພບວ່າ ບຣິເວນແລ້ມພັ້ນວາມີການແພ່ງກະຈາຍຂອງໄມໂຄຣພລາສຕິກໃນຕະກອນໝາຍຫາດ 5,039 ຂຶ້ນຕ່ອຕາຮັກມେຕର ແລະ ໃນຕະກອນພັ້ນທະເລພ 1,731 ຂຶ້ນຕ່ອຕາຮັກມେຕର ສ່ວນເກະໂໂລນພບໄມໂຄຣພລາສຕິກ 2,687 ຂຶ້ນຕ່ອຕາຮັກມେຕର ແລະ ໃນຕະກອນພັ້ນທະເລພ 3,411 ຂຶ້ນຕ່ອຕາຮັກມେຕର ໂດຍໃນທຸກພື້ນທີ່ທີ່ທຳການວິເຄຣະທີ່ພບໄມໂຄຣພລາສຕິກປະເກດເສັ້ນໃຍມາກກວ່າ ຮ້ອຍລະ 50 ຂອງທຸກຈຸດເກັບຕ້ວອຍ່າງ

Peng et al. (2017) ໄດ້ກັບໄມໂຄຣພລາສຕິກໃນຕະກອນດິນປາກແມ່ນໍ້າໃນປະເທດຈິນ ໂດຍເກັບ ຕ້ວອຍ່າງຕະກອນດິນຈາກປາກແມ່ນໍ້າຈາງເຈິ່ງ (Changjiang) ຈຳນວນ 53 ຈຸດເກັບຕ້ວອຍ່າງ ຈາກກາຮັກຂາ ພບໄມໂຄຣພລາສຕິກເຂົ້າ 121 \pm 9 ຂຶ້ນຕ່ອກິໂລກຮັມນໍ້າໜັກຕະກອນແໜ່ງ ໂດຍພບຕັ້ງແຕ່ 20 - 340 ຂຶ້ນຕ່ອກິໂລກຮັມນໍ້າໜັກຕະກອນແໜ່ງ ຜົ່ງໄມໂຄຣພລາສຕິກທີ່ພບຮ້ອຍລະ 93 ມີຮູປ່ຽງເສັ້ນໃය ຮ້ອຍລະ 6 ເປັນຮູປ່ຽງ ຂຶ້ນສ່ວນໄຮ້ຮູບແບບ ແລະພບຮ້ອຍໄໝເມື່ດເພີ່ງຮ້ອຍລະ 1 ໂດຍພບໄມໂຄຣພລາສຕິກສີຂາວໃສມາກທີ່ສຸດ (ຮ້ອຍລະ 42) ຮອງລົງມາ ອື່ອ ສີນໍາເຈິນ (ຮ້ອຍລະ 25) ສີດຳ (ຮ້ອຍລະ 16) ສີເໝື້ອງ (ຮ້ອຍລະ 7) ສີແດງ (ຮ້ອຍລະ 6) ແລະ ສີຂາວ (ຮ້ອຍລະ 4) ໃນກາຮັກຂານີ້ໄດ້ແບ່ງຂາດຂອງໄມໂຄຣພລາສຕິກອອກເປັນໄມໂຄຣພລາສຕິກຂາດເລີກ (1 ໄມໂຄຣມେຕର - 1 ມີລັລີມେຕର) ແລະໄມໂຄຣພລາສຕິກຂາດໃໝ່ (1 - 5 ມີລັລີມେຕର) ຜັດກາຮັກຂາພວ່າ ໄມໂຄຣພລາສຕິກຮ້ອຍລະ 58 ເປັນໄມໂຄຣພລາສຕິກທີ່ມີຂາດເລີກ ຈາກກາວິເຄຣະທີ່ໂດຍໃໝ່ Micro - Fourier-Transform Infrared Spectroscopy (μ -FT-IR) ພບຜ້າເຮຍອນ (rayon) ພອລີເອສເຕອຣ (polyester)



และอะครีลิก (acrylic) มากที่สุด ซึ่งบ่งชี้ว่าไมโครพลาสติกในปากแม่น้ำ江城 (Changjiang) น่าจะเกิดจากการซักผ้า

การศึกษาไมโครพลาสติกในตะกอนทะเลตามชายฝั่งเบลเยียมของ Claessens et al. (2011) ได้ทำการเก็บตัวอย่างบริเวณท่าเทียบเรือ ชายหาด และให้ล้วน (sublitorally (BCS)) พบร่องรอยของไมโครพลาสติกสูงสุด 390 ชิ้นต่อตรีโลกรัมน้ำหนักตะกอนแห้ง ที่ท่าเทียบเรือ ซึ่งมากกว่าค่าที่เคยรายงานไว้ถึง 15 - 50 เท่า ไมโครพลาสติกที่พบมีขนาด 38 ไมโครเมตร ถึง 1 มิลลิเมตรและพบไมโครพลาสติก 4 รูปร่าง คือ เส้นใย (ร้อยละ 59) เม็ด (ร้อยละ 25) แผ่นฟิล์ม (ร้อยละ 4) และทรงกลม (ร้อยละ 12)

ไมโครพลาสติกยังมีการสะสมในน้ำผิวดิน Zhang et al. (2017) ได้เก็บตัวอย่างไมโครพลาสติกที่ลอยอยู่ในทะเลจากจุดเก็บตัวอย่าง 11 แห่งในทะเลเป่่วไห่ (Bohai Sea) ประเทศจีน โดยใช้ตาข่ายที่มีขนาดตา 330 ไมโครเมตร ในเดือนสิงหาคม 2016 พบร่วมกับไมโครพลาสติกในน้ำทะเลเฉลี่ย 0.33 ± 0.74 ชิ้นต่อตรีลูกบาศก์เมตร ซึ่งพลาสติกที่พบมีขนาดตั้งแต่ 0.005 - 23.5 เซนติเมตร โดยแบ่งเป็นพลาสติกขนาดใหญ่ (> 2.5 เซนติเมตร) ร้อยละ 7 พลาสติกขนาดกลาง ($0.5 - 2.5$ เซนติเมตร) ร้อยละ 38 และไมโครพลาสติกขนาดเล็ก ($0.3 - 5$ มิลลิเมตร) ร้อยละ 55 ไมโครพลาสติกที่พบมี 7 รูปร่าง คือ ชิ้นส่วนไร้รูปแบบ เส้น พิล์ม ทรงกลม เส้นใย เม็ด และเม็ดบีดส์ ซึ่งไมโครพลาสติกที่พบมากที่สุด คือ ชิ้นส่วนไร้รูปแบบ (ร้อยละ 46) เส้น (ร้อยละ 24) และพิล์ม (ร้อยละ 22) ในขณะที่ไมโครพลาสติกรูปร่างทรงกลมและเส้นใยพบ ร้อยละ 5 และ ร้อยละ 3 ตามลำดับ ส่วนไมโครพลาสติกรูปร่าง เป็นเม็ดและเม็ดบีดส์พบรวมกันน้อยกว่า ร้อยละ 1 ส่วนสิของไมโครพลาสติกที่พบมากที่สุด คือ สีขาว (ร้อยละ 68) รองลงมา คือ สีขาวใส (ร้อยละ 11) สีเขียว (ร้อยละ 10) สีเหลือง (ร้อยละ 6) และสีอื่น ๆ (สีน้ำเงิน สีแดง และสีดำ) ร้อยละ 5

จากการศึกษาของ Wang et al. (2018) พบร่องรอยของไมโครพลาสติกในน้ำผิวดินในทะเลสาบตั้งถิง (Dongting) และทะเลสาบฮอง (Hong) ในประเทศจีน 900 - 2,800 ชิ้นต่อตรีลูกบาศก์เมตร และ 1,250 - 4,650 ชิ้นต่อตรีลูกบาศก์เมตร ตามลำดับ รูปร่างของไมโครพลาสติกที่พบมี 3 รูปร่าง คือ เส้นใย เม็ด และพิล์ม โดยทั้งทะเลสาบทั้งสอง และทะเลสาบฮอง พบร่องรอยของไมโครพลาสติกรูปร่างเส้นใยมากที่สุด คือ ร้อยละ 41.9 - 91.9 และร้อยละ 44.2 - 83.9 ตามลำดับ ในขณะที่ไมโครพลาสติกที่เป็นเม็ดพบ 385.0 ± 221.1 ชิ้นต่อตรีลูกบาศก์เมตร ในทะเลสาบทั้งสอง และ 685.5 ± 375.3 ชิ้นต่อตรีลูกบาศก์เมตร ในทะเลสาบทั้งสอง ส่วนไมโครพลาสติกรูปร่างพิล์มพบ ร้อยละ 13.5 และ ร้อยละ 16 ในทะเลสาบทั้งสอง และทะเลสาบทั้งสอง ตามลำดับ ไมโครพลาสติกที่พบในการศึกษานี้แบ่งออกเป็น 7 สี คือ สีขาวใส สีน้ำเงิน สีขาว สีดำ สีแดง สีขาว และอื่น ๆ โดยพบไมโครพลาสติกที่มีสีขาวใสเมียบริมาณมากที่สุด คิดเป็นร้อยละ 28.7 ในทะเลสาบทั้งสอง และ ร้อยละ 22.1 ในทะเลสาบทั้งสอง ซึ่งไมโครพลาสติกสีขาวใสที่พบ

300-390

๗๙๗

ส่วนมากจะมีรูปร่างเป็นเส้นใย จากการวิเคราะห์โดยใช้ Raman spectroscopy พบร่วมกับไมโครพลาสติกส่วนใหญ่เป็น พอลิเอทิลีน (polyethylene) และพอลิโพรพิลีน (polypropylene) ซึ่งไมโครพลาสติกที่พบในทะเลสาบทั้ง 2 แห่ง อาจเกิดจากการทำประมง ฟาร์มเพาะเลี้ยงสัตว์น้ำ น้ำทิ้ง จากระบบบำบัดน้ำเสีย การเกษตร จากการตกสะสมในบรรยากาศ เป็นต้น

นอกจากนี้ ยังมีการศึกษาการปนเปื้อนของไมโครพลาสติกในสัตว์ทะเล จากการศึกษาของ ปิติพงษ์ ธรรมนรต และคณะ (2559) ที่ได้ศึกษาการปนเปื้อนของไมโครพลาสติกในหอยสองฝ่ายเรณ ชายหาดเจ้าหลาวและชายหาดคุ้งวิมาน จังหวัดจันทบุรี โดยเก็บตัวอย่างตู้ฝันในเดือนสิงหาคมและ กันยายน 2557 ผลการศึกษาพบรูปร่างไมโครพลาสติกทั้งหมด 6 รูปร่าง ได้แก่ เส้นใย ชิ้นส่วนไร้รูปแบบ แผ่นฟิล์ม แผ่นแข็ง ทรงกลม แห่ง ส่วนสีที่พบมีทั้งหมด 10 สี ได้แก่ สีขาวขุ่น สีขาวใส สีแดง สีดำ สีน้ำเงิน สีฟ้า สีเขียว สีเทา สีน้ำตาล และอื่น ๆ จากการศึกษาพบการปนเปื้อนของไมโครพลาสติกในหอยสองฝ่าย คือ หอยเสียบ และหอยกระบุก และรูปร่างของไมโครพลาสติกที่พบมากที่สุด คือ เส้นใย รองลงมา คือ ชิ้นส่วนไร้รูปแบบ ส่วนสีที่พบมากที่สุด คือ สีดำ สีฟ้า สีขาว

การศึกษาของ Li et al. (2018) ได้ศึกษาปริมาณไมโครพลาสติกในหอยนางรม (*Saccostrea cucullata*) โดยเก็บตัวอย่างหอยนางรมจากจุดเก็บตัวอย่าง 11 จุด จำกบริเวณปากแม่น้ำเพิร์ล (Pearl) ประเทศไทย พบร่วมไมโครพลาสติกในหอยนางรม 1.4 - 7.0 ชิ้นต่อตัว หรือคิดเป็น 1.5 - 7.2 ชิ้นต่อกรัมน้ำหนักเปียกของเนื้อเยื่อหอยนางรม ซึ่งปริมาณไมโครพลาสติกในหอยนางรมที่พบมีความสัมพันธ์กับน้ำที่อยู่โดยรอบ โดยหอยนางรมที่อยู่ใกล้เขตเมืองจะมีไมโครพลาสติกสูงกว่า หอยนางรมที่เก็บจากพื้นที่ที่อยู่ในชนบท ไมโครพลาสติกที่พบมีขนาด 20 - 5,000 ไมโครเมตร ซึ่งส่วนใหญ่มีขนาดเล็กกว่า 100 ไมโครเมตร (ร้อยละ 83.9) รูปร่างของไมโครพลาสติกที่พบมากที่สุด คือ เส้นใย (ร้อยละ 69.4) รองลงมา คือ ชิ้นส่วนไร้รูปแบบ (ร้อยละ 20) ซึ่งไมโครพลาสติกที่มีรูปร่างเส้นใยและชิ้นส่วนไร้รูปแบบ คิดเป็นร้อยละ 82.5 - 97.2 ของไมโครพลาสติกทั้งหมดที่พบในแต่ละจุดเก็บตัวอย่าง ที่เหลือเป็นรูปร่างแบบเม็ด และแผ่น การศึกษานี้ได้แบ่งไมโครพลาสติกออกเป็น 8 สี คือ สีแดง สีดำ สีน้ำตาล สีน้ำเงิน สีเหลือง สีเขียว สีขาว และสีขาวใส จากการศึกษาพบไมโครพลาสติกที่มีสีอ่อน (สีขาวใส สีขาว สีเขียว สีเหลือง) ร้อยละ 83 ซึ่งมากกว่าไมโครพลาสติกที่มีสีเข้ม (สีน้ำเงิน สีน้ำตาล สีดำ และสีแดง) ซึ่งพบเพียงร้อยละ 17 นอกจากนี้จากการวิเคราะห์ชนิดของไมโครพลาสติกที่พบ 121 ชิ้น โดยใช้ Fourier Transform Infrared Spectroscopy Microscope (μ - FT -IR) พบร่วม พอลิเอทิลีนเทเรฟทาเลต (polyethyleneterephthalate; PET) มีปริมาณมากที่สุด (ร้อยละ 34) รองลงมา คือ พอลิโพรพิลีน (polypropylene; PP) คิดเป็น ร้อยละ 19 พอลิเอสเตอร์ (polyester) คิดเป็นร้อยละ 14 พอลิสไตรีน (polyester) คิดเป็นร้อยละ 8 เชลโลฟานหรือกระดาษแก้ว (cellophane) คิดเป็นร้อยละ 8 พอลิไวนิลคลอไรด์ (polyvinyl chloride; PVC) คิดเป็นร้อยละ

6 พอลิเอไมด์ (polyamide) คิดเป็นร้อยละ 4 โพม (expanded polystyrene) คิดเป็นร้อยละ 3 และอื่น ๆ คิดเป็นร้อยละ 4

จากการวิจัยที่เกี่ยวข้อง พบว่า ไมโครพลาสติกมีการปนเปื้อนในสิ่งแวดล้อมทางทะเล ทั้งในทรายชายหาด (สถาบันวิจัยและพัฒนาทรัพยากรทางทะเลและป่าชายเลนและคณะเทคโนโลยีทางทะเลมหาวิทยาลัยบูรพา, 2557; Piñon - Colin et al., 2018) น้ำทะเล (Zhang et al., 2017; Wang et al., 2018) และตะกอนดิน (เฝ่าเทพ เชิดสุขใจ และคณะ, 2560; Claessens et al., 2011; Peng et al. 2017; Lo et al., 2018) และไมโครพลาสติกอาจปนเปื้อนเข้าสู่ห่วงโซ่ออาหาร ดังจะเห็นได้ว่า มีการตรวจพบไมโครพลาสติกในหอยสองฝา (ปิติพงษ์ ธรรมนนท์ และคณะ, 2559) และหอยนางรม (Li et al., 2018) ซึ่งทำให้สารพิษในไมโครพลาสติกปนเปื้อนเข้าสู่ห่วงโซ่ออาหารและอาจส่งผลกระทบต่อสุขภาพและการดำรงชีวิตของสิ่งมีชีวิตในระบบนิเวศ รวมทั้งสุขภาพของมนุษย์ ดังนั้น การศึกษาการปนเปื้อนของไมโครพลาสติกในสิ่งแวดล้อมจะช่วยในการประเมินความเสี่ยงที่สิ่งมีชีวิตจะได้รับผลกระทบจากไมโครพลาสติก รวมทั้งจะช่วยในการหาแนวทางในการจัดการปัญหาเกี่ยวกับไมโครพลาสติกในอนาคต

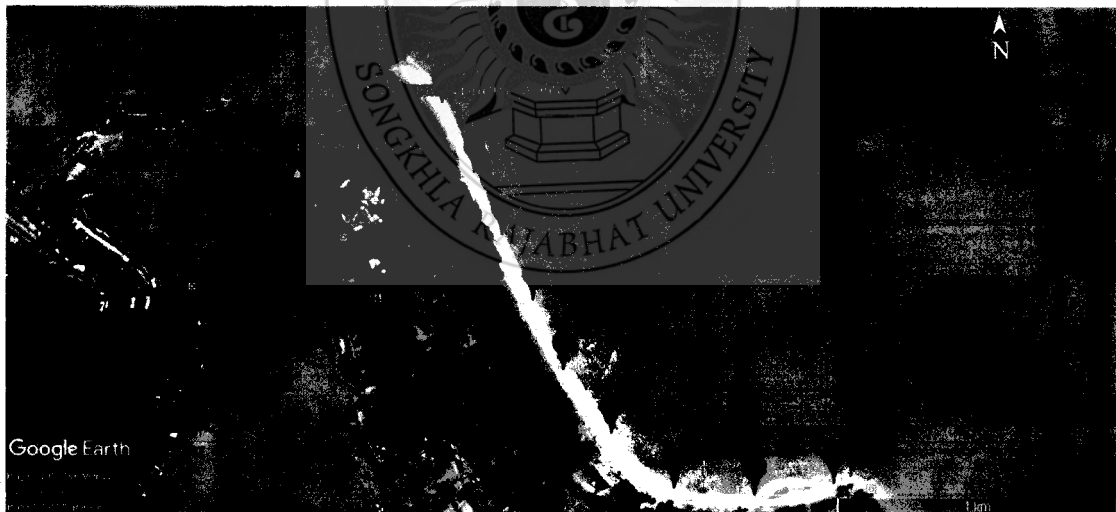


บทที่ 3

วิธีการวิจัย

3.1 ขอบเขตการศึกษา

งานวิจัยในครั้งนี้ทำการเก็บตัวอย่างทรายชายหาดบริเวณชายหาดแหลมสนอ่อน ตำบลบ่ออย่าง อำเภอเมือง จังหวัดสงขลา ตั้งแต่บริเวณอนุสาวารีย์กรมหลวงชุมพรเขตอุดมศักดิ์ถึงบริเวณประดิษฐมรณะเงือก เป็นระยะทาง 3.27 กิโลเมตร สูมเก็บตัวอย่างทั้งหมด 10 จุด โดยแต่ละจุดเก็บตัวอย่างมีระยะห่างประมาณ 300 เมตร (ภาพที่ 3.1) พิกัดของจุดเก็บตัวอย่างดังตารางที่ 3.1 เก็บตัวอย่างทรายชายหาด 1 ครั้ง ในเดือนตุลาคม 2560 จากนั้นนำตัวอย่างมาทำการทดลองที่ห้องปฏิบัติการวิทยาศาสตร์สิ่งแวดล้อม ศูนย์วิทยาศาสตร์ และอาคารปฏิบัติการเทคโนโลยีชีวภาพ มหาวิทยาลัยราชภัฏสงขลา เพื่อจำแนกปริมาณ และลักษณะทางกายภาพของไมโครพلاสติกด้วยกล้องจุลทรรศน์ โดยศึกษาขนาดของไมโครพลาสติก 2 ส่วน คือ ส่วนที่มีขนาดมากกว่า 63 ไมโครเมตร ($> 63 \mu\text{m}$) และส่วนที่น้อยกว่า 63 ไมโครเมตร ($< 63 \mu\text{m}$)



ภาพที่ 3.1 จุดเก็บตัวอย่างทรายชายหาดบริเวณแหลมสนอ่อน

ตำบลบ่ออย่าง อำเภอเมือง จังหวัดสงขลา

ที่มา: Google Earth (2018)

ตารางที่ 3.1 พิกัดของจุดเก็บตัวอย่าง

จุดเก็บตัวอย่าง	พิกัดภูมิศาสตร์	
	พิกัด X	พิกัด Y
L1	674574	799626
L2	674754	799394
L3	674866	799110
L4	674979	798840
L5	675096	798567
L6	675208	798300
L7	675379	798060
L8	675597	797863
L9	675882	797868
L10	676168	797865

หมายเหตุ: พิกัดภูมิศาสตร์ของจุดเก็บตัวอย่างอยู่ในโซน (Zone) 47 N

L1 - L10 หมายถึง จุดเก็บตัวอย่างที่ 1 - จุดเก็บตัวอย่างที่ 10 ตั้งแต่บริเวณอนุสาวรีย์
กรมหลวงชุมพรเขตอุดมศักดิ์ถึงบริเวณประติมารมนางเงือก

3.2 ลักษณะทางกายภาพของจุดเก็บตัวอย่าง

ก่อนการเก็บตัวอย่างทรายชายหาด ผู้วิจัยได้ดำเนินการสำรวจลักษณะทางกายภาพและกิจกรรมที่เกิดขึ้นในแต่ละจุดเก็บตัวอย่างทั้ง 10 จุด (L1 - L10) (ภาพที่ 3.2) โดยเริ่มจุดแรกที่บริเวณอนุสาวรีย์กรมหลวงชุมพรเขตอุดมศักดิ์ถึงจุดเก็บตัวอย่างสุดท้ายบริเวณประติมารมนางเงือก จากการสำรวจพบว่าจุดเก็บตัวอย่าง L1 - L4 ซึ่งอยู่ในบริเวณชายหาดแหลมสนอ่อน เป็นพื้นที่ที่มีท่าเรือน้ำลึกน้ำสีเขียวใส ทำการประมงพื้นบ้าน การวางอวนจับปลา การหาหอยเสียบรวมถึงกิจกรรมการตกปลา บริเวณริมหาดจะมีขยายกระจายอยู่โดยรอบพื้นที่ ถัดมาเป็นจุดเก็บตัวอย่าง L5 - L6 จุดนี้ไม่มีกิจกรรมจากชาวบ้าน เนื่องจากมีการกันพื้นที่เพื่อชุดทราย และมีการนำทรายมากองรวมกันเพื่อนำไปเติมทรายที่ชายหาดคลาทศน์ที่เกิดปัญหาการกัดเซาะชายฝั่ง ส่วนจุดเก็บตัวอย่าง L7 - L10 จะอยู่บริเวณประติมารมนางเงือก พื้นที่บริเวณนี้จะเป็นแหล่งท่องเที่ยวที่นักท่องเที่ยวเข้ามาพักผ่อนกันเป็นจำนวนมาก มีนักท่องเที่ยวลงเล่นน้ำ และมีร้านค้า ร้านอาหารไว้คอยบริการนักท่องเที่ยวตลอดแนวชายหาด



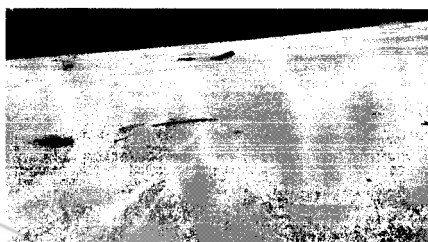
(ก) จุดเก็บตัวอย่าง L1



(ข) จุดเก็บตัวอย่าง L2



(ค) จุดเก็บตัวอย่าง L3



(ง) จุดเก็บตัวอย่าง L4



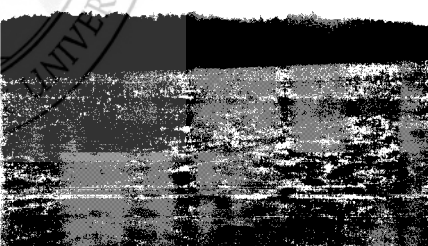
(จ) จุดเก็บตัวอย่าง L5



(ฉ) จุดเก็บตัวอย่าง L6



(ช) จุดเก็บตัวอย่าง L7



(ซ) จุดเก็บตัวอย่าง L8



(ฌ) จุดเก็บตัวอย่าง L9



(ญ) จุดเก็บตัวอย่าง L10

ภาพที่ 3.2 ลักษณะทางกายภาพของจุดเก็บตัวอย่างรายชาหยหาด (L1 - L10) บริเวณชายหาดแหลมสนอ่อน ตำบลบ่อยาง อำเภอเมือง จังหวัดสงขลา

3.3 วัสดุ อุปกรณ์ และสารเคมี

3.3.1 วัสดุ และอุปกรณ์

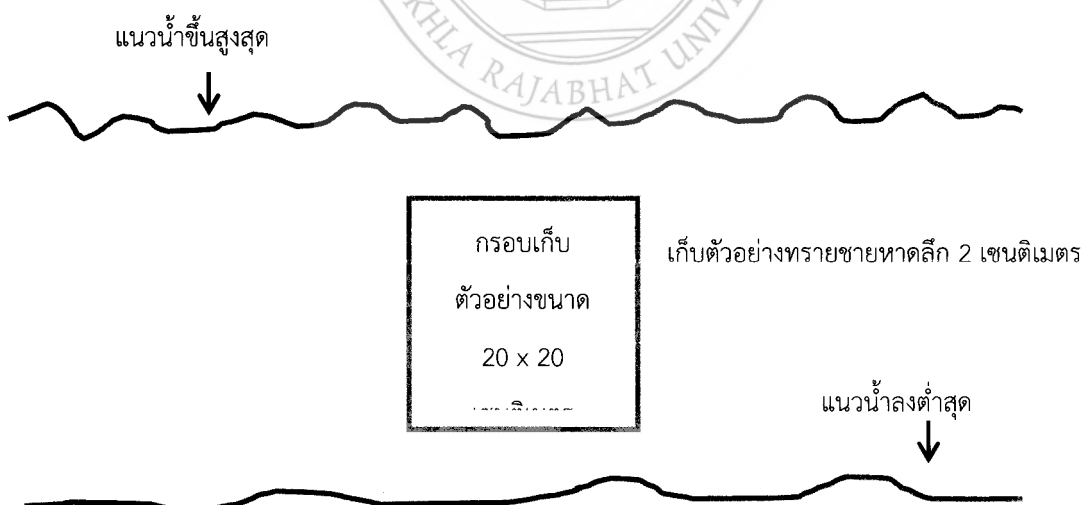
- 1) ถุงซิป
- 2) กระดาษฟอยล์ (aluminium foil)
- 3) สายวัดหรือตัวบั๊มเมตร
- 4) ถุงเก็บตัวอย่างทราย
- 5) พลั๊วตักดิน
- 6) ล้อวัดสนาม
- 7) กรอบเก็บตัวอย่าง (quadrate) ขนาด 20×20 เซนติเมตร
- 8) GPS (global positioning system) ยี่ห้อ GARMIN รุ่น Terex
- 9) กระดาษกรอง glass microfiber (GF/C) ขนาดรูพรุน 1.2 ไมโครเมตร
ยี่ห้อ Whatman
- 10) กระดาษกรอง cellulose nitrate ขนาดรูพรุน 0.45 ไมโครเมตร ยี่ห้อ Sartorius
- 11) บีกเกอร์ ขนาด 500 มิลลิลิตร และ 1,000 มิลลิลิตร
- 12) กระบอกตวง ขนาด 1,000 มิลลิลิตร
- 13) ขวดปรับปริมาตร ขนาด 500 มิลลิลิตร และ 1,000 มิลลิลิตร
- 14) เครื่องถ่วงสาร (hotplate stirrer) ยี่ห้อ IKA C-MAG รุ่น HS 7
- 15) ตู้อบ (hot air oven) ยี่ห้อ Memmert รุ่น Schwabach D-91126
- 16) กล้องจุลทรรศน์ ยี่ห้อ Nikon รุ่น ECLIPSE Ci พร้อม Microscope camera
ยี่ห้อ LANOPTIK MDX1003
- 17) เครื่องชั่งทศนิยม 2 ตำแหน่ง และเครื่องชั่งทศนิยม 4 ตำแหน่ง ยี่ห้อ Mettler
Toledo รุ่น AL 104
- 18) ตะแกรงร่อนขนาดตา 1 มิลลิเมตร และตะแกรงร่อนขนาดตา 63 ไมโครเมตร
- 19) ปั๊มสูญญากาศ (vacuum pump)
- 20) ชุดกรองสูญญากาศ (vacuum filter set)
- 21) ตู้ดูดความชื้น (desiccator)
- 22) ตู้ดูดควัน (fume hood)

3.3.2 สารเคมี

- 1) โซเดียมคลอไรด์ (NaCl) บริษัท อุตสาหกรรมเกลือบบริสุทธิ์ จำกัด ผลิตในประเทศไทย
- 2) ไฮโดรเจนเปอร์ออกไซด์ (H_2O_2) ร้อยละ 50 บริษัท ไทยเปอร์อ๊อกไซด์ จำกัด ผลิตในประเทศไทย
- 3) เฟอร์รัสซัลเฟต (FeSO_4) บริษัท Ajax Finechem ผลิตในประเทศอสเตรเลีย

3.4 การเก็บตัวอย่างทรายชายหาด

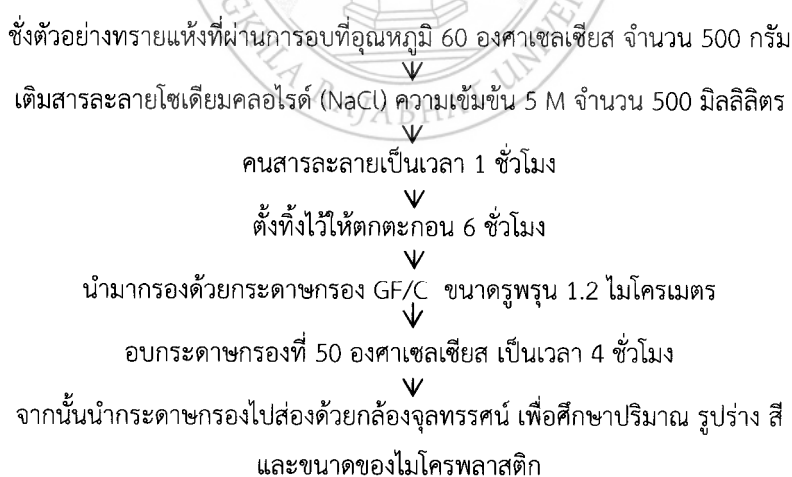
การศึกษาครั้งนี้ทำการเก็บตัวอย่างในเดือนตุลาคม 2560 เพื่อสำรวจไมโครพลาสติกบริเวณชายหาดแหลมสน อ่อน ตำบลบ่อยาง อำเภอเมือง จังหวัดสงขลา โดยเก็บตัวอย่างทรายชายหาดจำนวน 10 จุด แต่ละจุดเก็บตัวอย่างมีระยะห่างประมาณ 300 เมตร ในแต่ละจุดเก็บตัวอย่าง ดำเนินการเก็บตัวอย่างทรายที่จุดกึ่งกลางระหว่างแนวน้ำขึ้นสูงสุดและแนวน้ำลงต่ำสุด โดยใช้กรอบเก็บตัวอย่าง (quatdrate) ขนาด 20×20 เซนติเมตร โดยเก็บตัวอย่างทรายลึก 2 เซนติเมตร (ภาพที่ 3.3) ห่อด้วยกระดาษพอยล์ก่อนใส่ถุงชีป เพื่อป้องกันการสัมผัสกันของตัวอย่างและถุงพลาสติก จากนั้นนำกลับมาวิเคราะห์ที่ห้องปฏิการวิทยาศาสตร์สิ่งแวดล้อม โดยนำตัวอย่างไปอบให้แห้งที่อุณหภูมิ 60 องศาเซลเซียส จากนั้นนำมา_r่อนด้วยตะแกรงร่อนขนาดตา 1 มิลลิเมตร โดยวิธีการเก็บตัวอย่างทรายชายหาดในการศึกษาครั้งนี้ได้ดัดแปลงจากวิธีการเก็บตัวอย่างของ สถาบันวิจัยและพัฒนาทรัพยากรทางทะเลและป่าชายเลนและคณะเทคโนโลยีทางทะเล มหาวิทยาลัยบูรพา (2557)



ภาพที่ 3.3 การเก็บตัวอย่างทรายชายหาด

3.5 การศึกษาวิธีการวิเคราะห์การปนเปื้อนของไมโครพลาสติกในทรายชายหาด

ในปัจจุบันยังไม่มีวิธีการวิเคราะห์การปนเปื้อนของไมโครพลาสติกในตัวอย่างทรายชายหาดที่เป็นมาตรฐานสากล ดังนั้นการศึกษาในครั้งนี้จึงได้ดำเนินการวิเคราะห์ที่เหมาะสมเพื่อให้ผลการศึกษาที่ได้มีความน่าเชื่อถือ โดยอ้างอิงและดัดแปลงวิธีการของสถาบันวิจัยและพัฒนาทรัพยากรทางทะเลและป่าชายเลนและคณะเทคโนโลยีทางทะเล มหาวิทยาลัยบูรพา (2557) และ National Oceanic and Atmospheric Administration (NOAA) (Masura et al., 2015) ซึ่งใช้ความหนาแน่น (density) ในการแยกไมโครพลาสติกออกจากตัวอย่างทรายชายหาด โดยอาศัยหลักการ คือ วัตถุที่มีความหนาแน่นน้อยกว่าสารละลายจะลอยอยู่ในสารละลายนั้น ซึ่งในการศึกษาครั้งนี้ใช้สารละลายโซเดียมคลอไรด์เข้มข้น 5 M ซึ่งมีความหนาแน่น 1.15 กรัมต่อมิลลิลิตร ในการลอยแยกไมโครพลาสติกออกจากตัวอย่างแต่การใช้โซเดียมคลอไรด์มีข้อจำกัด เช่น ไม่สามารถแยกพลาสติกประเภทโพลีไวนิลคลอไรด์ได้ ซึ่งมีความหนาแน่น 1.4 กรัมต่อมิลลิลิตร (Masura et al., 2015) การศึกษาครั้งนี้ได้เปรียบเทียบวิธีการวิเคราะห์ไมโครพลาสติกในทรายชายหาด 3 วิธีการวิเคราะห์ โดยวิธีการวิเคราะห์ที่ 1 ดัดแปลงจากสถาบันวิจัยและพัฒนาทรัพยากรทางทะเลและป่าชายเลนและคณะเทคโนโลยีทางทะเล มหาวิทยาลัยบูรพา (2557) วิธีการวิเคราะห์ที่ 2 ดัดแปลงจากสถาบันวิจัยและพัฒนาทรัพยากรทางทะเลและป่าชายเลน และคณะเทคโนโลยีทางทะเล มหาวิทยาลัยบูรพา (2557) และ NOAA (Masura et al., 2015) และวิธีการวิเคราะห์ที่ 3 ดัดแปลงจาก NOAA (Masura et al., 2015) วิธีการวิเคราะห์ที่ 1 และวิธีการวิเคราะห์ที่ 2 มีขั้นตอนดังแสดงในภาพที่ 3.4 และ ภาพที่ 3.5



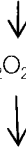
ภาพที่ 3.4 การศึกษาไมโครพลาสติกด้วยวิธีการวิเคราะห์ที่ 1

ที่มา: ดัดแปลงจากสถาบันวิจัยและพัฒนาทรัพยากรทางทะเลและป่าชายเลนและคณะเทคโนโลยีทางทะเล มหาวิทยาลัยบูรพา (2557)

ชั่งตัวอย่างทรายแห้งที่ผ่านการอบที่อุณหภูมิ 60 องศาเซลเซียส จำนวน 300 กรัม



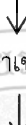
เติมเฟอร์สซัลเฟต (FeSO_4) ความเข้มข้น 0.05 M จำนวน 20 มิลลิลิตร



เติมไฮโดรเจนเปอร์ออกไซด์ (H_2O_2) ร้อยละ 30 จำนวน 20 มิลลิลิตร



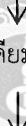
คนให้เข้ากันกันตั้งทิ้งไว้ 5 นาที บนเตาให้ความร้อน (70 องศาเซลเซียส)



เมื่อกีดฟองอากาศที่ผิวน้ำให้นำปักเกอร์ออกจากเตาเพื่อร่อนฟองหาย



ให้ความร้อน (70 องศาเซลเซียส) ต่ออีก 30 นาที



หากยังเกิดฟองแสดงว่าคงมีสารอินทรีย์ ให้เติมไฮโดรเจนเปอร์ออกไซด์ ร้อยละ 30
ครั้งละ 20 มิลลิลิตร จนสารอินทรีย์หมด (ไม่เกิดฟอง)



เติมโซเดียมคลอไรด์ (NaCl) โดยใช้โซเดียมคลอไรด์ 6 กรัมต่อตัวอย่าง 20 มิลลิลิตร



คนให้เข้ากันและให้ความร้อนที่อุณหภูมิ 70 องศาเซลเซียสจนโซเดียมคลอไรด์ละลายหมด



เกตัวอย่างใส่กรอบบอตวัง ปิดด้วยกระดาษฟอยล์ ตั้งทิ้งไว้ให้ตกตะกอน 1 คืน



กรองสารละลายส่วนใส่ด้วยกระดาษกรองเซลลูโลสในเทราท ขนาดรูพรุน 0.45 ไมโครเมตร



อบกระดาษกรองให้แห้งเป็นเวลา 4 ชั่วโมงที่อุณหภูมิ 60 องศาเซลเซียส



นำกระดาษกรองไปส่องด้วยกล้องจุลทรรศน์ เพื่อศึกษาปริมาณ

รูปร่าง สี และขนาดของเม็ดพลาสติก

ภาพที่ 3.5 การศึกษาไมโครพลาสติกด้วยวิธีการวิเคราะห์ที่ 2

ที่มา: ตัดแปลงจากสถานบันวิจัยและพัฒนาทรัพยากรทางทะเลและป่าชายเลนและคณฑ์เทคโนโลยีทางทะเล
มหาวิทยาลัยบูรพา (2557) และ NOAA (Masura et al., 2015)

สำหรับวิธีการวิเคราะห์ที่ 3 ซึ่งตัดแปลงจาก NOAA (Masura et al., 2015) มีขั้นตอนดังภาพที่ 3.6 โดยมีรายละเอียด ดังนี้

- 1) ชั้ntัวอย่างทรายแห้งที่ผ่านการร่อนด้วยตะแกรงร่อนขนาดตา 1 มิลลิเมตร (ขนาด < 1 มิลลิเมตร) จำนวน 300 กรัม ใส่ในบีกเกอร์ขนาด 1 ลิตร
- 2) เติมสารละลายน้ำโซเดียมคลอไรด์ (NaCl) เข้มข้น 5 M จำนวน 300 มิลลิลิตร
- 3) ใช้แห่งแก้วกว้างตัวอย่างอย่างแรงและต่อเนื่องประมาณ 5 นาที ตั้งทิ้งไว้ให้ตกตะกอน 15 นาที ใช้ช้อนสแตนเลสตักสารละลายน้ำส่วนใส่ด้านบน (ระวังไม่ให้ตกตะกอนฟุ้ง) 50 มิลลิลิตร ใส่ในบีกเกอร์ ขนาด 500 มิลลิลิตร ทำซ้ำต่อเนื่องอีก 2 ครั้ง จะได้ปริมาตรตัวอย่างรวม 150 มิลลิลิตร
- 4) จานนั้นนำมารองด้วยตะแกรงร่อนขนาดตา 63 ไมโครเมตร
- 5) นำตัวอย่างที่อยู่บนตะแกรงร่อนขนาดตา 63 ไมโครเมตร (ขนาด > 63 ไมโครเมตร) ใส่ในบีกเกอร์ ขนาด 500 มิลลิลิตร นำไปอบที่อุณหภูมิ 60 องศาเซลเซียส จนแห้ง
- 6) นำตัวอย่างที่อยู่บนตะแกรงร่อนขนาดตา 63 ไมโครเมตร (ขนาด > 63 ไมโครเมตร) ที่อบจนแห้งแล้วและตัวอย่างที่ผ่านตะแกรงร่อนขนาดตา 63 ไมโครเมตร (ขนาด < 63 ไมโครเมตร) มาใส่ในบีกเกอร์ขนาด 500 มิลลิลิตร โดยตัวอย่างแต่ละขนาดจะนำมาดำเนินการต่อตามขั้นตอนที่ 7) ถึง 14)
- 7) เติมเฟอร์สซัลเฟต (FeSO_4) เข้มข้น 0.05 M จำนวน 20 มิลลิลิตร
- 8) เติมไฮโดรเจนเปอร์ออกไซด์ (H_2O_2) ร้อยละ 30 จำนวน 20 มิลลิลิตร เพื่อกำจัดสารอินทรีย์ กวนตัวอย่าง และตั้งทิ้งไว้ 5 นาที
- 9) สังเกตว่าเกิดฟองอากาศในตัวอย่างหรือไม่ หากยังคงเกิดฟองอากาศให้เติมไฮโดรเจนเปอร์ออกไซด์ (H_2O_2) ร้อยละ 30 เพิ่มครั้งละ 20 มิลลิลิตร จนกว่าสารอินทรีย์หมด
- 10) เมื่อยอยสารอินทรีย์จนหมด (สังเกตจากไม่เกิดฟองอากาศในตัวอย่าง) ให้เติมโซเดียมคลอไรด์ (NaCl) 6 กรัมต่อตัวอย่าง 20 มิลลิลิตร กวนจนสารละลายน้ำโซเดียมคลอไรด์ละลายหมด
- 11) จานนั้นเทตัวอย่างใส่กระบอกตวง ขนาด 1 ลิตร ปิดด้วยกระดาษฟอยล์ (aluminium foil) ตั้งทิ้งไว้ให้ตกตะกอน 1 คืน ที่อุณหภูมิห้อง
- 12) กรองสารละลายน้ำส่วนใส่ด้านบนด้วยกระดาษกรองเซลลูโลสไนเตรท (cellulose nitrate) ขนาด 0.45 ไมโครเมตร โดยค่อย ๆ เทตัวอย่างออกจากกระดาษกรองแล้วรีบันไม่ให้เกิดการฟุ้งของตะกอนด้านล่าง
- 13) นำกระดาษกรองที่ผ่านการกรองแล้วไปอบที่อุณหภูมิ 60 องศาเซลเซียส เป็นเวลา 4 ชั่วโมง
- 14) นำแผ่นกระดาษกรองมาวิเคราะห์ด้วยกล้องจุลทรรศน์ เพื่อศึกษาปริมาณ รูปร่าง สี และขนาดของไมโครพลาสติก



ภาพที่ 3.6 การศึกษาไมโครพลาสติกด้วยวิธีการวิเคราะห์ที่ 3

ที่มา: ตัดแปลงจาก NOAA (Masura et al., 2015)

จากรายละเอียดของวิธีการวิเคราะห์ที่ 3 วิธี สามารถสรุปและเปรียบเทียบวิธีการวิเคราะห์ดังตารางที่ 3.2 ซึ่งจากการวิเคราะห์พบว่า วิธีการวิเคราะห์ที่ 3 มีความเหมาะสมที่สุด (รายละเอียดผลการศึกษาในบทที่ 4 หัวข้อ 4.1) ดังนั้นจึงใช้วิธีการวิเคราะห์ที่ 3 เพื่อวิเคราะห์การบันปีอนของไมโครพลาสติกในตัวอย่างทรายชายหาดในการศึกษานี้

ตารางที่ 3.2 การเปรียบเทียบวิธีการวิเคราะห์ที่ใช้ในการศึกษา

วิธีการ วิเคราะห์	น้ำหนัก ตัวอย่าง (กรัม)	การย่อตัวอย่าง	การแยกไมโครพลาสติก ด้วยโซเดียมคลอไรด์ (NaCl) 5 M	ชนิดของกรະดາษ กรอง	อ้างอิง
1	500	ไม่มีการย่อตัวอย่าง	ทำการลอกแยกไมโครพลาสติก 1 ครั้งด้วยสารละลายน้ำโซเดียมคลอไรด์ 5 M	glass microfiber filters (GF/C) ขนาดรูพรุน 1.2 ไมโครเมตร	สถาบันวิจัยและพัฒนาทรัพยากรทางทะเลและป่าชายเลน และคณะเทคโนโลยีทางทะเล มหาวิทยาลัยบูรพา (2557)
2	300	สารละลายน้ำโซเดียมคลอไรด์ 0.05 M และสารละลายน้ำไฮโดรเจน Peroxide ออกไซด์ ร้อยละ 30 (H_2O_2)	ทำการลอกแยกไมโครพลาสติก 1 ครั้งด้วยสารละลายน้ำโซเดียมคลอไรด์ 5 M	cellulose nitrate filters ขนาดรูพรุน 0.45 ไมโครเมตร	สถาบันวิจัยและพัฒนาทรัพยากรทางทะเลและป่าชายเลน และคณะเทคโนโลยีทางทะเล มหาวิทยาลัยบูรพา (2557) และ NOAA (Masura et al., 2015)
3	300	สารละลายน้ำโซเดียมคลอไรด์ (FeSO ₄) 0.05 M และสารละลายน้ำไฮโดรเจน Peroxide ออกไซด์ ร้อยละ 30 (H_2O_2)	ทำการลอกแยกไมโครพลาสติก 2 ครั้งด้วยสารละลายน้ำโซเดียมคลอไรด์ (NaCl) 5 M	cellulose nitrate filters ขนาดรูพรุน 0.45 ไมโครเมตร	NOAA (Masura et al., 2015)

ทั้งนี้กระดาษกรองซึ่งมีไมโครพลาสติกจะนำไปวิเคราะห์ปริมาณ และลักษณะทางกายภาพ (รูปร่าง สี และขนาด) ของไมโครพลาสติกโดยใช้กล้องจุลทรรศน์ต่อไป โดยในการศึกษาครั้งนี้ได้แบ่ง รูปร่างของไมโครพลาสติก ออกเป็น 4 รูปร่าง คือ เส้นใย ชิ้นส่วนรีรูปแบบ ทรงกลม และแท่ง และ แบ่งสีออกเป็น 11 สี ได้แก่ สีขาวขุ่น สีขาวใส สีแดง สีดำ สีน้ำเงิน สีฟ้า สีเขียว สีน้ำตาล สีเหลือง สีส้ม และสีม่วง แล้วจึงนำผลการศึกษาการปนเปื้อนของไมโครพลาสติกในตัวอย่างทราย ชายหาดบริเวณแหลมสนอ่อน ตำบลบ่ออย่าง อำเภอเมือง จังหวัดสงขลา ทั้ง 10 จุดเก็บตัวอย่าง มาเปรียบเทียบ และอภิปรายร่วมกับกิจกรรมที่เกิดขึ้นในพื้นที่ของจุดเก็บตัวอย่างนั้น

ทั้งนี้การรายงานผลการศึกษาที่ได้จากวิธีการวิเคราะห์ที่ 3 ในบทที่ 4 (ผลและการอภิปราย ผลการวิจัย) จะรายงานผลการศึกษาไมโครพลาสติกเป็น 2 ช่วงขนาดอนุภาค ประกอบด้วย ขนาดมากกว่า 63 ไมโครเมตร ($> 63 \mu\text{m}$) หมายถึง ไมโครพลาสติกที่มีขนาดมากกว่า 63 ไมโครเมตร - 1 มิลลิเมตร และขนาดน้อยกว่า 63 ไมโครเมตร ($< 63 \mu\text{m}$) หมายถึง ไมโครพลาสติกที่มีขนาดมากกว่า 0.45 - 63 ไมโครเมตร



บทที่ 4

ผลและการอภิปรายผลการวิจัย

การสำรวจไมโครพลาสติกบริเวณชายหาดแหลมสน อ่อน ตำบลบ่ออย่าง อำเภอเมือง จังหวัด สงขลา ดำเนินการเก็บตัวอย่างทรัพยากริมทะเลจากบริเวณอนุสาวรีย์กรมหลวงชุมพรเขตอุดมศักดิ์ถึง บริเวณประตูมาร์มนางเงือก เป็นระยะทาง 3.27 กิโลเมตร จากจุดเก็บตัวอย่างทั้งหมด 10 จุด ($L_1 - L_{10}$) ได้ตัวอย่างทรัพยากริมทะเลทั้งหมด 10 ตัวอย่าง ทำการเก็บตัวอย่างในเดือนตุลาคม 2560 โดยใช้กรอบเก็บตัวอย่าง ขนาด 20×20 เซนติเมตร เก็บตัวอย่างทรัพยากริมทะเลบริเวณจุดกึ่งกลาง ระหว่างแนวน้ำขึ้นสูงสุดและแนวน้ำลงต่ำสุด ที่ระดับความลึก 2 เซนติเมตร ดังรายละเอียดในบทที่ 3 ซึ่งการศึกษาในครั้งนี้ได้ศึกษาวิธีการที่เหมาะสมในการวิเคราะห์ปริมาณไมโครพลาสติกในทรัพยากริมทะเล จากนั้นจึงนำวิธีการวิเคราะห์ที่เหมาะสมนี้ไปใช้ในการศึกษาปริมาณไมโครพลาสติกใน ตัวอย่างทรัพยากริมทะเลทั้ง 10 ตัวอย่าง โดยมีผลการศึกษาดังรายละเอียดต่อไปนี้

4.1 การศึกษาวิธีการวิเคราะห์การปนเปื้อนของไมโครพลาสติกในทรัพยากริมทะเล

การศึกษานี้ทำการเปรียบเทียบวิธีการวิเคราะห์ปริมาณไมโครพลาสติกในทรัพยากริมทะเล 3 วิธีการวิเคราะห์ โดยดัดแปลงวิธีการวิเคราะห์มาจากการสถาบันวิจัยและพัฒนาทรัพยากริมทะเลและป่าชายเลนและคณะเทคโนโลยีทางทะเล มหาวิทยาลัยบูรพา (2557) และ NOAA (Masura et al., 2015) (ตารางที่ 4.1) ซึ่งวิธีการวิเคราะห์ทั้ง 3 วิธีการวิเคราะห์ จะแยกไมโครพลาสติกออกจากตัวอย่างทรัพยากริมทะเลโดยอาศัยหลักการแยกโดยใช้ความหนาแน่น (density separation) ซึ่งอาศัยคุณสมบัติของวัตถุ ที่มีความหนาแน่นน้อยกว่าสารละลายจะลอยอยู่ในสารละลายนั้น โดยเพิ่มความหนาแน่นของเหลว โดยใช้โซเดียมคลอไรด์เข้มข้น 5 M ซึ่งมีความหนาแน่น 1.15 กรัมต่อมิลลิลิตร ดังนั้นจึงสามารถแยก พลาสติกประเภท พอลิโพรพิลีน (polypropylene; PP) ความหนาแน่น 0.94 กรัมต่อมิลลิลิตร และพอลิเอทิลีน (polyethylene; PE) ความหนาแน่น (0.91 - 0.97 กรัมต่อมิลลิลิตร) แต่ไม่สามารถแยกพลาสติกประเภท ไนลอน (nylon), พอลิคาร์บอเนต (polycarbonate; PC), พอลิเอทธิลีนเทเรฟราเลท (polyethylene terephthalate; PET), และพอลิไวนิลคลอไรด์ (polyvinyl chloride; PVC) เป็นต้น ซึ่งมีความหนาแน่น 1.15, 1.2, 1.33, และ 1.4 กรัมต่อมิลลิลิตร ตามลำดับ เนื่องจากมีความหนาแน่นมากกว่าความหนาแน่นของโซเดียมคลอไรด์เข้มข้น 5 M (ตารางที่ 4.2) หลังจากแยกไมโครพลาสติกออกจากตัวอย่างทรัพยากริมทะเลแล้วจึงนำตัวอย่างไปวิเคราะห์ไมโครพลาสติกโดยใช้กล้องจุลทรรศน์แบบไบร์ฟิลด์ (bright field) ยี่ห้อ Nikon รุ่น ECLIPSE Ci พร้อม Microscope camera ยี่ห้อ LANOPTIK MDX1003 ต่อไป

ตารางที่ 4.1 วิธีการวิเคราะห์ไมโครพลาสติกในตัวอย่างทรายชายหาด

วิธีการ วิเคราะห์	รายละเอียดวิธีการวิเคราะห์	อ้างอิง
1	<ul style="list-style-type: none"> - ตัวอย่างทรายแห้ง 500 กรัม - ไม่มีการย่อยตัวอย่างเพื่อกำจัดสารอินทรีย์ออกจากตัวอย่าง - แยกไมโครพลาสติกโดยใช้ไซเดียมคลอไรด์เข้มข้น 5 M 500 มิลลิลิตร 1 ครั้ง - กรองด้วยกระดาษกรอง Glass Microfiber (GF/C) ขนาดรูพรุน 1.2 ไมโครเมตร 	สถาบันวิจัยและพัฒนาทรัพยากรทางทะเลและป่าชายเลนและคณะเทคโนโลยีทางทะเล มหาวิทยาลัยบูรพา (2557)
2	<ul style="list-style-type: none"> - ตัวอย่างทรายแห้ง 300 กรัม - ย่อยตัวอย่างเพื่อกำจัดสารอินทรีย์โดยใช้เฟอร์สซัลเฟต 0.05 M และไฮโดรเจนเปอร์ออกไซด์ ร้อยละ 30 - แยกไมโครพลาสติกโดยใช้ไซเดียมคลอไรด์เข้มข้น 5 M 1 ครั้ง - กรองผ่านกระดาษกรอง cellulose nitrate ขนาดรูพรุน 0.45 ไมโครเมตร 	ดัดแปลงจาก สถาบันวิจัยและพัฒนาทรัพยากรทางทะเลและป่าชายเลน และคณะเทคโนโลยีทางทะเล มหาวิทยาลัยบูรพา (2557) และ NOAA (Masura et al., 2015)
3	<ul style="list-style-type: none"> - ตัวอย่างทรายแห้ง 300 กรัม - ย่อยตัวอย่างเพื่อกำจัดสารอินทรีย์โดยใช้เฟอร์สซัลเฟต 0.05 M และไฮโดรเจนเปอร์ออกไซด์ ร้อยละ 30 - แยกไมโครพลาสติกโดยใช้ไซเดียมคลอไรด์ 2 ครั้ง - มีการร่อนแยกตัวอย่างด้วยตะแกรงร่อนขนาดตา 63 ไมโครเมตร ได้ตัวอย่างที่นำมาวิเคราะห์ 2 ส่วน คือมากกว่า 63 ไมโครเมตร และน้อยกว่า 63 ไมโครเมตร - กรองผ่านกระดาษกรอง cellulose nitrate ขนาดรูพรุน 0.45 ไมโครเมตร 	ดัดแปลงจาก NOAA (Masura et al., 2015)

หมายเหตุ: รายละเอียดของขั้นตอนการวิเคราะห์แสดงในบทที่ 3 หัวข้อ 3.5

ตารางที่ 4.2 ความหนาแน่นของพลาสติกแต่ละประเภท

ประเภทของพลาสติก	ความหนาแน่น
พอลิเอทิลีน (polyethylene; PE)	0.91 - 0.97 กรัมต่อมิลลิลิตร
พอลิไพรพลีน (polypropylene; PP)	0.94 กรัมต่อมิลลิลิตร
พอลิสไตรีน (polystyrene; PS)	1.05 กรัมต่อมิลลิลิตร
ไนลอน (nylon)	1.15 กรัมต่อมิลลิลิตร
พอลิคาร์บอเนต (polycarbonate; PC)	1.2 กรัมต่อมิลลิลิตร
พอลิเอทธิลีนเทเรฟทาเลท (polyethylene terephthalate; PET)	1.33 กรัมต่อมิลลิลิตร
พอลิไวนิลคลอไรด์ (polyvinyl chloride; PVC)	1.4 กรัมต่อมิลลิลิตร

ที่มา: NOAA (Masura et al., 2015)

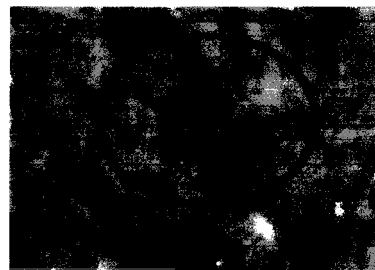
จากการศึกษาเปรียบเทียบเบื้องต้นประสิทธิภาพของการวิเคราะห์ตัวอย่างทั้ง 3 วิธีการวิเคราะห์พบว่า วิธีการวิเคราะห์ที่ 3 เป็นวิธีการวิเคราะห์ที่เหมาะสมที่สุด ซึ่งแม้ว่าวิธีการวิเคราะห์ที่ 1 จะเป็นวิธีที่สะดวก รวดเร็ว แต่พบรัตตุปะรังสีขาวกลมซึ่งมีลักษณะคล้ายไดอะตوم (diatom) เป็นจำนวนมาก (ภาพที่ 4.1ก) เนื่องจากไม่มีกระบวนการย่อยตัวอย่างเพื่อกำจัดสารอินทรีย์ออกจากตัวอย่างก่อน สำหรับวิธีการวิเคราะห์ที่ 2 ถึงแม้มีการย่อยเพื่อกำจัดสารอินทรีย์ออกจากตัวอย่าง แต่ไม่มีการแยกไมโครพลาสติกออกจากตัวอย่างเบื้องต้นเพื่อลดปริมาณตัวอย่างทรายชายหาดที่จะนำไปย่อย ทำให้ใช้สารเคมีจำนวนมาก และใช้เวลาในการย่อยเป็นระยะเวลานาน (ใช้ไฮโดรเจนเปอร์ออกไซด์ (H_2O_2) ร้อยละ 30 ถึง 600 มิลลิลิตร และใช้เวลานานถึง 6 ชั่วโมง) นอกจากนี้หากตัวอย่างมีสารอินทรีย์มากอาจไม่สามารถกำจัดสารอินทรีย์ได้หมด ซึ่งจากผลการทดลอง พบรัตตุปะรังสีขาวกลมคล้ายไดอะตوم (diatom) ที่เกิดการแตกหัก มีสภาพไม่สมบูรณ์ (ภาพที่ 4.1ข)

สำหรับวิธีการวิเคราะห์ที่ 3 ที่มีการย่อยตัวอย่างทรายชายหาดและมีการแยกไมโครพลาสติกออกจากตัวอย่างทรายชายหาด 2 ครั้ง รวมทั้งมีการแบ่งไมโครพลาสติกออกเป็น 2 ช่วงขนาดอนุภาค คือ ขนาดมากกว่า 63 ไมโครเมตร ($> 63 \mu m$) คือ ไมโครพลาสติกที่มีขนาดมากกว่า 63 ไมโครเมตร - 1 มิลลิเมตร ($> 63 \mu m - 1 mm$) และขนาดน้อยกว่า 63 ไมโครเมตร ($< 63 \mu m$) คือ ไมโครพลาสติกที่มีขนาดมากกว่า 0.45 - 63 ไมโครเมตร ($> 0.45 - 63 \mu m$) ผลการศึกษาพบว่าวิธีการวิเคราะห์ที่ 3 ใช้ปริมาณสารเคมี และระยะเวลาในการย่อยลดลงกว่าวิธีการวิเคราะห์ที่ 2 รวมทั้งสามารถย่อยสารอินทรีย์ในตัวอย่างได้หมด ดังจะเห็นได้ว่าไม่พบรัตตุทรงกลมที่มีลักษณะคล้ายไดอะตوم (diatom) แต่วัตถุทรงกลมที่พบเป็นทรงกลมที่มีความชุ่น ทึบ และไม่โปร่งแสง (ภาพที่ 4.1 ค) ซึ่งแตกต่างจากไดอะตومที่จะโปร่งแสงเห็นโครงสร้างข้างใน (ภาพที่ 4.1ก) ดังนั้นในการศึกษานี้จึง

ใช้วิธีการวิเคราะห์ที่ 3 ซึ่งดัดแปลงจาก NOAA (Masura et al., 2015) ในการวิเคราะห์ปริมาณไมโครพลาสติกในรายชาหยหาดบริเวณชายหาดแหลมสนอ่อน ตำบลปอยาง อำเภอเมือง จังหวัดสงขลา ซึ่งผู้วิจัยได้พิจารณาคำนวณมาวิเคราะห์ตัวอย่างทรายชายหาดทั้ง 10 จุดเก็บตัวอย่างต่อไป



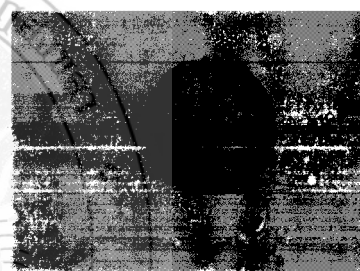
(ก) วิธีการวิเคราะห์ที่ 1



(ข) วิธีการวิเคราะห์ที่ 2



(ค) วิธีการวิเคราะห์ที่ 3



(ง) ไดอะตوم (diatom)

ภาพที่ 4.1 ลักษณะตัวอย่างรูปร่างของไมโครพลาสติกที่ดำเนินการเก็บตัวด้วยวิธีการวิเคราะห์ที่ 1 - 3 และลักษณะของไดอะตوم

4.2 การศึกษาปริมาณของไมโครพลาสติกในตัวอย่างทรายชายหาด

การศึกษานี้เก็บตัวอย่างทรายชายหาดจากชายหาดแหลมสนอ่อน ตำบลปอยาง อำเภอเมือง จังหวัดสงขลา ในเดือนตุลาคม 2560 มาวิเคราะห์ปริมาณไมโครพลาสติกที่ปนเปื้อน ซึ่งจากการวิเคราะห์จะแบ่งไมโครพลาสติกออกเป็น 2 ส่วน คือ ไมโครพลาสติกที่มีขนาดมากกว่า 63 ไมโครเมตร และไมโครพลาสติกที่มีขนาดน้อยกว่า 63 ไมโครเมตร โดยใช้ตะแกรงร่อนขนาดตา 63 ไมโครเมตร แล้วจึงนำตัวอย่างทั้ง 2 ส่วนนี้ไปศึกษาปริมาณของไมโครพลาสติกที่ปนเปื้อนโดยใช้กล้องจุลทรรศน์ยี่ห้อ Nikon รุ่น ECLIPSE Ci พร้อม Microscope camera ยี่ห้อ LANOPTIK MDX1003 ได้ผลดังตารางที่ 4.3 และภาพที่ 4.2

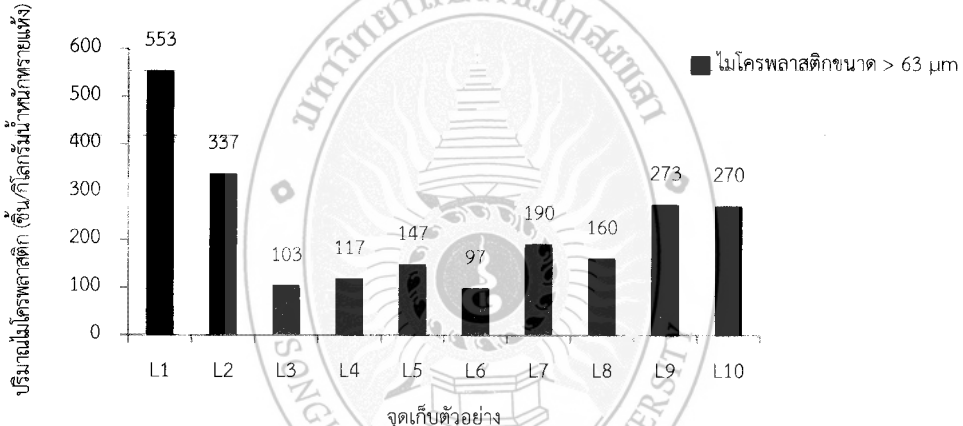
ตารางที่ 4.3 ปริมาณของไมโครพลาสติกที่พบในทรัพยากริเวณชายหาดแหลมสน อ่อน

ขนาดของ ไมโครพลาสติก	จำนวนไมโครพลาสติก (ชิ้น/กิโลกรัมน้ำหนักทรายแห้ง)										เฉลี่ย ± SD (ชิ้น/กิโลกรัมน้ำหนัก ทรายแห้ง)
	L1	L2	L3	L4	L5	L6	L7	L8	L9	L10	
> 63 μm	553	337	103	117	147	97	190	160	273	270	225 ± 141
< 63 μm	217	233	70	173	57	97	90	107	183	107	133 ± 62
รวม	770	570	173	290	204	194	280	267	456	377	358 ± 102

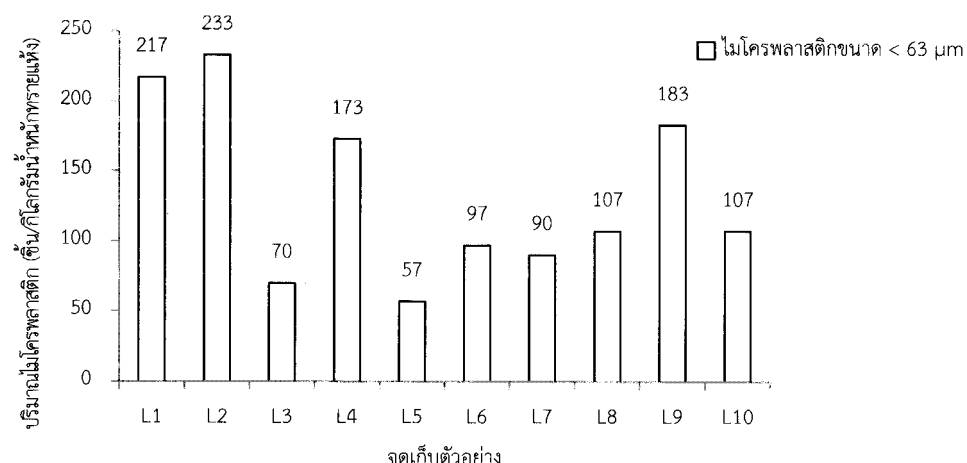
หมายเหตุ : L1 - L10 หมายถึงจุดเก็บตัวอย่างที่ 1 ถึง จุดเก็บตัวอย่างที่ 10 ตั้งแต่บริเวณอนุสาวรีย์กรมหลวงชุมพร

เขตอุดมศักดิ์ถึงประติมารมนางเงือก ตำบลบ่ออย่าง อำเภอเมือง จังหวัดสงขลา

SD หมายถึง ค่าเบี่ยงเบนมาตรฐาน

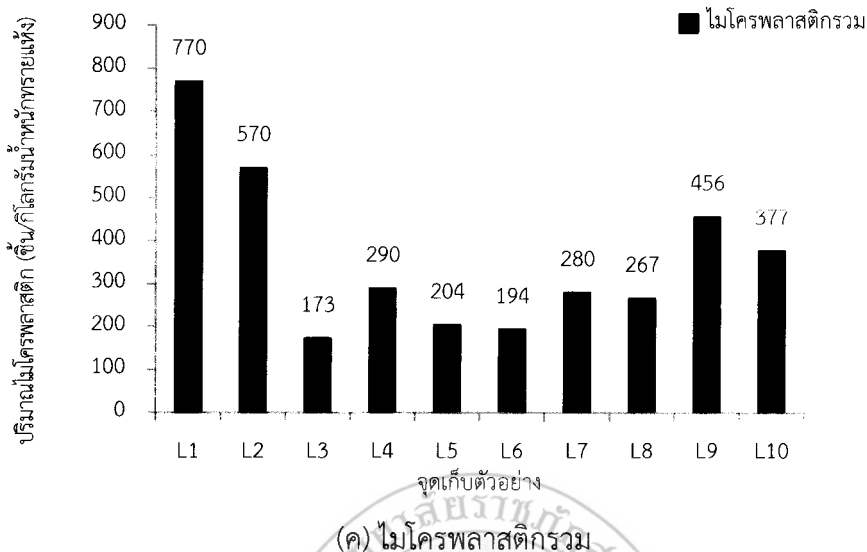


(ก) ไมโครพลาสติกขนาด > 63 ไมโครเมตร



(ข) ไมโครพลาสติกขนาด < 63 ไมโครเมตร

ภาพที่ 4.2 ปริมาณของไมโครพลาสติกบริเวณชายหาดแหลมสน อ่อน



(ค) ไม่ครอพลาสติกรวม

ภาพที่ 4.2 ปริมาณของไม่ครอพลาสติกบริเวณชายหาดแหลมสนอ่อน (ต่อ)

จากตารางที่ 4.3 พบร่วงตัวอย่างทรัพยากริมทะเลทั้งหมด (L1 - L10) มีการปนเปื้อนของไม่ครอพลาสติกทั้งที่มีขนาดมากกว่า 63 ไมโครเมตร และน้อยกว่า 63 ไมโครเมตร คิดเป็นไม่ครอพลาสติกเฉลี่ย 358 ± 102 ชิ้นต่อ กิโลกรัมน้ำหนักทรัพยากริมทะเล (n=10) เมื่อพิจารณาปริมาณไม่ครอพลาสติกที่พบแยกตามขนาด พบร่วงตัวอย่างของไม่ครอพลาสติกขนาดมากกว่า 63 ไมโครเมตร มีมากกว่าไม่ครอพลาสติกที่มีขนาดน้อยกว่า 63 ไมโครเมตร หรือคิดเป็นไม่ครอพลาสติกเฉลี่ย ได้เท่ากับ 225 ± 61 และ 133 ± 41 ชิ้นต่อ กิโลกรัมน้ำหนักทรัพยากริมทะเล ตามลำดับ (n=10) เมื่อพิจารณาการปนเปื้อนของไม่ครอพลาสติกในแต่ละจุดเก็บตัวอย่าง พบร่วงตัวอย่าง L1 มีการปนเปื้อนของไม่ครอพลาสติกสูงสุด คือ 770 ชิ้นต่อ กิโลกรัมน้ำหนักทรัพยากริมทะเล รองลงมา คือ จุดเก็บตัวอย่าง L2, L9, L10, L4, L7, L8, L5, L6, และ L3 ซึ่งพบไม่ครอพลาสติก 570, 456, 377, 290, 280, 267, 204, 194, และ 173 ชิ้นต่อ กิโลกรัมน้ำหนักทรัพยากริมทะเล ตามลำดับ ทั้งนี้บริเวณชายหาดแหลมสนอ่อน มีกิจกรรมการทำประมงพื้นบ้าน ท่าเรือชนส่งสินค้า การขุดทรัพยากริมทะเล เป็นสถานที่ท่องเที่ยวที่สามารถถลงเล่นน้ำได้ สถานบริการวิ่งรถนักท่องเที่ยว เช่น ร้านอาหาร และโรงเริง และยังพบว่าขยะพลาสติกกระจายอยู่โดยรอบ ซึ่งอาจเป็นแหล่งกำเนิดของไม่ครอพลาสติกได้ ทำให้พื้นที่ทำการศึกษาในแต่ละจุดเก็บตัวอย่างมีปริมาณของไม่ครอพลาสติกที่พบแตกต่างกัน โดยจุดเก็บตัวอย่าง L1 - L2 มีปริมาณของไม่ครอพลาสติกมากที่สุด เนื่องจากบริเวณนี้มีการทำประมงพื้นบ้าน การสัญจรของรถจักรยานยนต์ของชาวบ้านในพื้นที่ และมีขยะพลาสติกกระจายอยู่บนผิว ทำให้จุดเก็บตัวอย่าง L1 - L2 จึงมีปริมาณของไม่ครอพลาสติกสูงกว่าจุดเก็บตัวอย่างอื่น ส่วนจุดเก็บตัวอย่าง L9 - L10 เป็นจุดที่พบปริมาณไม่ครอพลาสติกของลงมา อาจเป็น เพราะบริเวณนี้เป็นสถานที่ท่องเที่ยวที่มีนักท่องเที่ยวลงเล่นน้ำ มีร้านอาหารตลอดแนวชายหาด รวมถึงมีขยะพลาสติกที่ถูกทิ้งอยู่บน

ฝังด้วย จุดเก็บตัวอย่าง L3 - L8 ที่เป็นบริเวณที่พบไมโครพลาสติกน้อยกว่าจุดเก็บตัวอย่างอื่น เนื่องจาก เป็นบริเวณที่ไม่มีกิจกรรมของชาวบ้านในพื้นที่มากนักแต่มีการขุดทราย เพื่อนำหรายไปแก้ปัญหาการกัด เชาะชายฝั่งของหาดคลาทศน์ อย่างไรก็ตามบริเวณนี้ยังพบขยะพลาสติกถูกทิ้งอยู่บนชายฝั่งตลอดแนว ชายฝั่ง

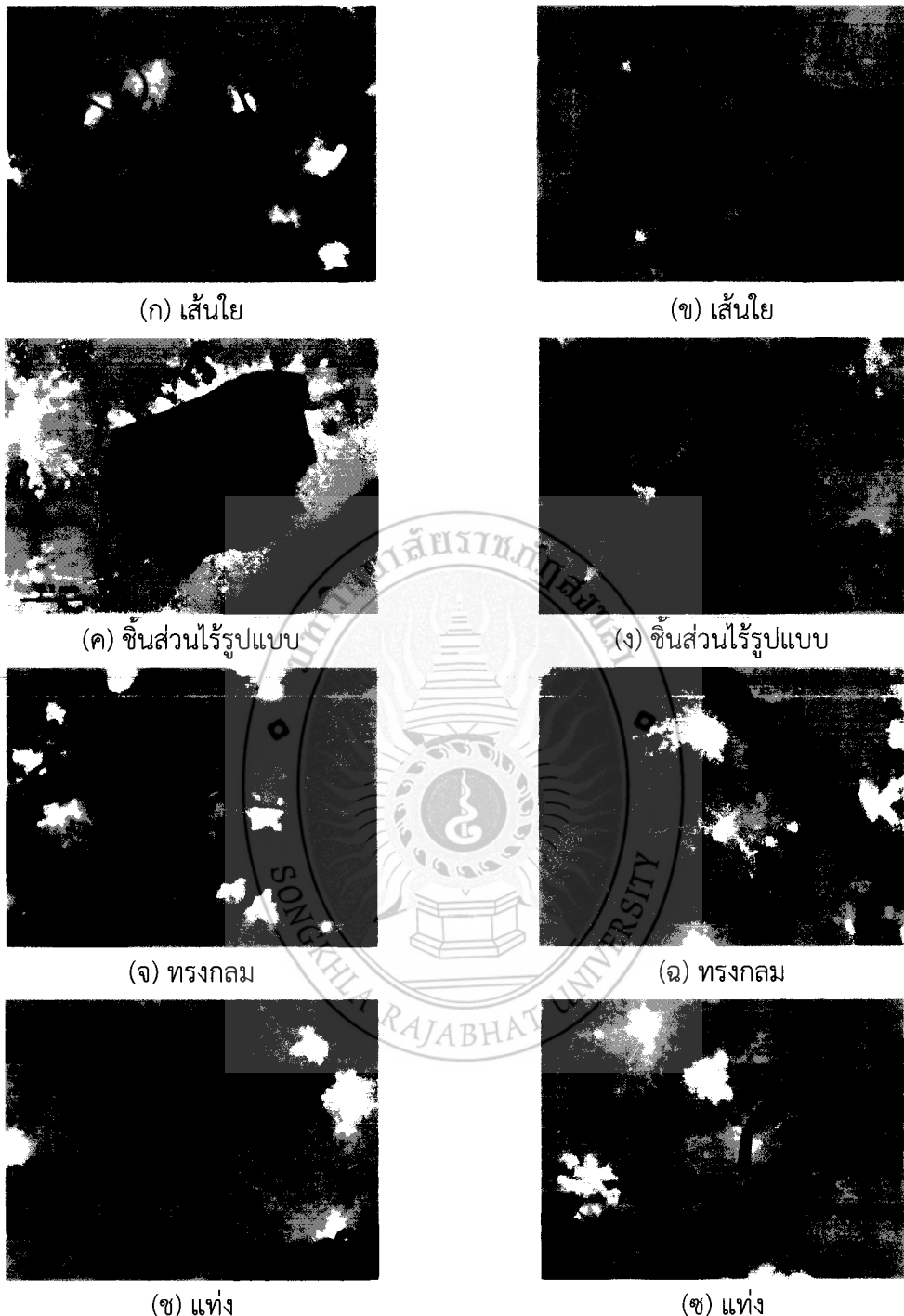
เมื่อนำผลการศึกษาที่ได้ไปเปรียบเทียบกับงานวิจัยอื่น พบว่าไมโครพลาสติกเฉลี่ยที่พบในทรัพยากริมชายหาดบริเวณชายหาดแหลมสน อ่อนในครั้งนี้มีปริมาณน้อยกว่าไมโครพลาสติกที่พบบริเวณพื้นที่หาดโคลนและหาดทรายในประเทศไทยอ่องกง (2,116 ชิ้นต่อ กิโลกรัมน้ำหนักตะกอนแห้ง) (Lo et al., 2018) และมีปริมาณใกล้เคียงกับไมโครพลาสติกที่พบในตะกอนที่ชายฝั่งประเทศเบลเยียม (390 ชิ้นต่อ กิโลกรัมน้ำหนักตะกอนแห้ง) (Claessens et al., 2011) แต่มีจำนวนมากกว่าไมโครพลาสติกที่พบในทรัพยากริมชายหาดที่คาบสมุทร Babaia ภาคใต้ฟอร์เนย (Baja California Peninsula) ประเทศเม็กซิโก ที่มีไมโครพลาสติกเฉลี่ย 135 ชิ้นต่อ กิโลกรัมน้ำหนักทรายแห้ง (Piñon-Colin et al., 2018)

4.3 การศึกษาลักษณะทางกายภาพของไมโครพลาสติกที่พบบริเวณชายหาดแหลมสน อ่อน

นอกจากการศึกษาปริมาณไมโครพลาสติกที่ปนเปื้อนที่ชายหาดแหลมสน อ่อนแล้ว งานวิจัยนี้ ยังได้ศึกษาลักษณะทางกายภาพของไมโครพลาสติกที่พบ ได้แก่ รูปร่าง สี และขนาด โดยใช้กล้องจุลทรรศน์ ยี่ห้อ Nikon รุ่น ECLIPSE Ci พร้อม Microscope camera ยี่ห้อ LANOPTIK MDX1003 กำลังขยายเลนส์ต่า 10X และเลนส์วัตถุ 4X 10X 40X และ 100X มีผลการศึกษาดังนี้

4.3.1 รูปร่างของไมโครพลาสติก

ไมโครพลาสติกที่พบในตัวอย่างทรายชายหาดบริเวณชายหาดแหลมสน อ่อน ตำบลบ่ออย่าง อำเภอเมือง จังหวัดสงขลา สามารถแบ่งออกเป็น 4 รูปร่าง ได้แก่ เส้นใย ชิ้นส่วนหรือรูปแบบทรงกลม และแท่ง (ภาพที่ 4.3 และภาพที่ 4.4) ซึ่งในการศึกษานี้ได้นับจำนวนไมโครพลาสติกแต่ละรูปร่างที่พบด้วยกล้องจุลทรรศน์ ยี่ห้อ Nikon รุ่น ECLIPSE Ci พร้อม Microscope camera ยี่ห้อ LANOPTIK MDX1003 รายละเอียดดังตารางที่ 4.4 และตารางที่ 4.5 และภาพที่ 4.6



ภาพที่ 4.3 ตัวอย่างรูปร่างของไมโครพลาสติกขนาดมากกว่า 63 ไมโครเมตรที่พบในตัวอย่าง
ทรัพยากรากด้วยเทคนิคการถ่ายรูปทางห้องทดลอง

หมายเหตุ: ภาพไมโครพลาสติกแสดงเพิ่มเติมในภาคผนวก ๑



ภาพที่ 4.4 ตัวอย่างรูปร่างของไมโครพลาสติกขนาดน้อยกว่า 63 ไมโครเมตรที่พบในตัวอย่าง
รายชาหาด
หมายเหตุ: ภาพไมโครพลาสติกแสดงเพิ่มเติมในภาคผนวก ง

ตารางที่ 4.4 ปริมาณของไมโครพลาสติกแต่ละรูปร่างในแต่ละตัวอย่างทรายชายหาด

ขนาดของ ไมโครพลาสติก	รูปร่าง	จำนวนไมโครพลาสติกที่พบ (ชิ้น/กโลกรัมน้ำหนักทรายแห้ง)										ไมโคร- พลาสติก ที่พบ รวม (ชิ้น)
		L1	L2	L3	L4	L5	L6	L7	L8	L9	L10	
ไมโครพลาสติก ขนาด > 63 μm	เส้นใย	173	197	57	90	117	73	147	100	180	180	1,313
	ชิ้นส่วนรีรูปแบบ	377	137	40	23	30	23	33	27	70	47	807
	ทรงกลม	3	3	7	-	-	-	10	30	17	33	103
	แท่ง	-	-	-	3	-	-	-	3	7	10	23
	รวม	553	337	103	117	147	97	190	160	273	270	2,247
ไมโครพลาสติก ขนาด < 63 μm	เส้นใย	143	183	53	153	43	77	33	60	110	60	917
	ชิ้นส่วนรีรูปแบบ	63	47	17	20	13	17	40	27	67	43	353
	ทรงกลม	3	-	-	-	-	3	13	17	-	3	40
	แท่ง	7	3	-	-	-	-	3	3	7	-	23
	รวม	217	233	70	173	57	97	90	107	183	107	1,333
ไมโคร- พลาสติกรวม	เส้นใย	317	380	110	243	160	150	180	160	290	240	2,230
	ชิ้นส่วนรีรูปแบบ	440	183	57	43	43	40	73	53	137	90	1,160
	ทรงกลม	7	3	7	-	-	3	23	47	17	37	143
	แท่ง	7	3	-	3	-	-	3	7	13	10	47
	รวม	770	570	173	290	203	193	280	267	457	377	3,580

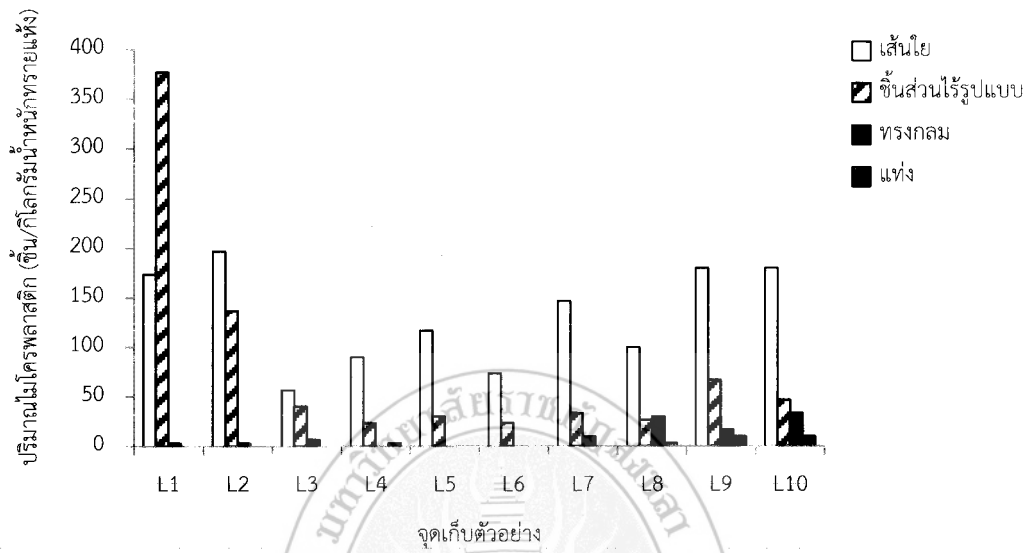
หมายเหตุ: L1 - L10 หมายถึงจุดเก็บตัวอย่างที่ 1 ถึง 10 ตั้งแต่บริเวณอนุสาวรีย์กรุงเทพฯ จนไปถึงบริเวณประติมากรรม

นางเงือก ตำบลบ่ออย่าง อำเภอเมือง จังหวัดสิงคโปร์

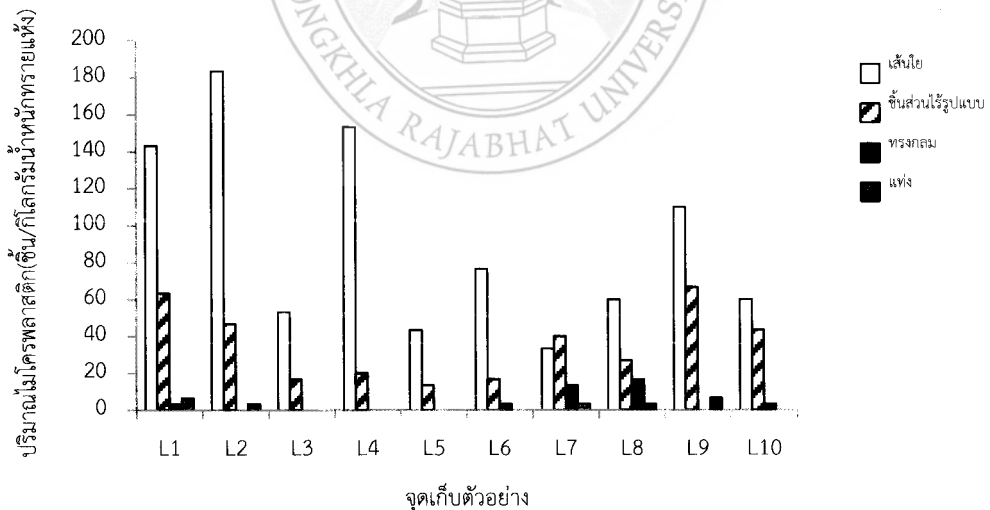
- หมายถึง ไม่พบไมโครพลาสติกในตัวอย่าง

จากการที่ 4.4 พบว่าไมโครพลาสติกทั้งขนาดมากกว่า 63 ไมโครเมตร ($> 63 \mu\text{m}$) และน้อยกว่า 63 ไมโครเมตร ($< 63 \mu\text{m}$) มีรูปร่างเส้นใยมากที่สุด คิดเป็นร้อยละ 58.4 และ 68.8 ตามลำดับ และพบไมโครพลาสติกรูปร่างแท่งน้อยที่สุด ร้อยละ 1.2 และ 1.7 ตามลำดับ จากการเปรียบเทียบรูปร่างของไมโครพลาสติกที่พบในแต่ละจุดเก็บตัวอย่างพบว่า แทบทุกจุดเก็บตัวอย่างจะพบไมโครพลาสติกรูปร่างเส้นใยมากที่สุดทั้งสองขนาด ยกเว้นจุดเก็บตัวอย่าง L1 ที่พบว่าไมโครพลาสติกที่มีขนาดมากกว่า 63 ไมโครเมตร ($> 63 \mu\text{m}$) มีรูปร่างแบบชิ้นส่วนรีรูปแบบมากที่สุด ถึงร้อยละ 68.1 (ภาพที่ 4.5ก) และจุดเก็บตัวอย่าง L7 ที่ไมโครพลาสติกที่มีขนาดน้อยกว่า 63 ไมโครเมตร ($< 63 \mu\text{m}$) มีรูปร่างชิ้นส่วนรีรูปแบบ (ร้อยละ 44.4) มากกว่าเส้นใย (ร้อยละ 36.7) เล็กน้อย (ภาพที่ 4.5ข) ที่เป็น

เช่นนี้อาจเนื่องจากจุดเก็บตัวอย่าง L1 มีพื้นที่ติดกับท่าเรือขนส่งสินค้า มีเพิงที่พักของชาวบ้าน และมีการสัญจรของรถจักรยานยนต์ของชาวบ้านในพื้นที่ รวมถึงมีขยะที่ถูกทิ้งอยู่บนฝั่งชายหาด

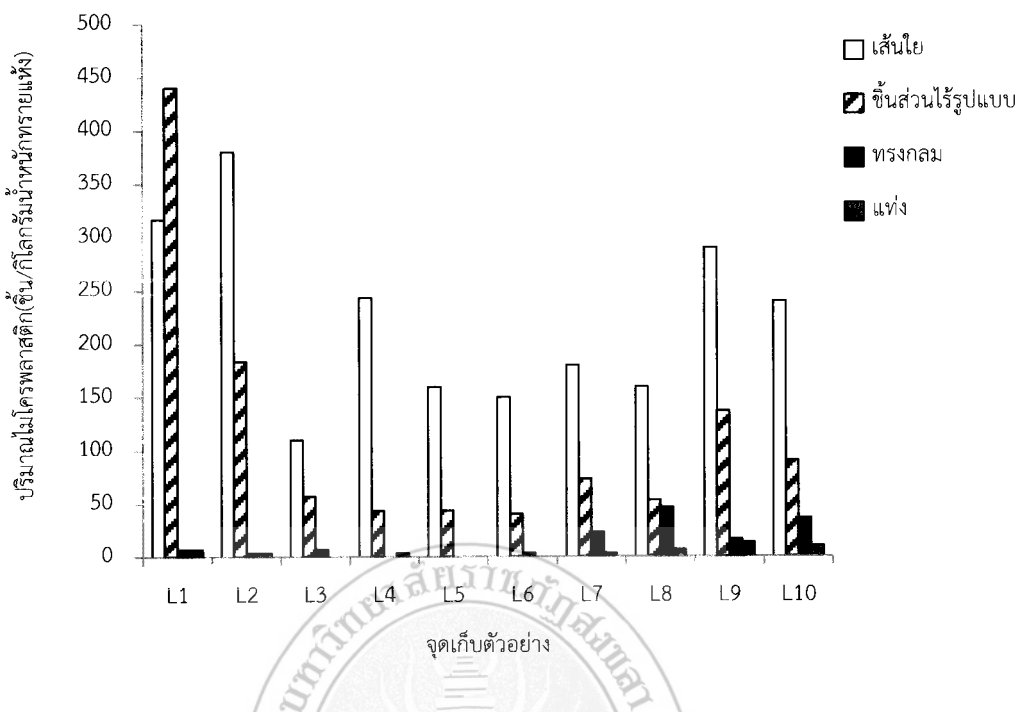


(ก) ปริมาณของไมโครพลาสติกขนาดมากกว่า 63 ไมโครเมตร



(ข) ปริมาณของไมโครพลาสติกขนาดน้อยกว่า 63 ไมโครเมตร

ภาพที่ 4.5 ไมโครพลาสติกแต่ละรูปร่างที่พบในแต่ละตัวอย่างทรายชายหาดบริเวณชายหาดแหลมสน อ่อน



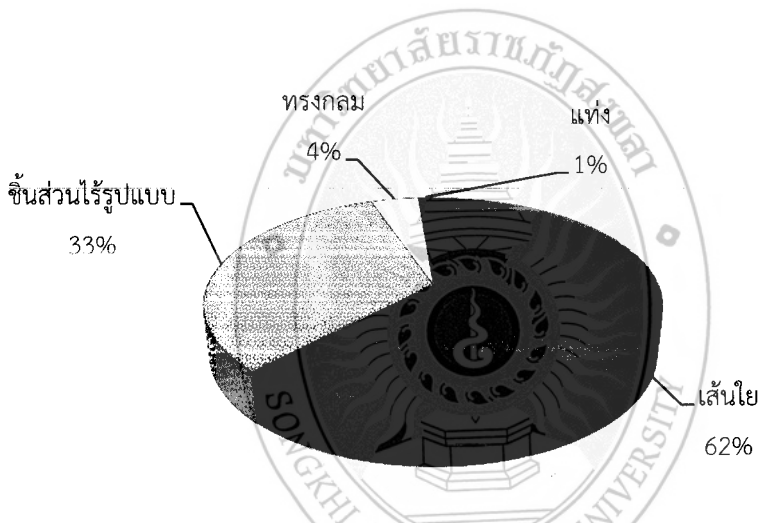
(ค) ไมโครพลาสติกรวม

(ต่อ)

จากการศึกษาพบว่า ไมโครพลาสติกที่พบในตัวอย่างรายชาหยหาดบริเวณชายหาดแหลมสนอ่อน ส่วนใหญ่มีรูปร่างแบบเส้นใย (ร้อยละ 62.3) รองลงมา คือ ขี้นส่วนไวรุปแบบ (ร้อยละ 32.4) ทรงกลม (ร้อยละ 4.0) และแท่ง (ร้อยละ 1.3) (ตารางที่ 4.5 และภาพที่ 4.6) อาจเนื่องจากบริเวณที่ทำการศึกษามีการทำประมงพื้นบ้านซึ่งไมโครพลาสติกรูปร่างเส้นใยอาจมาจากอุปกรณ์ทำประมง เช่น เขือก เอ็นตกปลา หรือ โวน (Piñon - Colin et al., 2018) รวมทั้งเป็นสถานที่ท่องเที่ยวที่สำคัญของจังหวัดสงขลาซึ่งมีโรงแรม ร้านค้า และนักท่องเที่ยวเข้ามาเที่ยวมากมาย ซึ่งไมโครพลาสติกรูปร่างเส้นใยอาจหลุดออกมาระหว่างการใช้สังเคราะห์จากการซักผ้าหรือเสื้อผ้าที่นักท่องเที่ยวสวมใส่ลงเล่นน้ำได้ สำหรับขี้นส่วนไวรุปแบบอาจเกิดจากการแตกหักหรืออยู่อาศัยของพลาสติกขนาดใหญ่ การเสียดสีของล้อรถกับพื้นถนนทำให้พลาสติกที่ล้อรถหลุดออกมานะ (กรณิศ ตันอังสนาภุล, 2560)

ตารางที่ 4.5 ปริมาณของไมโครพลาสติกแต่ละรูปร่างที่พบในตัวอย่างทรายชายหาดบริเวณชายหาดแหลมสนอ่อน

ขนาดของไมโครพลาสติก	จำนวนไมโครพลาสติกแต่ละรูปร่างที่พบ (ชิ้น/กิโลกรัมน้ำหนักทรายแห้ง)			
	เส้นใย	ชิ้นส่วนเร็รูปแบบ	ทรงกลม	แท่ง
ไมโครพลาสติกขนาด $> 63 \mu\text{m}$	1,313	807	103	23
ไมโครพลาสติกขนาด $< 63 \mu\text{m}$	917	353	40	23
ไมโครพลาสติกรวม	2,230	1,160	143	47
ร้อยละ	62.3	32.4	4.0	1.3



ภาพที่ 4.6 ร้อยละของไมโครพลาสติกแต่ละรูปร่างที่พบในตัวอย่างทรายชายหาด

เมื่อเปรียบเทียบผลการศึกษาที่ได้กับการศึกษาอื่นพบว่า รูปร่างของไมโครพลาสติกที่พบในตัวอย่างทรายชายหาดบริเวณแหลมสนอ่อนสอดคล้องกับการศึกษามicroplastic ในดินตะกอนในประเทศเบลเยียม (Claessens et al., 2011) และพื้นที่บริเวณคาบสมุทรบายาการีฟอร์เนีย (Baja California Peninsula) ประเทศเม็กซิโก (Piéton - Colin et al., 2018) ที่พบไมโครพลาสติก รูปร่างแบบเส้นใหญ่มากที่สุด (ร้อยละ 59 และ ร้อยละ 91 ตามลำดับ) เช่นเดียวกับผลการศึกษาของ Lo et al., 2018) ที่ศึกษาไมโครพลาสติกในหาดทรายและหาดโคลน ประเทศอ่องกง ซึ่งพบไมโครพลาสติกรูปร่างเส้นใหญ่มากที่สุด (ร้อยละ 57.2) และรองลงมา คือ ชิ้นส่วนเร็รูปแบบ (ร้อยละ 37.6)

4.3.2 สีของไม้โครงพลาสติก

ผลการศึกษาในงานวิจัยนี้พบสีของไม้โครงพลาสติกทั้งหมด 11 สี ได้แก่ สีขาวขุ่น สีขาวใส แดง สีดำ สีน้ำเงิน สีฟ้า สีเขียว สีน้ำตาล สีเหลือง สีส้ม และสีม่วง (ตารางที่ 4.6-ตารางที่ 4.8) โดยสีของไม้โครงพลาสติกที่พบมากที่สุด คือ สีขาวใส (ร้อยละ 31.51) รองลงมา คือ สีดำ (ร้อยละ 20.32) สีน้ำตาล (ร้อยละ 15.99) สีน้ำเงิน (ร้อยละ 13.36) สีขาวขุ่น (ร้อยละ 8.84) สีแดง (ร้อยละ 4.14) สีเขียว (ร้อยละ 2.35) สีฟ้า (ร้อยละ 2.26) สีม่วง (ร้อยละ 0.75) สีเหลือง (ร้อยละ 0.38) และสีส้ม (ร้อยละ 0.09) ตามลำดับ (ตารางที่ 4.8 และภาพที่ 4.7ค) โดยจุดเก็บตัวอย่าง L1 พบรสีดำมากที่สุด (ร้อยละ 34.63) และจุดเก็บตัวอย่าง L3 พ.bnสีน้ำตาลมากที่สุด (ร้อยละ 32.69) ส่วนจุดเก็บตัวอย่าง L2, L4, L5, L6, L7, L8, L9 และ L10 พ.bnสีขาวใสมากที่สุด โดยพบร้อยละ 38.01, 27.59, 31.15, 37.93, 27.38, 27.50, 41.54 และ 24.77 ตามลำดับ

ตารางที่ 4.6 สีของไม้โครงพลาสติกขนาดมากกว่า 63 ไมโครเมตรที่พ.bnแต่ละจุดเก็บตัวอย่าง

จุดเก็บตัวอย่าง	สีของไม้โครงพลาสติกขนาดมากกว่า 63 ไมโครเมตรที่พ.bnแต่ละจุดเก็บตัวอย่าง (ร้อยละ)										
	ขาวขุ่น	ขาวใส	แดง	ดำ	น้ำเงิน	ฟ้า	เขียว	น้ำตาล	เหลือง	ส้ม	ม่วง
L1	3.61	20.48	2.41	42.77	3.61	1.81	2.41	22.89	0.00	0.00	0.00
L2	8.91	33.66	4.95	12.87	17.82	1.98	7.92	8.91	0.00	0.00	2.97
L3	9.68	35.48	6.45	19.35	3.23	0.00	0.00	25.81	0.00	0.00	0.00
L4	5.71	28.57	2.86	22.86	28.57	0.00	0.00	11.43	0.00	0.00	0.00
L5	0.00	22.73	0.00	31.82	20.45	4.55	2.27	18.18	0.00	0.00	0.00
L6	10.34	31.03	0.00	10.34	13.79	3.45	10.34	17.24	3.45	0.00	0.00
L7	8.77	26.32	5.26	21.05	21.05	1.75	1.75	12.28	0.00	1.75	0.00
L8	22.92	20.83	4.17	18.75	18.75	0.00	2.08	10.42	2.08	0.00	0.00
L9	10.98	46.34	3.66	13.41	8.54	2.44	0.00	14.63	0.00	0.00	0.00
L10	22.22	24.69	4.94	12.35	12.35	2.47	1.23	12.35	2.47	0.00	4.94
รวม	9.79	28.34	3.56	23.29	12.76	1.93	2.82	15.73	0.59	0.15	1.04

หมายเหตุ: L1 - L10 หมายถึงจุดเก็บตัวอย่างที่ 1 ถึง 10 ตั้งแต่บริเวณอนุสาวรีย์กรุงเทพมหานครเขตอุตตมศักดิ์ถึงบริเวณประตูม้ากรรน

นางเงือก คำบลปถอยาง อำเภอเมือง จังหวัดสงขลา

ตารางที่ 4.7 สีของไม้โครงพลาสติกขนาดน้อยกว่า 63 ไมโครเมตรที่พบในแต่ละจุดเก็บตัวอย่าง

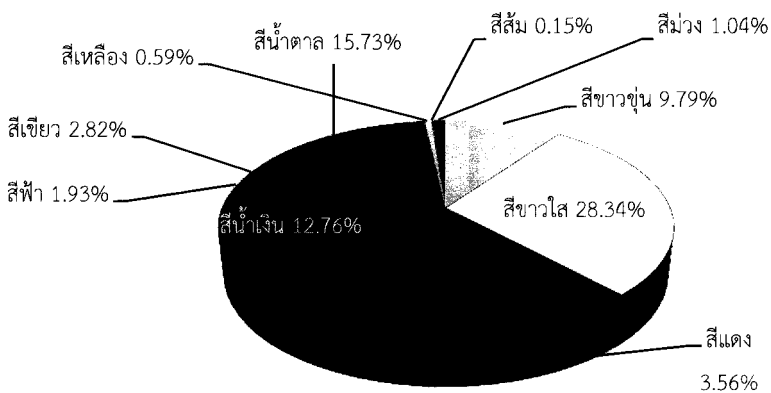
จุดเก็บตัวอย่าง	สีของไม้โครงพลาสติกขนาดน้อยกว่า 63 ไมโครเมตรที่พบในแต่ละจุดเก็บตัวอย่าง (ร้อยละ)										
	ขาวขุ่น	ขาวใส	แดง	ดำ	น้ำเงิน	ฟ้า	เขียว	น้ำตาล	เหลือง	ส้ม	ม่วง
L1	12.31	46.15	0.00	13.85	10.77	0.00	1.54	13.85	0.00	0.00	1.54
L2	2.86	44.29	2.86	8.57	18.57	2.86	2.86	17.14	0.00	0.00	0.00
L3	4.76	19.05	4.76	9.52	14.29	4.76	0.00	42.86	0.00	0.00	0.00
L4	5.77	26.92	11.54	26.92	13.46	11.54	0.00	3.85	0.00	0.00	0.00
L5	0.00	52.94	0.00	17.65	5.88	0.00	5.88	17.65	0.00	0.00	0.00
L6	3.45	44.83	10.34	13.79	17.24	0.00	0.00	10.34	0.00	0.00	0.00
L7	14.81	29.63	7.41	22.22	3.70	7.41	0.00	14.81	0.00	0.00	0.00
L8	9.38	37.50	9.38	9.38	9.38	0.00	3.13	21.88	0.00	0.00	0.00
L9	8.89	35.56	4.44	13.33	22.22	0.00	0.00	15.56	0.00	0.00	0.00
L10	6.25	21.88	3.13	18.75	18.75	0.00	3.13	28.13	0.00	0.00	0.00
รวม	7.18	36.92	5.13	15.13	14.36	2.82	1.54	16.67	0.00	0.00	0.26

หมายเหตุ: L1 - L10 หมายถึงจุดเก็บตัวอย่างที่ 1 ถึง 10 ตั้งแต่บริเวณอนุสาวรีย์กรุงหลวงชุมพรเขตอุดมศักดิ์ถึงบริเวณประตูม้ากรรມ
นางเงือก ตำบลป่าอย่าง อำเภอเมือง จังหวัดสงขลา

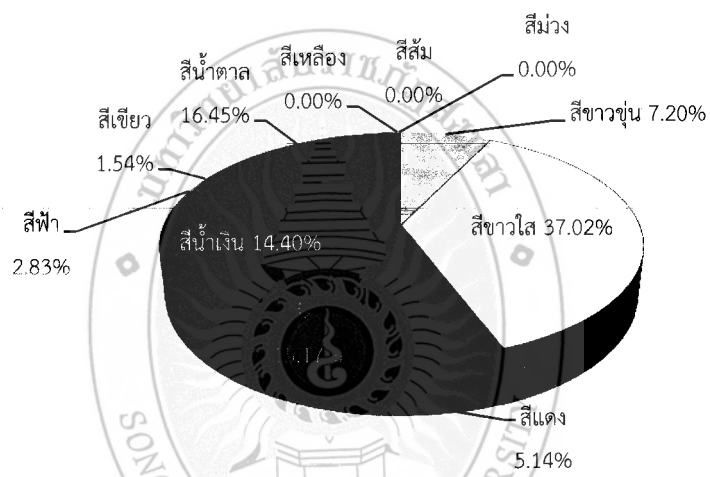
ตารางที่ 4.8 สีของไม้โครงพลาสติกรวมที่พบในแต่ละจุดเก็บตัวอย่าง

จุดเก็บตัวอย่าง	สีของไม้โครงพลาสติกรวมที่พบในแต่ละจุดเก็บตัวอย่าง (ร้อยละ)										
	ขาวขุ่น	ขาวใส	แดง	ดำ	น้ำเงิน	ฟ้า	เขียว	น้ำตาล	เหลือง	ส้ม	ม่วง
L1	6.06	27.71	1.73	34.63	5.63	1.30	2.16	20.35	0.00	0.00	0.43
L2	6.43	38.01	4.09	11.11	18.13	2.34	5.85	12.28	0.00	0.00	1.75
L3	7.69	28.85	5.77	15.38	7.69	1.92	0.00	32.69	0.00	0.00	0.00
L4	5.75	27.59	8.05	25.29	19.54	6.90	0.00	6.90	0.00	0.00	0.00
L5	0.00	31.15	0.00	27.87	16.39	3.28	3.28	18.03	0.00	0.00	0.00
L6	6.90	37.93	5.17	12.07	15.52	1.72	5.17	13.79	1.72	0.00	0.00
L7	10.71	27.38	5.95	21.43	15.48	3.57	1.19	13.10	0.00	1.19	0.00
L8	17.50	27.50	6.25	15.00	15.00	0.00	2.50	15.00	1.25	0.00	0.00
L9	10.32	42.86	3.97	13.49	13.49	1.59	0.00	14.29	0.00	0.00	0.00
L10	17.70	23.89	4.42	14.16	14.16	1.77	1.77	16.81	1.77	0.00	3.54
รวม	8.84	31.51	4.14	20.32	13.36	2.26	2.35	15.99	0.38	0.09	0.75

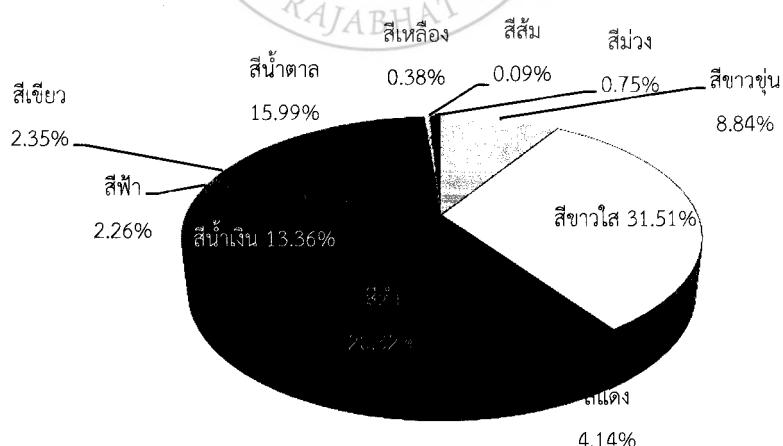
หมายเหตุ: L1 - L10 หมายถึงจุดเก็บตัวอย่างที่ 1 ถึง 10 ตั้งแต่บริเวณอนุสาวรีย์กรุงหลวงชุมพรเขตอุดมศักดิ์ถึงบริเวณประตูม้ากรรມ
นางเงือก ตำบลป่าอย่าง อำเภอเมือง จังหวัดสงขลา



(ก) ไม้โครงพลาสติกขนาดมากกว่า 63 ไม้เมตร



(ข) ไม้โครงพลาสติกขนาดน้อยกว่า 63 ไม้เมตร



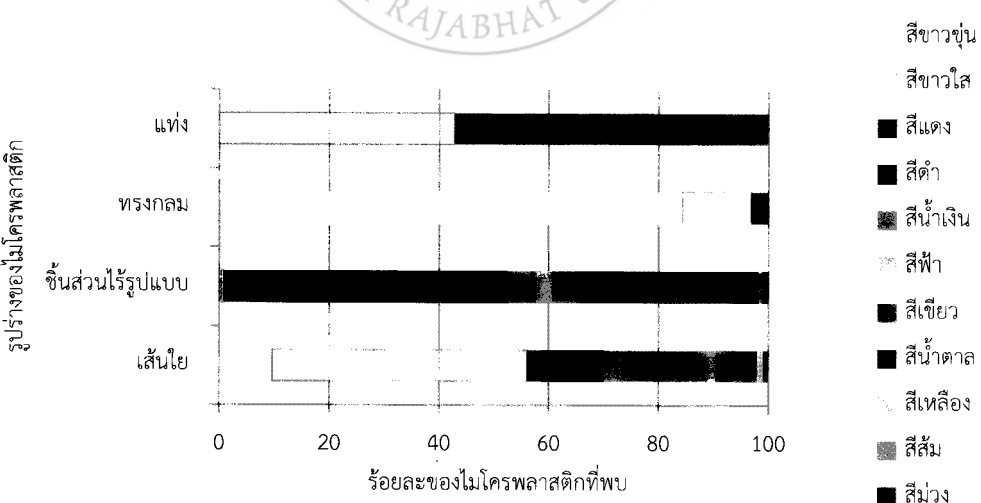
(ค) ไม้โครงพลาสติกรวม

ภาพที่ 4.7 สีของไม้โครงพลาสติกที่พบในทรัพย์ชาญหาดบริเวณชายหาดแหลมสนอ่อน

จากการศึกษาปัจจัยและสีของไมโครพลาสติก พบว่า เส้นใยมีสีขาวใสมากที่สุด (ร้อยละ 47.98) รองลงมา คือ สีน้ำเงิน (ร้อยละ 18.09) ซึ่งส่วนใหญ่เป็นแบบพื้นสีเดียวมากที่สุด (ร้อยละ 40.18) รองลงมาคือ สีน้ำตาล (ร้อยละ 35.42) ทรงกลมพื้นสีขาวขุ่นมากที่สุด (ร้อยละ 79.55) รองลงมา คือ สีขาวใส (ร้อยละ 13.64) และแท่งพื้นสีขาวใส (ร้อยละ 35.71) และสีน้ำตาล (ร้อยละ 35.71) มากที่สุด (ตารางที่ 4.9 และภาพที่ 4.8)

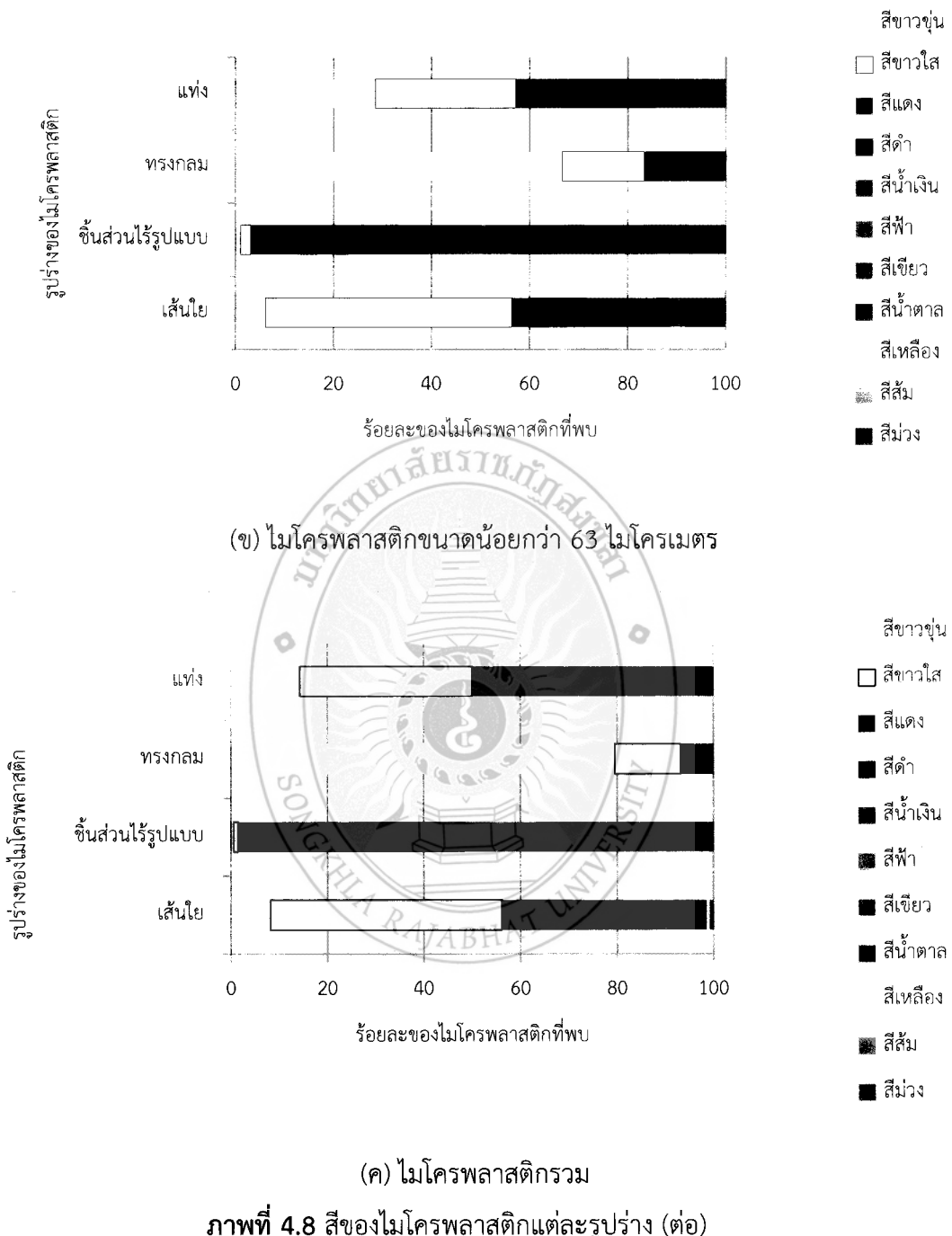
ตารางที่ 4.9 สีของไมโครพลาสติกในแต่ละรูปร่างที่พบในตัวอย่างทรายชายหาด

สี	ไมโครพลาสติกขนาด > 63 μm (ร้อยละ)				ไมโครพลาสติกขนาด < 63 μm (ร้อยละ)				ไมโครพลาสติกรวม (ร้อยละ)			
	เส้นใย	ชิ้นส่วน ไร้ รูปแบบ	ทรงกลม	แท่ง	เส้นใย	ชิ้นส่วน ไร้ รูปแบบ	ทรงกลม	แท่ง	เส้นใย	ชิ้นส่วน ไร้ รูปแบบ	ทรง กลม	แท่ง
ขาวขุ่น	9.64	0.41	84.38	0.00	6.18	1.05	66.67	28.57	8.22	0.60	79.55	14.29
ขาวใส	46.45	0.41	12.50	42.86	50.18	2.11	16.67	28.57	47.98	0.89	13.64	35.71
แดง	2.54	5.81	0.00	0.00	3.64	9.47	0.00	14.29	2.99	6.85	0.00	7.14
ดำ	11.42	46.06	3.13	0.00	11.64	25.26	16.67	14.29	11.51	40.18	6.82	7.14
น้ำเงิน	18.78	4.98	0.00	0.00	17.09	9.47	0.00	0.00	18.09	6.25	0.00	0.00
ฟ้า	1.52	2.90	0.00	0.00	1.82	6.32	0.00	0.00	1.64	3.87	0.00	0.00
เขียว	1.52	5.39	0.00	0.00	1.09	3.16	0.00	0.00	1.35	4.76	0.00	0.00
น้ำตาล	6.09	32.37	0.00	57.14	8.00	43.16	0.00	14.29	6.88	35.42	0.00	35.71
เหลือง	1.02	0.00	0.00	0.00	0.00	0.00	0.00	0.00	0.60	0.00	0.00	0.00
ส้ม	0.00	0.41	0.00	0.00	0.00	0.00	0.00	0.00	0.00	0.30	0.00	0.00
ม่วง	1.02	1.24	0.00	0.00	0.36	0.00	0.00	0.00	0.75	0.89	0.00	0.00



(ก) ไมโครพลาสติกขนาดมากกว่า 63 ไมโครเมตร

ภาพที่ 4.8 สีของไมโครพลาสติกแต่ละรุ่น



จากการที่ไมโครพลาสติกมีสีสันที่หลากหลายจึงอาจส่งผลต่อการกินของสิ่งมีชีวิตเนื่องจากไมโครพลาสติกอาจมีสีที่คล้ายคลึงกับเหยื่อของสัตว์ชนิดนั้น เมื่อไมโครพลาสติกอยู่ในน้ำจึงดูคล้ายกับอาหารต่าง ๆ ที่สัตว์กินเป็นอาหาร เช่น แพลงก์ตอนสัตว์หรือสัตว์ที่กินตะกอนแล้วกรองอาหารอย่างปลิงทะเลกินไมโครพลาสติกที่ปนเปื้อนอยู่กับทะเล สาหร่ายมาเกะและเจริญเติบโตบน

พลาสติกที่ löoy ออยู่ในน้ำทำให้พลาสติกมีหน้าตาและกลิ่นที่เหมือนอาหารมากขึ้น สารร้ายจะปล่อยสารไดเมทธิลซัลฟิด (dimethyl sulphide; DMS) ซึ่งเป็นกลิ่นซัลฟิดเฉพาะที่เป็นสัญญาณว่าสิ่งนั้นคืออาหาร ของนกทะเลหลายชนิด ทำให้นกทะเลจำนวนมากกินเศษพลาสติกเข้าไปและยังເອາເສັ້ນພลาສติกเหล่านั้นมาป้อนลูก เต่าทะเลวัยรุ่นมักกินถุงพลาสติกสีขาว แต่เต่าตัวเต็มวัยมักจะชอบกินถุงใส่ชีส์เต่าทะเลแม้กินถุงพลาสติก เพราะเข้าใจว่าเป็นแมงกะพรุน ดังนั้นการปนเปื้อนของขยะพลาสติกในทะเลจึงส่งผลต่อสิ่งมีชีวิตในทะเล เพราะสิ่งมีชีวิตเหล่านี้ไม่สามารถแยกแยะพลาสติกที่มีหลักหلامรูปแบบ และหลายขนาดออกจากอาหารในธรรมชาติได้ (Gabbatiss, 2014)

เมื่อนำผลการศึกษาที่ได้ไปเปรียบเทียบกับงานวิจัยอื่น ๆ พบว่าสีของไมโครพลาสติกที่พับในการศึกษานี้สอดคล้องกับการศึกษาไมโครพลาสติกในทรัพยากริมชายหาดบริเวณหาดเจ้าหลานและหาดคุ้งวิมาน จังหวัดจันทบุรี ที่พับไมโครพลาสติกที่มีสีขาวมากที่สุดทั้งสองชายหาด ทั้งในฤดูแล้งและฤดูฝน (สถาบันวิจัยและพัฒนาทรัพยากรทางทะเลและป่าชายเลนและคณะเทคโนโลยีทางทะเลมหาวิทยาลัยบูรพา, 2557) และจากการศึกษาไมโครพลาสติกในทรัพยากริมชายหาดจากภาคสมุทรภาคใต้กาลีฟอร์เนีย (Baja California Peninsula) ประเทศเม็กซิโกที่พับไมโครพลาสติก สีดำ และสีน้ำเงินมากที่สุด (ร้อยละ 59 และร้อยละ 25 ตามลำดับ) จากการที่พับไมโครพลาสติกสีขาวismากกว่าสีอื่น ๆ นั้น อาจเป็นเพราะสีตั้งต้นของพลาสติกคือ ไม่มีสี ดังนั้นเมื่อพลาสติกอยู่ในธรรมชาติเป็นเวลานานสีที่ได้รับการเติมแต่งอาจจะจางลงทำให้พบรสสุสีขาวismากกว่าสีอื่น ไมโครพลาสติกสีดำอาจหลุดมาจากการระยายน้ำที่เกิดจากการเสียดสีของล้อรถกับพื้นถนนทำให้พลาสติกจากล้อรถหลุดออกมากซึ่งจะมีรูปร่างแบบชิ้นส่วนไร้รูปแบบ (Boucher and Friot, 2017) ส่วนไมโครพลาสติกทรงกลมส่วนมากจะมีสีขาวซึ่งอาจมาจากเม็ดปีตสีในเครื่องสำอาง เช่น โฟมล้างหน้า ยาสีฟัน แซมพูสบู่ (สิลิวารรณ เครื่องเทศน์, 2559)

4.3.3 ขนาดของไมโครพลาสติก

ในการศึกษานี้ได้วัดขนาดของไมโครพลาสติกทั้ง 4 รูปร่าง คือ เส้นใย ชิ้นส่วนไร้รูปแบบทรงกลม และแท่ง โดยใช้โปรแกรม I works ได้ผลตั้งแสดงในตารางที่ 4.10 ถึง ตารางที่ 4.12 จากนั้นจึงวิเคราะห์ผลที่ได้โดยนำมาหาค่าเฉลี่ยและส่วนเบี่ยงเบนมาตรฐาน และหาค่าสูงสุดและต่ำสุด การวัดขนาดของไมโครพลาสติกนั้นจะวัดขนาดตามรูปร่างของไมโครพลาสติกที่พับ โดยเส้นใยและแท่งจะวัดตามความยาวของรูปร่าง ชิ้นส่วนไร้รูปแบบจะวัดตามสัดส่วนที่กว้างที่สุด ส่วนทรงกลมจะวัดตามเส้นผ่านศูนย์กลางของทรงกลม และจะแสดงขนาดที่วัดได้ในหน่วยมิลลิเมตร

ตารางที่ 4.10 ขนาดของไมโครพลาสติกแต่ละรูปร่าง (ไมโครพลาสติกขนาดมากกว่า 63 ไมโครเมตร) ที่พบบริเวณชายหาดแหลมสนอ่อน

จุดเก็บตัวอย่าง	ขนาดของไมโครพลาสติก (มิลลิเมตร) ที่มีขนาดมากกว่า 0.063 มิลลิเมตร									
	เส้นใย		ชิ้นส่วนรีรูปแบบ		ทรงกลม		แท่ง		รวม	
	ค่าเฉลี่ย ± SD	ค่าต่ำสุด - สูงสุด	ค่าเฉลี่ย ± SD	ค่าต่ำสุด - สูงสุด	ค่าเฉลี่ย ± SD	ค่าต่ำสุด - สูงสุด	ค่าเฉลี่ย ± SD	ค่าต่ำสุด - สูงสุด	ค่าต่ำสุด - สูงสุด	ค่าต่ำสุด - สูงสุด
L1	0.88 ± 1.16	0.08 - 8.04	0.21 ± 0.22	0.03 - 1.64	0.03 ± 0.00	0.03	-	-	-	0.02 - 8.04
L2	0.66 ± 1.14	0.03 - 6.61	0.67 ± 1.16	0.05 - 6.61	0.01 ± 0.00	0.01	-	-	-	0.01 - 6.61
L3	1.20 ± 1.33	0.27 - 4.47	0.18 ± 0.20	0.04 - 0.76	0.04 ± 0.00	0.02 - 0.06	-	-	-	0.02 - 4.47
L4	1.07 ± 1.34	0.07 - 6.43	0.17 ± 0.05	0.11 - 0.28	-	-	0.06	0.06	0.06	0.06 - 6.43
L5	0.76 ± 0.68	0.15 - 2.51	0.13 ± 0.067	0.04 - 0.26	-	-	-	-	-	0.04 - 2.51
L6	1.36 ± 1.33	0.09 - 5.88	0.14 ± 0.07	0.03 - 0.23	-	-	-	-	-	0.03 - 5.88
L7	0.95 ± 0.64	0.10 - 2.59	0.13 ± 0.08	0.04 - 0.32	0.08 ± 0.03	0.05 - 0.12	-	-	-	0.04 - 2.59
L8	1.03 ± 1.33	0.12 - 6.54	0.96 ± 0.84	0.11 - 3.17	0.08 ± 0.03	0.04 - 0.12	-	-	-	0.04 - 6.54
L9	1.11 ± 0.94	0.14 - 4.65	0.19 ± 0.11	0.02 - 0.43	0.08 ± 0.01	0.07 - 0.09	0.12 ± 0.07	0.08 - 0.20	0.02 - 4.65	
L10	0.85 ± 0.79	0.10 - 3.51	0.24 ± 0.23	0.07 - 0.91	0.08 ± 0.02	0.06 - 0.10	0.22 ± 0.11	0.09 - 0.31	0.06 - 0.10	
รวม	0.94 ± 1.05	0.03 - 8.04	0.35 ± 0.65	0.02 - 6.61	0.07 ± 0.03	0.01 - 0.12	0.16 ± 0.10	0.06 - 0.31	0.01 - 8.04	

หมายเหตุ: L1 - L10 หมายถึง จุดเก็บตัวอย่างที่ 1 - 10 ตั้งแต่บริเวณอนุสาวรีย์กรมหลวงชุมพรเขตอุดมศักดิ์ถึงบริเวณประตูมารมนางเขือกา

SD หมายถึง ค่าเบี่ยงเบนมาตรฐาน

- หมายถึง ไม่พบไมโครพลาสติกในตัวอย่าง

ตารางที่ 4.11 ขนาดของไมโครพลาสติกในแต่ละรูป่าง (ไมโครพลาสติกขนาดน้อยกว่า 63 ไมโครเมตร) ที่พบบริเวณชายหาดแหลมสน อ่อน

จุดเก็บตัวอย่าง	ขนาดของไมโครพลาสติก (มิลลิเมตร) ที่มีขนาดน้อยกว่า 0.063 มิลลิเมตร									
	เส้นใย		ขี้นส่วนแร่รูปแบบ		ทรงกลม		แท่ง		รวม	
	ค่าเฉลี่ย ± SD	ค่าต่ำสุด - สูงสุด	ค่าเฉลี่ย ± SD	ค่าต่ำสุด - สูงสุด	ค่าเฉลี่ย ± SD	ค่าต่ำสุด - สูงสุด	ค่าเฉลี่ย ± SD	ค่าต่ำสุด - สูงสุด	ค่าต่ำสุด - สูงสุด	
L1	0.79 ± 0.41	0.21 - 1.74	0.14 ± 0.09	0.04 - 0.328	0.05 ± 0.00	0.05	0.10 ± 0.08	0.04 - 0.15	0.04 - 1.74	
L2	0.57 ± 0.49	0.17 - 2.97	0.09 ± 0.05	0.031 - 0.20	-	-	0.12 ± 0.00	0.112	0.03 - 2.97	
L3	0.90 ± 1.47	0.17 - 5.89	0.09 ± 0.06	0.03 - 0.18	-	-	-	-	0.03 - 5.89	
L4	0.90 ± 0.62	0.06 - 3.00	0.12 ± 0.06	0.04 - 0.21	-	-	-	-	0.04 - 3.00	
L5	0.66 ± 0.42	0.14 - 1.47	0.14 ± 0.07	0.06 - 0.21	-	-	-	-	0.06 - 1.47	
L6	0.58 ± 0.39	0.18 - 1.69	0.15 ± 0.05	0.06 - 0.20	0.11 ± 0.00	0.11	-	-	0.06 - 1.69	
L7	0.76 ± 0.51	0.33 - 1.97	0.15 ± 0.16	0.06 - 0.66	0.07 ± 0.02	0.07 - 0.11	0.13 ± 0.00	0.13	0.06 - 1.97	
L8	0.96 ± 0.84	0.12 - 3.18	0.12 ± 0.05	0.06 - 0.23	0.08 ± 0.02	0.06 - 0.10	0.06 ± 0.00	0.06	0.06 - 3.18	
L9	0.87 ± 0.77	0.12 - 3.38	0.19 ± 0.15	0.06 - 0.54	-	-	0.10 ± 0.02	0.089 - 0.12	0.06 - 3.38	
L10	1.02 ± 0.87	0.17 - 3.02	0.13 ± 0.05	0.07 - 0.23	0.03 ± 0.00	0.03	-	-	0.03 - 3.02	
รวม	0.79 ± 0.69	0.06 - 5.89	0.13 ± 0.08	0.03 - 0.66	0.08 ± 0.02	0.03 - 0.11	0.10 ± 0.04	0.04 - 0.15	0.03 - 5.89	

หมายเหตุ: L1 - L10 หมายถึง จุดเก็บตัวอย่างที่ 1 - 10 ตั้งแต่บริเวณอนุสาวรีย์กรมหลวงชุมพรเขตอุดมศักดิ์ถึงบริเวณประติมากรรมนางเงือก

SD หมายถึง ค่าเบี่ยงเบนมาตรฐาน

- หมายถึง ไม่พบไมโครพลาสติกในตัวอย่าง

ตารางที่ 4.12 ขนาดของไมโครพลาสติกรวมในแต่ละรูปร่างที่พับบริเวณชายหาดแหลมสนอ่อน

จุดเก็บตัวอย่าง	ขนาดของไมโครพลาสติกรวม (มิลลิเมตร)									
	เส้นไขว้		ขึ้นส่วนไวรุปแบบ		ทรงกลม		แท่ง		รวม	
	ค่าเฉลี่ย \pm SD	ค่าต่ำสุด - สูงสุด	ค่าเฉลี่ย \pm SD	ค่าต่ำสุด - สูงสุด	ค่าเฉลี่ย \pm SD	ค่าต่ำสุด - สูงสุด	ค่าเฉลี่ย \pm SD	ค่าต่ำสุด - สูงสุด	ค่าต่ำสุด - สูงสุด	ค่าต่ำสุด - สูงสุด
L1	0.84 \pm 0.90	0.08 - 8.04	0.20 \pm 0.21	0.03 - 1.64	0.04 \pm 0.02	0.03 - 0.05	0.10 \pm 0.08	0.04 - 0.15	0.03 - 8.04	
L2	0.61 \pm 0.93	0.03 - 6.61	0.56 \pm 1.06	0.03 - 6.61	0.01 \pm 0.00	0.01 - 0.01	0.12 \pm 0.00	0.12 - 0.12	0.01 - 6.61	
L3	1.15 \pm 1.38	0.17 - 5.89	0.15 \pm 0.17	0.03 - 0.76	0.04 \pm 0.03	0.02 - 0.06	-	-	0.02 - 5.190	
L4	0.96 \pm 0.94	0.06 - 6.43	0.15 \pm 0.06	0.04 - 0.28	-	-	0.06 \pm 0.00	0.06 - 0.06	0.04 - 6.43	
L5	0.74 \pm 0.62	0.14 - 2.51	0.13 \pm 0.07	0.04 - 0.26	-	-	-	-	0.04 - 2.51	
L6	0.97 \pm 1.04	0.09 - 5.88	0.14 \pm 0.06	0.03 - 0.23	0.12 \pm 0.00	0.11 - 0.11	-	-	0.03 - 5.88	
L7	0.91 \pm 0.62	0.10 - 2.59	0.14 \pm 0.13	0.04 - 0.66	0.09 \pm 0.04	0.06 - 0.12	0.13 \pm 0.00	0.13	0.04 - 2.58	
L8	1.00 \pm 1.16	0.12 - 6.54	0.70 \pm 0.80	0.06 - 3.16	0.10 \pm 0.02	0.04 - 0.12	0.06 \pm 0.00	0.06	0.04 - 6.514	
L9	1.02 \pm 0.88	0.12 - 4.65	0.19 \pm 0.12	0.02 - 0.54	0.08 \pm 0.00	0.07 - 0.09	0.086 \pm 0.00	0.08 - 0.20	0.02 - 4.65	
L10	0.90 \pm 0.81	0.10 - 3.51	0.19 \pm 0.18	0.07 - 0.91	0.09 \pm 0.02	0.09 - 0.10	0.279 \pm 0.05	0.09 - 0.31	0.03 - 3.51	
รวม	0.88 \pm 0.92	0.03 - 8.04	0.29 \pm 0.56	6.61 - 0.02	0.07 \pm 0.03	0.12 - 0.01	0.13 \pm 0.08	0.31 - 0.04	0.01 - 8.04	

หมายเหตุ: L1 - L10 หมายถึง จุดเก็บตัวอย่างที่ 1 - 10 ตั้งแต่บริเวณอนุสาวรีย์กรมหลวงชุมพรเขตอุดมศักดิ์ถึงบริเวณประติมากรรมนางเงือก

SD หมายถึง ค่าเบี่ยงเบนมาตรฐาน

- หมายถึง ไม่พบไมโครพลาสติกในตัวอย่าง

จากตารางที่ 4.10 ถึง ตารางที่ 4.12 พบร่วมขนาดของไมโครพลาสติกอยู่ในช่วง 0.01 - 8.04 มิลลิเมตร มีค่าเฉลี่ย 0.64 ± 0.85 มิลลิเมตร เมื่อพิจารณาขนาดของไมโครพลาสติกแต่ละรูปร่าง พบร่วมไมโครพลาสติกที่มีรูปร่างเส้นไข่จะมีขนาดมากที่สุดโดยไมโครพลาสติกรูปร่างเส้นไข่ที่มีขนาดยาวที่สุด คือ 8.04 มิลลิเมตร (ค่าเฉลี่ย 0.88 ± 0.92) มิลลิเมตร รองลงมา คือ ชิ้นส่วนเรี้รูปแบบ ซึ่งมีขนาด 6.61 มิลลิเมตร (ค่าเฉลี่ย 0.29 ± 0.56) มิลลิเมตร และแท่งซึ่งมีขนาด 0.31 มิลลิเมตร (ค่าเฉลี่ย 0.04 ± 0.08) มิลลิเมตร ในขณะที่ไมโครพลาสติกที่มีรูปร่างทรงกลมจะมีขนาดเล็กที่สุด โดยไมโครพลาสติกทรงกลมที่มีขนาดใหญ่ที่สุดมีขนาดเท่ากับ 0.12 มิลลิเมตร (ค่าเฉลี่ย 0.07 ± 0.03) มิลลิเมตร จากผลการศึกษาที่ได้พบว่า ไมโครพลาสติกแต่ละรูปร่างที่พบในแต่ละจุดเก็บตัวอย่าง (L1 - L10) มีขนาดที่ใกล้เคียงกัน ซึ่งตัวอย่างไมโครพลาสติกที่มีขนาดมากกว่า 63 ไมโครเมตร มีขนาดของไมโครพลาสติกรูปแบบเส้นไข่อยู่ระหว่าง 0.03 - 8.04 มิลลิเมตร ชิ้นส่วนเรี้รูปแบบมีขนาดอยู่ระหว่าง 0.02 - 6.61 มิลลิเมตร ทรงกลมมีขนาดระหว่าง 0.01 - 0.12 มิลลิเมตร และแท่งมีขนาดอยู่ระหว่าง 0.06 - 0.31 มิลลิเมตร ส่วนตัวอย่างที่น้อยกว่า 63 ไมโครเมตร ขนาดของไมโครพลาสติกรูปแบบเส้นไข่ อยู่ระหว่าง 0.06 - 5.90 มิลลิเมตร ชิ้นส่วนเรี้รูปแบบมีขนาดอยู่ระหว่าง 0.03 - 0.66 มิลลิเมตร ทรงกลม มีขนาดอยู่ระหว่าง 0.01 - 0.12 มิลลิเมตร และแท่งมีขนาดอยู่ระหว่าง 0.04 - 0.15 มิลลิเมตร

โดยสรุปแล้วไมโครพลาสติกที่พบในการศึกษานี้มีขนาดอยู่ในช่วง 0.01 - 8.04 มิลลิเมตร ซึ่งขนาด 8.04 มิลลิเมตร นั้นมีขนาดใหญ่กว่าตะแกรงร่อนขนาดตา 1 มิลลิเมตร ที่เป็นเช่นนี้ อาจเนื่องจากไมโครพลาสติกที่มีลักษณะเป็นเส้นไข่ไม่สามารถตกค้าง หรือหลุดรอดจากตะแกรงร่อนที่ใช้ในการวิเคราะห์ (ตะแกรงร่อนขนาดตา 0.063 มิลลิเมตร และ 1 มิลลิเมตร) ซึ่งอาจเกิดจากการจัดเรียงตัวของเส้นไข่ในแนวตั้งในระหว่างการร่อนทำให้ไมโครพลาสติกหลุดรอดหรือคงอยู่ในตะแกรงร่อนขนาดตา 1 มิลลิเมตร ได้ จากการที่ไมโครพลาสติกมีขนาดเล็กนี้จึงง่ายต่อการเข้าสู่สิ่งมีชีวิต เมื่อสัตว์กินไมโครพลาสติกเข้าไปแล้วถูกสัตว์ที่เล็กนัดใหญ่กว่ากินเป็นอาหารเกิดการกินต่อกันเป็นทอด ๆ และอาจทำให้อาหารทะเลที่คนเรารับประทานมีไมโครพลาสติกปนเปื้อนส่งผลให้ไมโครพลาสติกเข้าสู่ร่างกายมนุษย์ได้ (ชาญชัย คหบง, 2561)

บทที่ 5

สรุปผลการวิจัยและข้อเสนอแนะ

จากการศึกษาปริมาณและลักษณะทางกายภาพของไมโครพลาสติกในตัวอย่างทรายชายหาดบริเวณชายหาดแหลมสนอ่อน ตำบลบ่อยาง อำเภอเมือง จังหวัดสงขลาสามารถสรุปผลการศึกษาและข้อเสนอแนะได้ดังนี้

5.1 สรุปผลการศึกษา

การสำรวจปริมาณไมโครพลาสติกในตัวอย่างทรายชายหาดบริเวณชายหาดแหลมสนอ่อน ตำบลบ่อยาง อำเภอเมือง จังหวัดสงขลา โดยเก็บตัวอย่างทรายชายหาดจำนวน 10 จุด ในเดือนตุลาคม 2560 เพื่อมาวิเคราะห์ ปริมาณ รูปร่าง สี และขนาดของไมโครพลาสติกด้วยกล้องจุลทรรศน์ ยี่ห้อ Nikon รุ่น ECLIPSE Ci พร้อม Microscope camera ยี่ห้อ LANOPTIK MDX1003 สามารถสรุปผลการศึกษาได้ดังนี้

1) เนื่องจากในปัจจุบันยังไม่มีวิธีการวิเคราะห์ปริมาณไมโครพลาสติกในตัวอย่างทรายชายหาดที่เป็นสากล ดังนั้นการศึกษาในครั้งนี้จึงได้ดำเนินการวิธีการวิเคราะห์ที่เหมาะสมจำนวน 3 วิธีเพื่อให้ผลการศึกษาที่ได้มีความน่าเชื่อถือ โดยอ้างอิงและตัดแปลงวิธีการของสถาบันวิจัยและพัฒนาทรัพยากรทางทะเลและป่าชายเลนและคณะกรรมการเทคโนโลยีทางทะเล มหาวิทยาลัยบูรพา (2557) และ National Oceanic and Atmospheric Administration (NOAA) (Masura et al., 2015) จากการเปรียบเทียบประสิทธิภาพของการวิเคราะห์ตัวอย่างทั้ง 3 วิธีการวิเคราะห์ พบว่าวิธีการวิเคราะห์ที่ 3 เป็นวิธีการวิเคราะห์ที่เหมาะสมที่สุด โดยวิธีการวิเคราะห์ที่ 1 วิธีนี้เป็นวิธีการวิเคราะห์ที่สะดวกเร็ว แต่พบวัตถุโปร่งใสทรงกลมซึ่งมีลักษณะคล้ายไดอะตومเป็นจำนวนมากมาก เนื่องจากไม่มีการย่อยเพื่อกำจัดสารอินทรีย์ออกจากตัวอย่างก่อน สำหรับวิธีการวิเคราะห์ที่ 2 วิธีการนี้มีการย่อยเพื่อกำจัดสารอินทรีย์ออกจากตัวอย่างแต่ไม่มีการแยกไมโครพลาสติกออกจากตัวอย่างเบื้องต้น เพื่อลดปริมาณทรายชายหาดที่จะนำไปย่อยทำให้ใช้สารเคมีเป็นจำนวนมากและใช้เวลาในการย่อยเป็นระยะเวลา漫長 และจากผลการศึกษาพบวัตถุโปร่งใสทรงกลมคล้ายไดอะตอมที่เกิดการแตกหัก มีสภาพไม่สมบูรณ์

ดังนั้นการเตรียมตัวอย่างทรายก่อนนำไปวิเคราะห์ด้วยกล้องจุลทรรศน์จึงเลือกใช้วิธีการวิเคราะห์ที่ 3 ซึ่งตัดแปลงจาก (NOAA) (Masura et al., 2015) เนื่องจากมีการย่อยเพื่อกำจัดสารอินทรีย์ออกจากตัวอย่างทราย และมีการแยกไมโครพลาสติกออกจากตัวอย่างทราย 2 ครั้ง

เนื่องจากตัวอย่างที่นำมาวิเคราะห์นั้นมีอย่างอื่นประปนาด้วย เช่น เปเลือกหอย ไดอะตوم และสารอินทรีย์ เป็นต้น ซึ่งอาจมีลักษณะคล้ายกับไมโครพลาสติก ดังนั้นจึงควรมีการย่ออย่างเพื่อกำจัดสารอินทรีย์ออกไปก่อน ส่วนการถอยแยกไมโครพลาสติกออกจากตัวอย่างทราย 2 ครั้งเพื่อช่วยให้กระบวนการย่อยเกิดได้สมบูรณ์มากขึ้น รวมทั้งช่วยประหยัดปริมาณสารเคมีและระยะเวลาในการย่อยเพื่อกำจัดสารอินทรีย์ ดังจะเห็นได้ว่า ไม่พบวัตถุทรงกลมที่มีลักษณะคล้ายไดอะตومแต่วัตถุทรงกลมที่พบเป็นทรงกลมที่มีความชุ่น ทึบและไม่โปร่งแสง ดังนั้นในการศึกษานี้จึงใช้วิธีการวิเคราะห์ที่ 3 ในการวิเคราะห์ปริมาณไมโครพลาสติกในทรายชายหาดบริเวณชายหาดแหลมสนอ่อน

2) ปริมาณของไมโครพลาสติกที่ป่นเปื้อนทั้งหมด ($L_1 - L_{10}$) พิจารณาแยกเป็นไมโครพลาสติกขนาดมากกว่า 63 ไมโครเมตร 225 ± 141 ชิ้นต่อ กิโลกรัมน้ำหนักทรายแห้ง และไมโครพลาสติกขนาดน้อยกว่า 63 ไมโครเมตร มีปริมาณ 133 ± 62 ชิ้นต่อ กิโลกรัมน้ำหนักทรายแห้ง คิดเป็นไมโครพลาสติกเฉลี่ย 358 ± 102 ชิ้นต่อ กิโลกรัมน้ำหนักทรายแห้ง ($n=10$) โดยบริเวณที่พบไมโครพลาสติกมากที่สุด คือ จุดเก็บตัวอย่างที่ L_1 พบริเวณไมโครพลาสติก 770 ชิ้นต่อ กิโลกรัมน้ำหนักทรายแห้ง รองลงมา คือ L_2 พบริเวณไมโครพลาสติก 570 ชิ้นต่อ กิโลกรัมน้ำหนักทรายแห้ง

3) ไมโครพลาสติกที่พบมีทั้งหมด 4 รูปร่าง คือ เส้นใย ชิ้นส่วนไร้รูปแบบ ทรงกลม และแท่ง โดยรูปร่างที่พบมากที่สุด คือ เส้นใย (ร้อยละ 62.3) รองลงมา คือ ชิ้นส่วนไร้รูปแบบ (ร้อยละ 32.4) ทรงกลม (ร้อยละ 4.0) และแท่ง (ร้อยละ 1.3)

4) ผลการศึกษาในงานวิจัยนี้พบสิ่งของไมโครพลาสติกทั้งหมด 11 ชนิด ได้แก่ สีขาวชุ่น สีขาวใส สีแดง สีดำ สีน้ำเงิน สีฟ้า สีเขียว สีน้ำตาล สีเหลือง สีส้ม และสีม่วง โดยสีของไมโครพลาสติกที่พบมากที่สุด คือ สีขาวใส (ร้อยละ 31.51) รองลงมา คือ สีดำ (ร้อยละ 20.32) สีน้ำตาล (ร้อยละ 15.99) สีน้ำเงิน (ร้อยละ 13.36) สีขาวชุ่น (ร้อยละ 8.84) สีแดง (ร้อยละ 4.14) สีเขียว (ร้อยละ 2.35) สีฟ้า (ร้อยละ 2.26) สีม่วง (ร้อยละ 0.75) สีเหลือง (ร้อยละ 0.38) และสีส้ม (ร้อยละ 0.09) ตามลำดับ

5) ขนาดของไมโครพลาสติกที่พบอยู่ในช่วง $0.01 - 8.04$ มิลลิเมตร โดยไมโครพลาสติกที่มีรูปร่างเส้นใยจะมีขนาดมากที่สุด คือ 8.04 มิลลิเมตร รองลงมา คือ ชิ้นส่วนไร้รูปแบบ 6.61 มิลลิเมตร และแท่ง 0.30 มิลลิเมตร ส่วนรูปร่างทรงกลมจะมีขนาดเล็กที่สุดคือมีขนาด 0.12 มิลลิเมตร

จากการสำรวจไมโครพลาสติกในตัวอย่างทรายชายหาด บริเวณชายหาดแหลมสนอ่อน ตำบลบ่ออย่าง อำเภอเมือง จังหวัดสงขลา พบร่วมทรายตัวอย่างทุกจุดเก็บตัวอย่างมีการป่นเปื้อนของไมโครพลาสติกเป็นไปตามสมมุติฐานที่ตั้งไว้ ซึ่งอาจเกิดจากกิจกรรมที่เกิดขึ้นบริเวณชายหาดแหลมสนอ่อน ทั้งในทะเลและบนบก เนื่องจากชายหาดแหลมสนอ่อน เป็นสถานที่ท่องเที่ยวที่สำคัญของจังหวัดสงขลา มีสถานบริการนักท่องเที่ยว การทำประมงพื้นบ้าน มีพื้นที่ติดกับท่าเรือน้ำลึกขนส่งสินค้า

รวมถึงพบทะเพลาสติกในพื้นที่ชายหาดตลอดแนวชายฝั่ง ซึ่งสิ่งเหล่านี้อาจก่อให้เกิดการสะสมของขยะพลาสติกในธรรมชาติเป็นเวลานานจนเกิดการย่อยสลายหรือแตกหักของพลาสติกขนาดใหญ่ รวมถึงเกิดจากการซักผ้าและการใส่เสื้อผ้าที่เป็นผ้าไส้สังเคราะห์ลงเล่นน้ำ ทำให้เส้นใยสังเคราะห์เหล่านี้เกิดการหลุดออกจากรีดเสื้อผ้าและปนเปื้อนสู่ทะเล และอาจเกิดจากการจัดเก็บหรือทิ้งอุปกรณ์ที่เกี่ยวกับการประมงที่ไม่ถูกต้องทั้งบนบกและในทะเล ทำให้มีไมโครพลาสติกปนเปื้อนในสิ่งแวดล้อม

5.2 ข้อเสนอแนะ

1) การศึกษาในครั้งนี้เป็นข้อมูลเบื้องต้นของสถานการณ์การปนเปื้อนไมโครพลาสติกในพื้นที่ชายหาดแหลมสนอ่อน อย่างไรก็ตามการศึกษาในครั้งนี้ใช้กล้องจุลทรรศน์ในการจำแนกเพียงเท่านั้น จึงควรมีการวิเคราะห์ทางเคมีร่วมด้วย เพื่อให้เกิดความแม่นยำในการวิเคราะห์และทราบถึงชนิดของพลาสติก โดยเฉพาะจุดเก็บตัวอย่าง L1 ที่มีรูปร่างชิ้นส่วนไว้รูปแบบในปริมาณที่มากกว่าจุดอื่น จึงควรวิเคราะห์ทางเคมีในบริเวณนี้เพื่อทราบถึงชนิดของพลาสติกซึ่งจะช่วยให้คาดการณ์ถึงแหล่งกำเนิดของไมโครพลาสติกที่ปนเปื้อนได้

2) ควรมีการสำรวจปริมาณของไมโครพลาสติกในพื้นที่อื่น ๆ ของจังหวัดสงขลา เช่น ชายหาด น้ำทะเล แม่น้ำและปากแม่น้ำ เพื่อเป็นข้อมูลในการจัดการการปนเปื้อนของไมโครพลาสติกบริเวณชายหาดของจังหวัดสงขลา

3) ควรศึกษาผลกระทบของสารพิษที่อยู่ในไมโครพลาสติกที่อาจมีผลกระทบต่อสิ่งมีชีวิต

4) ควรมีการสำรวจปริมาณของไมโครพลาสติกในดูออกลต่าง ๆ เพื่อศึกษาผลกระทบของดูออกลต่อปริมาณ และลักษณะทางกายภาพของไมโครพลาสติกที่พบ

บรรณานุกรม

กรณิศ ตันอังสนาฤกุล. (2560). ครีมอาบน้ำ เสื้อผ้า ล้อรถกับขยะพลาสติกที่มองไม่เห็น (Online).

<https://www.the101.world/microplastics/>, 15 สิงหาคม 2558

กรมควบคุมมลพิษ. (2560). รายงานสถานการณ์ขยะมูลฝอยขุ่นของประเทศไทย ปี พ.ศ. 2559.

กรุงเทพฯ: กรมควบคุมมลพิษ, กระทรวงทรัพยากรธรรมชาติและสิ่งแวดล้อม.

กรมทรัพยากรทางทะเลและชายฝั่ง. (2556). ผลกระทบของขยะทะเลต่อสัตว์ทะเลยาก (Online). https://www.dmcr.go.th/_detailAll/26049/nws/22, 15 เมษายน 2561

กรมทรัพยากรทางทะเลและชายฝั่ง. (2557). Microplastics ผลกระทบจากความมักจ่าย (Online).

https://www.dmcr.go.th/_detailAll/24456/nws/141, 16 มีนาคม 2561

กรมทรัพยากรทางทะเลและชายฝั่ง. (2560). ฐานข้อมูลขยะทะเล (Online). http://tcc.dmcr.go.th/_thaicoastalcleanup/, 15 เมษายน 2561

กรมทรัพยากรทางทะเลและชายฝั่ง. (2561). ที่มาของขยะทะเล (Online). https://www.dmcr.go.th/_detailAll/24485/nws/141, 20 มิถุนายน 2561

กรมทรัพยากรธรณี. (2557). การจำแนกเขตเพื่อการจัดการด้านธรณีวิทยาและทรัพยากรธรณี จังหวัดสงขลา. กรุงเทพฯ: กรมทรัพยากรธรณี, กระทรวงทรัพยากรธรรมชาติและสิ่งแวดล้อม.

ชัยณรงค์ กิตินารถอินทรานี. (2560). ไมโครพลาสติก ซึ่งเล็ก แต่ร้ายเล็ก. กรุงเทพธุรกิจ. (2560, 26 กันยายน).

ชาญชัย คงปน. (2561). ไมโครพลาสติกภัยมีดในทะเล. กองพัฒนาและจัดการความรู้องค์กร, สำนักดิจิทัลและสารสนเทศ.

จิตินันท์ ศรีสถิต. (2552). คู่มือเรียนรู้ขยะทะเล: ชายฝั่งอ่าวไทยและทะเลอันดามัน. สำนักอนุรักษ์ ทรัพยากรทางทะเลและชายฝั่ง, กรมทรัพยากรทางทะเลและชายฝั่ง.

ณิชา บูรณสิงห์. (2559). ขยะพลาสติก: ภัยใกล้ตัว (Online). http://library2.parliament.go.th/ejournal/content_af/2559/feb2559-7.pdf, 15 เมษายน 2561

บรรณานุกรม (ต่อ)

- ทีมข่าวสิ่งแวดล้อม. (2560ก). นักวิจัยพบขยะพลาสติกจะมีถึงกันมหาสมุทร สัตว์ทะเลลึกลับหนึ่งในพันธุ์
คุกคามจากมลพิษ. สำนักข่าวสิ่งแวดล้อม. (2560, 18 พฤศจิกายน).
- ทีมข่าวสิ่งแวดล้อม. (2560ข). ไมโครบีดส์วายร้ายขนาดจิ๋ว เรายอดชื่ม ‘พลาสติก’ เข้าสู่ร่างกายทุกวัน.
สำนักข่าวสิ่งแวดล้อม. (2560, 9 กันยายน).
- ธนาวดี ลี้จากภัย. (2545). เมืองรีไซเคิลวัสดุ. กรุงเทพฯ: งานฝึกอบรมศูนย์เทคโนโลยีโลหะและวัสดุ
แห่งชาติ.
- รา拉 บัวคำศรี. (2560). แพะยานในอ่าวไทยยอดภูเขาน้ำแข็งของวิกฤติขยะไทย. GREENPEACE
Thailand. (2560, 12 กุมภาพันธ์).
- ปิติพงษ์ ธรรมมนต์, สุทธิย ไพรสาคร์กุล และนภพร เลียดประطم. (2559). การปนเปื้อนของ
ไมโครพลาสติกในหอยสองฝาบริเวณชายหาดเจ้าหลาว และชายหาดคุ้งวิมาน จังหวัดจันทบุรี.
แก่นเกษตร, 44 ฉบับพิเศษ 1, 738-744.
- เพ่าเทพ เชิดสุขใจ, ณัฐพัชร์ รักการ, วราริน วงศ์พาณิช และสมเกียรติ ขอเกียรติวงศ์. (2560).
การศึกษาไมโครพลาสติกเบื้องต้นบริเวณแหลมพันวาและเกาะโหลน จังหวัดภูเก็ต.
กรมทรัพยากรทางทะเลและชั้นผิวโลก.
- โพสต์ทูเดย์. (2559). แบบการใช้ไมโครบีดส์ในผลิตภัณฑ์เหตุกระแทบสิ่งแวดล้อม. โพสต์ทูเดย์รอบ
โลก. (2559, 24 สิงหาคม)
- ภูมิพัฒน์ รัตนตรัยเจริญ. (2557). ความรู้เกี่ยวกับพลาสติกทั้ง 7 ชนิด (Online). <https://sites.google.com/site/kaewphlastik/khwam-ru-keiyw-kab-phlastik-thang-7-chnid>, 19
สิงหาคม 2561.
- มูลนิธิโลกสีเขียว. (2560). ในตะกร้าของปีนวลด (Online). http://greenworld.or.th/green_issue/ ในตะกร้าของปีนวลด, 19 สิงหาคม 2560.
- ลักษณพ แก้วโภ. (2560). นำมีมนุษย์ภาพสะท้อนสังคมมักง่ายผลกระทบต่อสัตว์ที่ต้องรับกรรม. ทีนิวส์.
(2560, 24 เมษายน).
- วงศ์ศิริ เข็มสวัสดิ์. (2559). ไมโครพลาสติก: จากเครื่องสำอางสู่สารปนเปื้อนในอาหาร. วารสาร
พิชวิทยาไทย, 31 (1), 50-61.

บรรณานุกรม (ต่อ)

- ศรีรัช กำเนิดทอง. (2558). ผลกระทบจากขยะมูลฝอยต่อสิ่งแวดล้อม (Online). http://region4.prd.go.th/ewt_news.php?nid=71744&filename=index, 19 สิงหาคม 2561.
- ศรีรัช กำเนิดทอง. (2559). กลไกการย่อยสลายของพลาสติกที่ย่อยสลายได้ (Online). http://region4.prd.go.th/ewt_news.php?nid=75053, 19 สิงหาคม 2561
- ศุภิพร แสงกระจาง, ปัชมา พลอຍสว่าง และ ปริณดา พรหมทิศาอร. (2556). ผลกระทบของพลาสติกต่อสุขภาพและสิ่งแวดล้อม. *วารสารพิชวิทยาไทย*, 28 (1).
- สถาบันวิจัยและพัฒนาทรัพยากรทางทะเลและป่าชายเลนและคณะเทคโนโลยีทางทะเล มหาวิทยาลัยบูรพา. (2557). การสำรวจและจำแนกตัวอย่างขยะทะเลประเภทไมโครพลาสติก กรุงเทพฯ: กรมทรัพยากรทางทะเลและชายฝั่ง.
- สมจิตต์ ตั้งชัยวัฒนา. (2558). ชนิดของพลาสติก (Online). <http://www.dss.go.th/images/st-article/pep-2-2558-Thermoplastic.pdf>, 19 สิงหาคม 2560
- สมปรารณ ฤทธิ์พริ้ง. (2559). การกัดเซาะชายฝั่งหาดสมิหลา-ชาหาด. กรุงเทพฯ: คณะวิศวกรรมศาสตร์ มหาวิทยาลัยเกษตรศาสตร์.
- สลิลวรรณ เครือเทวน์. (2559). มาตรการทางกฎหมายในการป้องกันมลพิษทางน้ำที่เกิดจากพลาสติกไมโครบีเดล. วิทยานิพนธ์ปริญญาดุษฎีศาสตร์รัฐมนตรี, มหาวิทยาลัยธรรมศาสตร์.
- สุดา อิทธิสุวรรณรัตน์. (2559). ไมโครพลาสติกในทะเล. *Green Research*, 13 (33), 21-24.
- สุวัจน์ อัญรรษ. (2557). ผลกระทบทางทะเลและชายฝั่ง. ภาควิชาวิทยาศาสตร์ทางทะเล คณะวิทยาศาสตร์และเทคโนโลยีการประมง มหาวิทยาลัยเทคโนโลยีราชมงคลครุวิชัย.
- สำนักประชาสัมพันธ์เขต 1 ขอนแก่น. (2560). ระยะเวลาการย่อยสลาย (Online). http://region1.prd.go.th/ewt_news.php?nid=29244, 15 สิงหาคม 2561
- Boucher, J. and Friot, D. (2017). *Primary Microplastics in the Oceans: A Global Evaluation of Sources*. Gland, Switzerland: IUCN. 43pp.

บรรณานุกรม (ต่อ)

- Cadora, A. (2016). One of these 20 sample things takes 600 year to decompose. (Online). [https://www.norwexmovement.com /how-long-](https://www.norwexmovement.com/how-long-), April 22, 2018.
- Claessens, M., Meester, S.D., Landuyt, L.V., Clerck, K.D., and Janssen, C.R. (2011). Occurrence and distribution of microplastics in marine sediments along the Belgian coast. **Marine Pollution Bulletin**, **62**, 2199-2204.
- Gabbatiss, J. (2014). Why marine animals can't stop eating plastic (Online). [https://ourblueplanet.bbcearth.com /blog/?article=why-do-marine-animals-eat-plastic](https://ourblueplanet.bbcearth.com/blog/?article=why-do-marine-animals-eat-plastic), August 15, 2018.
- GESAMP. (2016). Sources, fate and effects of microplastics in the marine environment: part two of a global assessment (Kershaw, P.J. and Rochman, C.M., eds). IMO/FAO/UNESCOIOC/UNIDO/WMO/IAEA/UN/UNEP/UNDP Joint Group of Experts on the Scientific Aspects of Marine Environmental Protection. Rep. Stup. GESAMP No. 93, 220p.
- Google Earth. (2018). แผนที่ชายหาดแหลมสนอ่อน (Online) <https://www.google.earth> แผนที่ชายหาดแหลมสนอ่อน, September 5, 2018
- Google Map. (2018). แผนที่ชายหาดแหลมสนอ่อน (Online). <https://www.google.co.th/maps/search/แผนที่ชายหาดแหลม-สนอ่อน>, September 5, 2018
- Ivar do Sul, J.A., and Costa, M.F. (2013). the present and future of microplastic pollution in the marine environment. **Environmental Pollution**, **185**, 352-364.
- Li, H.X., Ma, L.S., Lin, L., Ni, Z.X., Xu, X.R., Shi, H.H., Yan, Y., Zheng, G.M., and Rittschof, D. (2018). microplastics in oysters *Saccostrea cucullata* along the Pearl River Estuary, China. **Environmental Pollution**, **236**, 619-625.
- Lo, H.S., Xu, X., Wong, C.Y. and Cheung, S.G. (2018). Comparisons of Microplastic pollution between mudflats and sandy beaches in Hong Kong. **Environmental Pollution**, **236**, 208-217.

บรรณานุกรม (ต่อ)

- Masura, J., Baker, J., Foster, G. and Arthur, C. (2015). **Laboratory methods for the analysis of microplastics in the marine environment: recommendations for quantifying synthetic particles in waters and sediments** (NOAA Technical Memorandum NOS-OR&R-48). Maryland: NOAA Marine Debris Division.
- Peng, G., Zhu, B., Yang, D., Su, L., Shi, H. and Li, D. (2017). Microplastics in sediments of the Changjiang Estuary, China. **Environmental Pollution**, **225**, 283-290.
- Piñon-Colin, T.d.J., Rodriguez-Jimenez, R., Pastrana-Corral, M.A., Rogel-Hernandez, E. and Wakida, F.T. (2018). microplastics on sandy beaches of the Baja California Peninsula, Mexico. **Marine Pollution Bulletin**, **131**, 63-71.
- Wang, W., Yuan, W., Chen, Y., and Wang, J. (2018). Microplastics in surface waters of Dongting Lake and Hong Lake, China. **Science of the Total Environment**, **633**, 539-545.
- Zhang, W., Zhang,S., Wang, J., Wang, Y., MU, J., Wang, P., Lin, X. and MA, D. (2017). microplastics pollution in the surface waters of the Bohai Sea, China. **Environmental Pollution**, **231**, 541-548.





โครงการวิจัยเฉพาะทาง

- 1 ชื่อโครงการ:** การสำรวจปริมาณไมโครพลาสติกในตัวอย่างรายชาหยหาดบริเวณชายหาดแหลมสน อ่อน ตำบลบ่ออย่าง อำเภอเมือง จังหวัดสงขลา
Quantification Survey of Microplastics in Beach Sand in Leam Son-on Beach, Bo Yang Subdistrict, Mueang District, Songkhla Province
- 2 สาขาวิชา:** สาขาวิชาภาษาศาสตร์สิ่งแวดล้อม (เทคโนโลยีสิ่งแวดล้อม)
- 3 ชื่อผู้วิจัย:** นางสาวกนกพร บัวจันทร์ รหัสนักศึกษา 564232001
นักศึกษาปริญญาตรี สาขาวิชาภาษาศาสตร์สิ่งแวดล้อม
คณะวิทยาศาสตร์และเทคโนโลยี
มหาวิทยาลัยราชภัฏสงขลา
นางสาวเบญจวรรณ์ มณีเชติ รหัสนักศึกษา 564232016
นักศึกษาปริญญาตรี สาขาวิชาภาษาศาสตร์สิ่งแวดล้อม
คณะวิทยาศาสตร์และเทคโนโลยี
มหาวิทยาลัยราชภัฏสงขลา
- 4 คณะกรรมการที่ปรึกษาวิจัยเฉพาะทาง**
- | | |
|------------------------------------|------------------------------------|
| อาจารย์ที่ปรึกษาหลัก | อาจารย์ ดร.สุริพร บริรักษิษฐ์สักดี |
| อาจารย์ที่ปรึกษาร่วม | อาจารย์ ดร.สายสิริ ไชยชนะ |
| โปรแกรมวิชา วิทยาศาสตร์สิ่งแวดล้อม | |
| คณะวิทยาศาสตร์และเทคโนโลยี | |
| มหาวิทยาลัยราชภัฏสงขลา | |

5 ความเป็นมาและความสำคัญ

ข้อมูลจากการควบคุมผลิตภัณฑ์ฯ ประจำปี 2559 มีข้อมูล ประมาณ 27.06 ล้านตัน หรือประมาณ 74,073 ตันต่อวัน โดยเฉลี่ยที่คุณไทยทิ้งขยะ 1.14 กิโลกรัม ต่อกอนต่อวัน มีปริมาณขยะตากด้าง 9.96 ล้านตัน ที่มีการจัดการไม่ถูกต้อง (กรรมควบคุมผลิตภัณฑ์, 2560) ซึ่งขยะที่มีการจัดการไม่ถูกต้องเหล่านี้มีโอกาสปนเปื้อนสู่สิ่งแวดล้อม รวมถึงปนเปื้อนลงสู่ทะเลเมื่อขยะเหล่านี้ลงสู่ทะเลก็จะกล้ายเป็นขยะทะเลต่อไป ขยะทะเลเป็นปัญหามลพิษที่สำคัญที่สุด ผลกระทบจากการศึกษาของกรมทรัพยากรทางทะเลและชายฝั่ง ปี 2558 องค์ประกอบของขยะทะเลพบว่าขยะทะเลประเภทถุงพลาสติกเป็นขยะที่พบมากที่สุด ร้อยละ 13 รองลงมา คือ หลอดเครื่องดื่ม ร้อยละ 10 และฝาพลาสติก ร้อยละ 8 ตามลำดับ จากองค์ประกอบของขยะทะเลแสดงให้เห็นอย่างชัดเจนว่าขยะพลาสติกเป็นขยะทะเลชนิดเด่น เนื่องจากพลาสติกเป็นวัสดุที่มีต้นทุนการผลิตต่ำ เป็นวัสดุที่มีน้ำหนักเบา มีความทนทานต่อการกัดกร่อนและการเกิดปฏิกิริยา กับสารเคมี จึงทำให้นิยมในการนำไปสร้างผลิตภัณฑ์ที่ใช้ในชีวิตประจำวัน ทำให้มีผลิตภัณฑ์ที่เป็นพลาสติกจำนวนมาก สาเหตุนี้จึงทำให้มากกว่าร้อยละ 80 ของปริมาณขยะทะเลมาจากกิจกรรมบนบก มีเพียงแค่ ร้อยละ 20 เท่านั้นที่มาจากการกิจกรรมทางทะเล (กรมทรัพยากรทางทะเลและชายฝั่ง, 2560) ส่งผลให้เกิดปัญหาการแพร่กระจายของขยะพลาสติกในทะเลพื้นที่ทั้งขยะชายหาด และขยะที่สะสมตัวอยู่ในตะกอนดิน เมื่อพลาสติกลอยตัวอยู่ในทะเลเป็นเวลานาน พลาสติกเหล่านี้จะสามารถย่อยสลายกลไกเป็นไมโครพลาสติกหรือพลาสติกขนาดเล็ก (กรมทรัพยากรทางทะเลและชายฝั่ง, 2557)

จากการศึกษาการแพร่กระจายของไมโครพลาสติก พบรูปแบบการปนเปื้อนในระบบน้ำเสีย
ชายหาด ตะกอนดินรวมถึงห่วงโซ่อุปทานทางทะเล (กรมทรัพยากรทางทะเลและชายฝั่ง, 2560) จึงได้
ทำการเลือกพื้นที่ที่จะทำการศึกษา คือ บริเวณชายหาดแหลมสน อ่อน ตำบลบ่ออย่าง อำเภอเมือง

จังหวัดสงขลา เนื่องจากชายหาดแหลมสนอ่อนอยู่ทางทิศตะวันตกเฉียงเหนือของประติมารมนาง เสือก บริเวณปลายแหลมเป็นที่ประดิษฐานของอนุสาวรีย์กรมหลวงชุมพรเขตอุดมศักดิ์ ด้านทิศ ตะวันตกเป็นทะเลสาบสงขลา (กรมทรัพยากรรัตนี, 2557) ทิศเหนือเป็นทะเลฝั่งอ่าวไทย ซึ่งมีการ เชื่อมต่อโดยตรงกับชายหาดแหลมสนอ่อน จึงมีความจำเป็นที่จะต้องศึกษาไมโครพลาสติกที่มีการ ปนเปื้อนลงสู่ทะเลและชายหาด ดังนั้นผู้วิจัยจึงทำการศึกษาเพื่อสร้างความเข้าใจต่อผลกระทบของ ไมโครพลาสติก ซึ่งจะนำไปสู่แนวทางการจัดการปัญหาขยะทะเลต่อไป

6 วัตถุประสงค์งานวิจัย

เพื่อสำรวจปริมาณของไมโครพลาสติกในชายหาด บริเวณชายหาดแหลมสนอ่อน ตำบลป่า ยาง อำเภอเมือง จังหวัดสงขลา

7 สมมติฐาน

ชายหาด บริเวณชายหาดแหลมสนอ่อน ตำบลป่า ยาง อำเภอเมือง จังหวัดสงขลา มีไมโครพลาสติกปนเปื้อน

8 ตัวแปร

ตัวแปรต้น: ตัวอย่างชายหาดบริเวณแหลมสนอ่อน ตำบลป่า ยาง อำเภอเมือง จังหวัดสงขลา

ตัวแปรตาม: ปริมาณ รูปร่าง ขนาด และสีของไมโครพลาสติก

ตัวแปรควบคุม: พื้นที่เก็บตัวอย่าง และช่วงเวลาที่เก็บตัวอย่าง

9 ประโยชน์ที่คาดว่าจะได้รับ

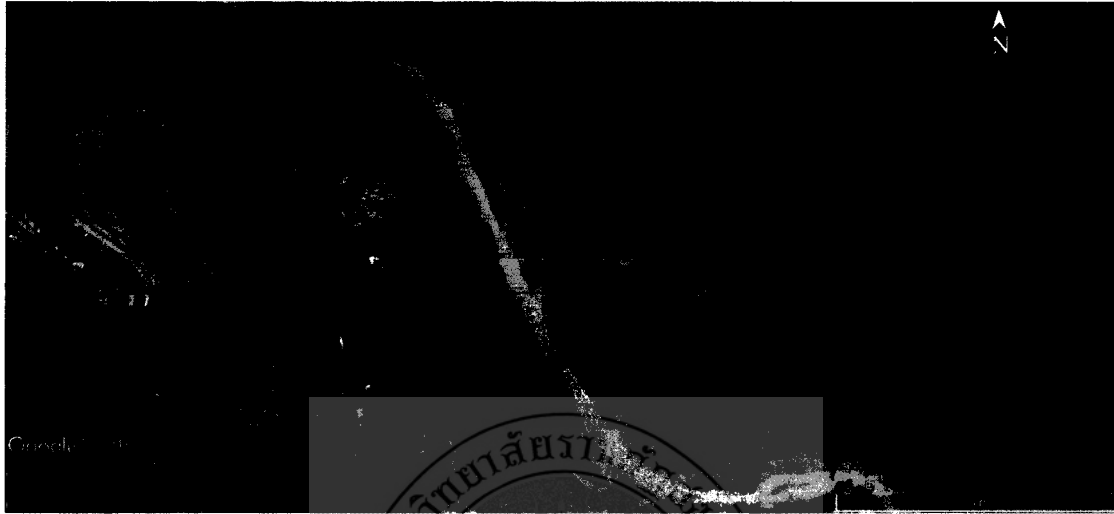
9.1 ทราบปริมาณการปนเปื้อนของไมโครพลาสติก บริเวณชายหาดแหลมสนอ่อน ตำบลป่า ยาง อำเภอเมือง จังหวัดสงขลา

9.2 เป็นข้อมูลพื้นฐานต่อการวางแผนการจัดการระบบนิเวศฯ ฝั่ง

10 ขอบเขตของงานวิจัย

เก็บตัวอย่างชายหาดบริเวณชายหาดแหลมสนอ่อน ตำบลป่า ยาง อำเภอเมือง จังหวัดสงขลา เป็นระยะทาง 3.27 กิโลเมตร สูงสุด 10 จุด ระยะห่างจุดละ 300 เมตร โดยทำการ เก็บ 1 ครั้ง ในเดือนตุลาคม พ.ศ.2560 (ภาพที่ 1) และนำมาทดลองที่ศูนย์วิทยาศาสตร์ และจำแนก

ลักษณะของไมโครพลาสติกด้วยกล้องจุลทรรศน์ที่อาคารปฏิบัติการเทคโนโลยีชีวภาพ (biotechnology) มหาวิทยาลัยราชภัฏสงขลา



ภาพที่ 1 ชายหาดบริเวณแหลมสนอ่อน ตำบลบ่ออย่าง อำเภอเมือง จังหวัดสงขลา

ที่มา: .Google Earth (2018)

11 นิยามศัพท์เฉพาะ

พลาสติก หมายถึง สารประกอบพ梧ไ乂โตรคาร์บอนที่มีน้ำหนักโมเลกุลสูง ประกอบด้วย โมเลกุลซ้ำ ๆ กัน และต่อ กันเป็นโมเลกุลสายยาว ประกอบด้วยธาตุสำคัญ คือ คาร์บอน ไฮโดรเจน และออกซิเจน นอกจานี้มีธาตุอื่น ๆ เป็นส่วนประกอบบ่อย ได้แก่ ในไฮโดรเจน พลูออริน คลอริน และ กำมะถัน เป็นต้น (ณิชา บูรณสิงห์, 2559)

ไมโครพลาสติก หมายถึง พลาสติกที่มีขนาดเล็กกว่า 5 มิลลิเมตร (GESAMP, 2015)

ขยะทะเล หมายถึง ผลิตภัณฑ์จากมนุษย์ที่ทิ้งลงสู่ทะเลโดยทางตรง หรือทิ้งตามสถานที่ต่าง ๆ ทั้งเจตนา และไม่เจตนาแล้วถูกกระแต่ลม หรือกระแทกน้ำพัดลงสู่ทะเล (กรมทรัพยากรทางทะเลและชายฝั่ง, 2556)

การปนเปื้อน หมายถึง การพับไมโครพลาสติกในตัวอย่างทรายชายหาด

ชายหาดแหลมสนอ่อน หมายถึง พื้นที่บริเวณอนุสาวรีย์กรมหลวงชุมพรเขตอุดมศักดิ์ ประดิษฐ์มารมณางเนือก ตำบลบ่ออย่าง อำเภอเมือง จังหวัดสงขลา เป็นระยะทางประมาณ 3.27 กิโลเมตร

12 ตรวจเอกสาร

12.1 พลาสติก

พลาสติก (plastic) หมายถึง สารประกอบพ梧ไหโโดยสารบอนที่มีน้ำหนักโมเลกุลสูง ประกอบด้วยโมเลกุลซึ่ง ๆ กัน และต่อ กันเป็นโมเลกุลสายยาวประกอบด้วยธาตุสำคัญ คือ สารบอนไหโโดยเรน และออกซิเจน นอกจากนี้มีธาตุอื่น ๆ เป็นส่วนประกอบอย่างได้แก่ ในโดยเรน พลูอิรีน คลอรีน และกำมะถัน เป็นต้น ซึ่งพลาสติกแบ่งออกเป็น 2 ประเภท (นิชชา บูรณสิงห์, 2559) คือ

1) เทอร์โมพลาสติก (thermoplastic) เป็นพลาสติกที่เมื่อได้รับความร้อนจะอ่อนตัว เย็นลงจะแข็งตัว สามารถเปลี่ยนรูปได้ ชนิดของพลาสติกในตระกูลเทอร์โมพลาสติก ได้แก่ พอลิเอทิลีน (polyethylene; PE), พอลิโพร์พลีน (polypropylene; PP), พอลิสไตรีน (polystyrene; PS), สไตรีน-อะคริโลไนไตรอล (styrene-acrylonitrile; SAN), อัคริโลไนไตรอล-บิวทาไดอีน-สไตรีน (acrylonitrile-butadiene-styrene), พอลิไวนิลคลอไรด์ (polyvinylchloride; PVC), ไนลอน (nylon), พอลิเอทธิลีน เทเรฟราเลท (polyethylene terephthalate; PET), พอลิคาร์บอเนต (polycarbonate; PC)

2) เทอร์โมเซตติ้งพลาสติก (thermosetting plastic) เป็นพลาสติกที่มีสมบัติพิเศษ คือ ทนทานต่อการเปลี่ยนแปลงอุณหภูมิ และทนปฏิกิริยาเคมีได้ดี ชนิดของพลาสติกในตระกูลนี้ ได้แก่ เมลามีน พอร์มาลดีไฮด์ (melamine formaldehyde), ฟีโนลฟอร์มาลดีไฮด์ (phenol formaldehyde), อีพ็อกซี่ (epoxy), พอลิเอสเตอร์ (polyester), ยูรีเทน (urethane), พอลิยูรีเทน (polyurethane)

ในประเทศไทยนิยมใช้พลาสติกจำพวกเทอร์โมพลาสติกกันมากที่สุด เนื่องจากสามารถใช้งานได้หลายประเภท โดยเฉพาะด้านบรรจุภัณฑ์พลาสติกที่มีการผลิตในรูปแบบต่าง ๆ กัน เช่น

-พอลิเอทิลีน (polyethylene; PE) ผลิตเป็นถุงพลาสติกหั้งร้อนและเย็น ขวด ถัง และฟิล์มพลาสติกประเภทอ่อนนุ่ม กระสอบพลาสติก เป็นต้น

-พอลิโพร์พลีน (polypropylene; PP) นิยมผลิตเป็นถุงบรรจุอาหารและเสื้อผ้าสำเร็จรูป กระสอบพลาสติก เป็นต้น

-พอลิไวนิลคลอไรด์ (polyvinyl chloride; PVC) ใช้ทำห้องน้ำประจำ สายยางใส แผ่นฟิล์มสำหรับห่ออาหาร แผ่นพลาสติกสำหรับทำประตู หน้าต่าง และหนังเทียม สามารถนำมารีไซเคิลเป็นห้องน้ำประจำ หรือร่างน้ำสำหรับการเกษตร กรวยระบายน้ำ เฟอร์นิเจอร์ ม้านั่งพลาสติก ตับเก็บ เคเบิล แผ่นไม้เทียม เป็นต้น

12.2 ไมโครพลาสติก

ไมโครพลาสติก (microplastics) คือ ชิ้นส่วนพลาสติกที่มีขนาด 1 นาโนเมตร ถึง 5 มิลลิเมตร สามารถก่อให้เกิดผลกระทบต่อสิ่งแวดล้อม เนื่องจากไมโครพลาสติกที่เกิดจากการแตกหักหรือย่อยสลายของขยะพลาสติกขนาดใหญ่หรือเกิดจากพลาสติกที่มีการสร้างใหม่มีขนาดเล็ก เพื่อให้เหมาะสมกับวัตถุประสงค์การใช้งานโดยไมโครพลาสติกจะสามารถแพร่กระจายสู่สิ่งแวดล้อมได้ง่าย แต่การจัดการในการทำความสะอาดหรือกำจัดได้ยาก (ปิติพงษ์ ธรรมนรต และคณะ, 2559)

สามารถแบ่งประเภทของไมโครพลาสติกตามแหล่งที่มาได้สองประเภทดังต่อไปนี้

12.2.1 ไมโครพลาสติกปฐมภูมิ

ไมโครพลาสติกปฐมภูมิ (primary microplastic) คือ ไมโครพลาสติกที่มีการผลิตเป็นพลาสติกขนาดเล็กมาตั้งแต่ต้น เช่น เม็ดพลาสติกที่อยู่ในโฟมทำความสะอาดผิวน้ำหรือเครื่องสำอาง (plastic scrub) เม็ดพลาสติกที่เป็นรัศดตั้งตันของการผลิตผลิตภัณฑ์พลาสติก (plastic pellet) โดยกรณีของพลาสติกที่ใช้เป็นสครับเป็นส่วนผสมในเครื่องสำอางที่เกิดจากการเปลี่ยนจากส่วนผสมจากธรรมชาติจากอัลมอนด์บด ข้าวโอ๊ตและทินกูเข้าไฟในช่วงปี 1980 มาเป็นการใช้พลาสติกสครับแทนโดยเม็ดพลาสติกเหล่านี้จะมีรูปร่างขนาดและองค์ประกอบแตกต่างกันออกไป เช่น พลาสติกที่เป็นเอทธีน โพรพิลีน และพลาสติกทรงกลมที่เป็นโพลีสไตรีนโดยรูปทรงปกติของพลาสติกที่มาจากเครื่องสำอางจะมีขนาดน้อยกว่า 0.5 มิลลิเมตรและอาจน้อยกว่า 0.1 มิลลิเมตร ในเครื่องสำอางบางชนิดไมโครพลาสติกประเภทนี้สามารถแพร่กระจายสู่สิ่งแวดล้อมทางทะเลได้ โดยการทิ้งของเสียโดยตรงจากบ้านเรือนสู่แหล่งน้ำและแหล่งทราย เช่น กรณีของสครับที่ใช้ในโฟมล้างหน้าหรือกรณีของเส้นใยจากผ้าใบสังเคราะห์จากการทิ้งน้ำจากการซักผ้านอกจากนี้ยังมีกรณีของอุปกรณ์ที่เกิดขึ้นระหว่างขนส่งวัตถุดินในทะเลเช่นในกรณีของเม็ดพลาสติก (plastic pellet)

12.2.2 ไมโครพลาสติกทุติยภูมิ

ไมโครพลาสติกทุติยภูมิ (secondary microplastic) เป็นพลาสติกที่เกิดจากพลาสติกที่มีขนาดใหญ่หรือมาโครพลาสติก (macroplastic) โดยเกิดจากการสะสมของพลาสติกในสิ่งแวดล้อมเป็นเวลานานและเมื่อพลาสติกได้รับแสงอาทิตย์ไวโอเลต ซึ่งจะมีผลทำให้เกิดการแตกหักของพลาสติกมากขึ้นด้วยระยะเวลาที่นานขึ้น อาจทำให้ไมโครพลาสติกลายเป็นนาโนพลาสติกได้ หากมีการสะสมในสิ่งแวดล้อมเป็นเวลานานและเสียงต่อการเข้าไปยังห่วงโซ่ออาหารของสิ่งมีชีวิตกระบวนการที่ทำให้เกิดไมโครพลาสติกเกิดขึ้นจากรังสีอัลตราไวโอเลตในแสงแดดจะทำให้เกิดการออกซิเดชันของโพลิเมอร์เมทริกซ์นำไปสู่การแตกตัวและย่อยสลายของพลาสติก ซึ่งกระบวนการ

ดังกล่าวจะทำให้สารแต่งเติมในพลาสติกหลุดออกจากพลาสติก ทำให้โครงสร้างของพลาสติกเกิดการแตกตัวจนมีขนาดที่เล็กมากนอกจากแสงอุลตราไวโอเลตยังมีกระบวนการหลักอื่น ๆ ที่ทำให้เกิดไมโครพลาสติก เช่น พลังงานจากคลื่น การฉีกหรือบดพลาสติกของสิ่งมีชีวิตแสงญวี (สถาบันวิจัยและพัฒนาทรัพยากรทางทะเลและป่าชายเลน, 2557)

12.3 ลักษณะของไมโครพลาสติก

อธิบายถึงผลกระทบของลักษณะทางกายภาพของไมโครพลาสติก เช่น สีและรูปร่าง โดยมีรายละเอียดดังต่อไปนี้

12.3.1 สีของไมโครพลาสติก

สีเป็นอีกปัจจัยหนึ่งที่มีผลต่อการเลือกกินของสิ่งมีชีวิตโดยเฉพาะในสิ่งมีชีวิตที่มีประสาทการรับรู้ภาพและสี โดยสัตว์จะเลือกินพลาสติกที่มีสีคล้ายเหมือนสีของสัตว์ชนิดนั้น โดยจากการศึกษาสีของไมโครพลาสติกจะแบ่งสีออกเป็น สีขาวซุ่น สีขาวใส สีแดง สีดำ สีน้ำเงิน สีฟ้า สีเขียว สีเทา สีน้ำตาล สีเหลือง สีส้มและสีขาว ตามลักษณะของพลาสติกต้นกำเนิด

12.3.2 รูปร่างของไมโครพลาสติก

จากการศึกษาลักษณะของไมโครพลาสติกตามรูปร่างนั้นจะมีรูปร่างที่หลากหลาย มีรูปร่างแบบ เส้นใย ชิ้นส่วนไร้รูปแบบ แผ่นพิล์ม แผ่นแข็ง ทรงกลม แท่ง เส้นใยที่ไม่ใช่เชือก โดยรูปร่างที่พบจะขึ้นอยู่กับพื้นที่ที่เป็นแหล่งกำเนิดว่าเป็นพื้นที่ที่ทำเกี่ยวกับอะไรหรือมีกิจกรรมใดที่เกี่ยวกับลักษณะที่เกิดขึ้นของไมโครพลาสติก

12.4 พิษจากสารอินทรีย์ที่ตกค้างในไมโครพลาสติก

เนื่องจาก ไมโครพลาสติกมีพื้นที่ผิวมากเมื่อเทียบกับปริมาตรและเมื่อประกอบกับคุณสมบัติของพลาสติกที่เป็นไฮdrophobic (hydrophobic) จึงทำให้สามารถดูดซับสารอินทรีย์ได้ เช่น สารในกลุ่ม POPs (persistent organic pollutants) มีอยู่ 12 ชนิด ดีตีที่คลอเดน อัลตริน เดลตрин เอ็นดริน มิเรกซ์ทือกชาพิน เอปตากลอร์เอกไซคลอโรเบนซิน พีซีบีได ออกซินและฟิวราณ สารเคมีเหล่านี้เข้าสู่สิ่งแวดล้อมได้หลายทางทั้งจากโรงงาน ท่อน้ำทิ้ง พื้นที่เกษตรกรรม รวมถึงเป็นส่วนผสมอยู่ในผลิตภัณฑ์เครื่องใช้ต่าง ๆ ซึ่งจะถูกปล่อยผ่านระบบการกำจัดกาก หลุมฝังกลบหรือเตาเผาขยะสาร (POPs) มีความเป็นพิษสูงไม่ละลายในน้ำแต่ละลายได้ดีในไขมัน ทำให้ง่ายต่อการเข้าไปสะสมอยู่ในเนื้อเยื่อไขมันของมนุษย์และสิ่งมีชีวิต (สถาบันวิจัยและพัฒนาทรัพยากรทางทะเลและป่าชายเลน, 2557)

12.5 ผลกระทบจากไมโครพลาสติกต่อสิ่งมีชีวิตทางทะเล

เนื่องจากไมโครพลาสติกมีขนาดที่เล็กและพบการแพร่กระจายอยู่ในสิ่งแวดล้อมทางทะเลทั้งในน้ำและตะกอนดิน จึงทำให้สิ่งมีชีวิตในทะเลกินเอาไมโครพลาสติกเข้าไปแล้วทำให้เกิดการสะสมในห่วงโซ่ออาหาร น้ำทะเลจะถูกปนเปื้อนกับมลพิษอินทรีย์และอนินทรีย์และพลาสติกจะดูดซับสารปนเปื้อนเหล่านี้ เช่น ยาฆ่าแมลง ดีดีที พีซีบี (PCBs) เป็นต้น ซึ่งสารเหล่านี้จะก่อให้เกิดปัญหาด้านสุขภาพแบบเรื้อรังรวมไปถึงการรบกวนระบบออร์โนนการเปลี่ยนแปลงของยืนและเป็นสารก่อมะเร็งเมื่อไมโครพลาสติกถูกกินโดยปลา นกหรือสัตว์ทะเลสารต่างๆก็จะถูกปล่อยออกมาน้ำสู่สัตว์เหล่านั้น (ปิติพงษ์ ธรรมนรต์ และคณะ, 2559)

12.6 ข้อมูลพื้นที่ทำการศึกษา

12.6.1 ชายหาดแหลมสน อ่อน

ชายหาดแหลมสน อ่อนติดกับประติมารอมนางเงือก ไปทางตะวันตกเฉียงเหนือด้านทิศตะวันตกของแหลมสน อ่อนเป็นทะเลสาบสงขลา บริเวณรอบ ๆ แหลมสน อ่อนมีถนน สามารถชมทิวทัศน์ได้ทั้งทะเลหลวงและทะเลสาบ นอกจากนี้ยังมีต้นสนทะเลขึ้นเรียงรายตลอดแนว แหลมสน อ่อนเป็นบริเวณร่มรื่นไปด้วยทิวต้นสนทะเลตลอดแนวหาด สมชื่อ ริมทะเล บริเวณปลายแหลมสน อ่อนจะเป็นที่ประดิษฐานอนุสาวรีย์กรมหลวงชุมพรเขตอุดมศักดิ์ ซึ่งได้รับก่อตั้งโดยกลุ่มไทยอาสาป้องกันชาติในทะเล จังหวัดสงขลา อันได้แก่ ผู้ประกอบอาชีพอันเกี่ยวเนื่องกับการปักร่องร่วมกับกองทัพเรือสร้างเมื่อปี 2530 เพื่อให้ชาวเรือทุกคนได้สักการบูชาเพื่อความเป็นศิริมงคลและขอพรก่อนออกเป็นภารกิจในท้องทะเล นอกจากนี้แหลมสน อ่อนยังเป็นจุดชมวิวที่นักท่องเที่ยวสามารถชมทิศนี้ภาพอันสวยงามของทะเลสาบสงขลาและมองเห็นเกาะหนูได้ใกล้และชัดเจนที่สุด รอบ ๆ บริเวณมีที่นั่งพักผ่อนยามเย็นสำหรับประชาชนและมีการจัดสถานที่เป็นสวนสุขภาพเพื่อส่งเสริมการออกกำลังกายให้กับคนในพื้นที่ใกล้เคียง (กรมทรัพยากรรัตน์, 2557)

12.6.2 สภาพภูมิอากาศ

ชายหาดแหลมสน อ่อนอยู่ในจังหวัดสงขลาตั้งอยู่ในเขตอิทธิพลของลมมรสุมเมืองร้อน มีลมมรสุมพัดผ่าน คือ ลมมรสุมตะวันออกเฉียงใต้เริ่มตั้งแต่เดือนพฤษภาคมถึงกันยายน เดือนตุลาคม ลมมรสุมตะวันออกเฉียงเหนือ เริ่มตั้งแต่เดือนตุลาคมถึงเดือนกุมภาพันธ์ จากการพัดผ่านของลมมรสุม ที่มีแหล่งกำเนิดจากบริเวณแทกต่างกัน ทำให้จังหวัดสงขลา มี 2 ฤดู คือ ฤดูร้อนเริ่มตั้งแต่กลางเดือนกุมภาพันธ์ถึงกลางเดือนพฤษภาคม ระยะนี้เป็นช่วงเวลาที่มีอากาศร้อนจัดที่สุดในเดือนเมษายน ตะวันออกเฉียงเหนือ หรือฤดูหนาวแล้งอากาศจะเริ่มร้อน และมีอากาศร้อนจัดที่สุดในเดือนเมษายน

ส่วนคุณภาพแบ่งออกเป็น 2 ระยะ คือ คุณภาพจากการสูตร化วันตกเฉียงใต้ตั้งแต่กลางเดือนพฤษภาคมถึงกลางเดือนตุลาคม ฝนจะเคลื่อนตัวมาจากด้านตะวันตก (ทະเลอันตามัน) ส่วนมากฝนตกในช่วงบ่ายถึงค่ำ ปริมาณและการกระจายของฝนจะน้อยกว่าช่วงมรสุมตะวันออก คุณภาพจากการสูตร化วันออกเฉียงเหนือตั้งแต่กลางเดือนตุลาคมถึงกลางเดือนกุมภาพันธ์ ฝนเคลื่อนตัวมาจากด้านตะวันออก (อ่าวไทย) ฝนจะตกชุกหนาแน่น (กรมทรัพยากรธรณี, 2557)

เอกสารและงานวิจัยที่เกี่ยวข้อง

สถาบันวิจัยและพัฒนาทรัพยากรทางทะเลและป่าชายเลนและคณะเทคโนโลยีทางทะเลมหาวิทยาลัยบูรพา (2557) ได้ทำการสำรวจและจำแนกตัวอย่างขยะทะเลประเภทไมโครพลาสติก เป็นการศึกษาตัวอย่างไมโครพลาสติกในบริเวณชายหาดคุ้งวิมานและชายหาดเจ้าหลวง จังหวัดจันทบุรี โดยทำการสู่มเก็บตัวอย่างดินตะกอนและตินบริเวณชายหาด 3 จุด มีการวางแผนสำรวจและเก็บตัวอย่างโดยใช้คอร์เก็บตัวอย่างดินตามความลึกนำมารวบรวมหักห้ามจากนั้นนำมาส่องด้วยกล้องจุลทรรศน์เพื่อดูชนิด รูปร่างและสีของไมโครพลาสติกที่พบ โดยรูปร่างที่พบมีทั้งหมด 8 รูปร่าง ได้แก่ เส้นใย ก้อนไม่มีรูปแบบ แผ่นฟิล์ม แผ่นแข็ง ทรงกลม แท่ง เส้นใยที่ไม่ใช่เชือกและอื่นๆ ส่วนสีแบ่งออกเป็น 12 สี คือ สีขาวขุ่น สีขาวใส สีแดง สีดำ สีน้ำเงิน สีฟ้า สีเขียว สีเทา สีน้ำตาล สีเหลือง สีส้ม สีม่วง จากผลการศึกษาสรุปว่าไมโครพลาสติกบนชายหาดพบรูปร่างแบบเส้น ไข่ในชายหาดเจ้าหลวงและพบรูปร่างแบบชิ้นส่วนหรือรูปแบบที่หาดคุ้งวิมานส่วนใหญ่ในตะกอนดินจะพบรูปร่างแบบเส้นยาวมากที่สุดส่วนสีของไมโครพลาสติกสีที่พบมากที่สุดคือ สีขาวขุ่น และสีขาวใสทั้งสองหาด

ปิติพงษ์ ธรรมมนต์ และคณะ (2559) ได้ศึกษาการปนเปื้อนของไมโครพลาสติกในหอยสองฝาบริเวณชายหาดเจ้าหลวงและชายหาดคุ้งวิมาน จังหวัดจันทบุรี การศึกษาครั้งนี้ทำการสำรวจไมโครพลาสติก ในชายหาด 2 บริเวณ คือ ชายหาดเจ้าหลวงและชายหาดคุ้งวิมาน ทำการเก็บตัวอย่างในคุณภาพเดือนสิงหาคมและกันยายน เก็บตัวอย่าง 3 จุดซึ่งแต่ละจุดจากบริเวณน้ำขึ้นสูงสุดและน้ำลงสูงสุด โดยใช้กรอบตัวอย่างขนาด 100×100 เซนติเมตร ลึก 15 เซนติเมตร จากนั้นนำไปจำแนกชนิด วัดขนาดโดยใช้กล้องจุลทรรศน์จากการศึกษารูปร่างของไมโครพลาสติกที่พบมีทั้งหมด 6 รูปร่าง ได้แก่ เส้นใย ชิ้นส่วนไม่มีรูปแบบ แผ่นฟิล์ม แผ่นแข็ง ทรงกลม แท่ง ส่วนสีของไมโครพลาสติกสามารถจำแนกสีออกเป็น 10 สี ได้แก่ ขาวขุ่น ขาวใส แดง ดำ น้ำเงิน ฟ้า เขียว เทา และน้ำตาล สรุปผลการทดลองมีการปนเปื้อนของไมโครพลาสติกในหอยสองฝาคือหอยเสียบและหอยกระบุก รูปร่างของขยะประเภทไมโครพลาสติกที่พบมากที่สุดเป็นแบบชนิดเส้นยาวมากที่สุดรองลงมาคือชิ้นส่วนหรือรูปแบบส่วนสีของขยะประเภทไมโครพลาสติกที่พบมากที่สุดคือสีดำ สีฟ้า สีขาว

GESAMP (2015) ได้ศึกษาเรื่องไมโครพลาสติกในมหาสมุทร โดยทำการศึกษาไมโครพลาสติก ว่าเป็นอนุภาคพลาสติกเส้นผ่าศูนย์กลาง < 5 มิลลิเมตร ซึ่งรวมถึงอนุภาคขนาดเล็กถึง 10 นาโนเมตร เกิดขึ้นเนื่องจากการกระจายตัวของวัตถุพลาสติกขนาดใหญ่พลาสติกถูกทิ้งและไหลลงสู่มหาสมุทร อันเป็นผลมาจากการดัดแปลงทางทะเลและมีการประมาณการที่เชื่อถือได้ของปริมาณที่เกี่ยวข้องในระดับภูมิภาคหรือระดับโลก ไมโครพลาสติกกระจายไปทั่วมหาสมุทรที่เกิดขึ้นบนชายฝั่งทะเล น้ำผิวดินและตะกอนกันทะเลจากแบบอาร์กติกไปจนถึงแอนตาร์กติก กลางมหาสมุทรรวมทั้งใกล้เคียงกับศูนย์กลางประชากร เส้นทางการเดินเรือและแหล่งสำคัญอื่น ๆ มีการค้นพบไมโครพลาสติกภายในร่างกายของสัตว์ทะเลที่หลักหลายสิ่งมีชีวิตรวมทั้งสัตว์ไม่มีกระดูกสันหลัง ปลา นก และสัตว์เลี้ยงลูกด้วยนม พลาสติกมักมีสารเคมีเพิ่มขึ้นในระหว่างการผลิตและสามารถดูดซับสารปนเปื้อนเข้มข้น เช่น สารกำจัดศัตรูพืช จากทะเลโดยรอบเป็นหลักฐานใหม่ของการถ่ายโอนสารเคมี จากพลาสติกที่กินเข้าไปในเนื้อเยื่อ ไมโครพลาสติกขนาดเล็กมาก (ขนาดนาโน) จะส่งผลต่อสิ่งแวดล้อม เช่น ห้องส้วมและอาจส่งผลต่อสมรรถภาพของร่างกาย

Van Cauwenbergh et al. (2014) ได้ทำการศึกษาเรื่องมลพิษของไมโครพลาสติกในตะกอนทะเลเล็ก ไมโครพลาสติก เป็นอนุภาคพลาสติกขนาดเล็ก (< 1 มม.) ที่มีจากการย่อยสลายพลาสติกขนาดใหญ่ เช่น ไมโครพลาสติกเหล่านี้ได้รับการสะสมในสภาพแวดล้อมทางทะเลนานาหลายศตวรรษและได้รับการตรวจพบตลอดทั้งน้ำทะเลและตะกอนชายฝั่ง ทั่วโลกจนถึงปัจจุบันยังไม่เคยมีการระบุว่าการปรากฏตัวของเม็ดพลาสติกในตะกอนนั้นจำกัดอยู่ที่ใดหรืออยู่ในตะกอนทะเลเล็กนี้เป็นครั้งแรกที่ได้ แสดงให้เห็นว่าพลาสติกชนิดนี้ได้มาถึงจุดสูงสุดของสภาพแวดล้อมทางทะเล อนุภาคพลาสติกที่มีขนาดอยู่ในช่วง micrometer ในตะกอนทะเลเล็กที่เก็บรวบรวมไว้ที่สีแห่งซึ่งเป็นแหล่งที่อยู่อาศัยในทะเลเล็กต่างๆ ความลึกตั้งแต่ $1,100$ ถึง $5,000$ เมตร ผลของการทดลองแสดงให้เห็นว่ามลพิษของไมโครพลาสติก มีการแพร่กระจายไปทั่วทะเลและมหาสมุทรทั่วโลกเข้าไปในทะเลเล็กที่ห่างไกล วิจัยนี้ใช้วิธีการทดลองโดยการสกัดไมโครพลาสติกได้ ดำเนินการในตัวอย่างตะกอนดินจำนวน 11 ตัวอย่าง จากสถานที่ต่างๆ ในมหาสมุทรแอตแลนติกและทะเลเมดิเตอเรเนียนจาก $1,176$ เป็น $4,844$ เมตร ในระดับความลึกที่แตกต่างกันของสภาพแวดล้อมทางทะเล ตัวอย่างจะถูกร่อนด้วยถุงตะกรงขนาด 1 มิลลิเมตร ตะกรงตาข่าย 35 มิลลิเมตร โดยใช้โซเดียมไอกอไซด์ 1.6 กรัมกรองด้วยกระดาษกรองเมมเบรนขนาด 0.8 มิลลิเมตร ไมโครพลาสติก ถูกวิเคราะห์โดยใช้ microraman spectroscopy สรุปผลการทดลองในสีแห่งที่ทำการศึกษาจากตัวอย่างตะกอนชั้น 1 เซนติเมตร รวมห้องน้ำภาคถูกระบุว่าเป็นพลาสติกที่เป็นไปได้ เป็นอนุภาคที่มาจาก Nile Deep Sea Fan จากทางใต้มหาสมุทรและสามอนุภาคจาก Porcupine Abyssal Plain ไมโครพลาสติก microplastics สามารถเข้าถึงค่าเฉลี่ย

ความอุดมสมบูรณ์ของพลาสติกจำนวน 0.5 ไมโครเมตรต่อ 25 เซนติเมตร) ในด้านบนของตะกอนความเข้มข้นสูงสุดของไมโครพลาสติก พบในตะกอนของ (Porcupine Abyssal Plain) เม็ดพลาสติกมีความเข้มข้นเฉลี่ย 1 อนุภาคต่อ 25 เซนติเมตร งานวิจัยนี้แสดงให้เห็นว่าเป็นครั้งแรกที่มีการใช้พลาสติกจะอยู่ในชั้นดินตะกอนชั้นบนสุดของพื้นทะเลลึก อาจจะยังไม่มีการระบุที่ชัดเจนว่าอนุภาคเหล่านี้จะเคลื่อนย้ายจากพื้นผิวไปยังด้านล่างของมหาสมุทร

Marcos (2017) Why Microplastic Debris May Be Threat to Our Seas เป็นการศึกษาว่า ขยะพลาสติกขนาดเล็กอาจเป็นภัยคุกคามใหญ่ต่อไปในอนาคต โดยศึกษาเกี่ยวกับผลกระทบของขยะในทะเลและชายหาดจากมหาสมุทรและสัตว์น้ำในมหาสมุทร ขยะในทะเลและชายหาดผลกระทบของไมโครพลาสติก ถ้าสิ่งมีชีวิตในทะเลกินไมโครพลาสติกอาจจะเป็นอันตรายต่อระบบนิเวศของมหาสมุทร รวมทั้งร้ายแรงต่อสิ่งมีชีวิต ไมโครไฟเบอร์และไมโครพลาสติกจะเข้าไปอยู่ในร่างกายของสัตว์ สัตว์อาจต้องทำงานมากขึ้นและใช้พลังงานมากขึ้นในการกำจัด ไมโครพลาสติกเป็นปัญหาที่แพร่หลายและสำคัญในน้ำแคลิฟอร์เนีย เช่น เดียวกับทั่วโลกนักวิจัยได้พบนกที่ตายภายในท้องเต็มไปด้วยพลาสติก สารเคมีเหล่านี้ทำหน้าที่เหมือนฟองน้ำซึ่งซับสารมลพิษจากน้ำและสารพิษจะไปสู่สิ่งมีชีวิตทางทะเล และงานวิจัยนี้ยังพบว่าระบบย่อยอาหารของปูหลายชนิด ตามชายฝั่งแคลิฟอร์เนียพบไมโครพลาสติกถึง 100 ชิ้น/kg วิจัยเชิงลึกที่น้ำเข้มข้นกว่า 1.2 ไมโครเมตร เพื่อให้เข้าใจถึงผลกระทบของไมโครพลาสติกได้ดียิ่งขึ้น ผลของการวิจัยนี้จะช่วยให้แคลิฟอร์เนียปกป้องทรัพยากรทางทะเลและชายฝั่งที่มีคุณค่า

13 วิธีการดำเนินการวิจัย

13.1 เครื่องมือ/อุปกรณ์

- 1) สายวัด หรือ ตลับเมตร
- 2) พลั่วตัดิน
- 3) ถุงเก็บตัวอย่าง
- 4) ถ้อวัดสนาม
- 5) กระดาษกรอง glass microfiber (GF/C) ขนาดรูพรุน 1.2 ไมโครเมตร
ยี่ห้อ Whatman
- 6) แท่งแก้วคนสารละลาย
- 7) บีกเกอร์ ขนาด 1,000 มิลลิลิตร
- 8) กระบอกตวง ขนาด 1,000 มิลลิลิตร
- 9) ขวดปรับปริมาตร ขนาด 500 มิลลิลิตร

- 10) กรอบเก็บตัวอย่าง (quatdrate) ขนาด 20×20 เซนติเมตร
- 11) เครื่องซั่งทศนิยม 2 ตำแหน่ง และ เครื่องซั่งทศนิยม 4 ตำแหน่ง
- 12) เครื่องกรวนสาร (hotplate stirrer)
- 13) GPS (global positioning system)
- 14) ปั๊มสูญญากาศ (vacuum pump)
- 15) ชุดกรองสูญญากาศ (vacuum filter set)
- 16) ตู้อบ (oven ; hot air)
- 17) ตู้ดูดความชื้น (desiccator)
- 18) กล้องจุลทรรศน์แบบ stereo microscope และกล้องจุลทรรศน์แบบ bright field

13.2 สารเคมี

- 1) โซเดียมคลอไรด์ (NaCl)
- 2) ไฮโดรเจนperออกไซด์ (H_2O_2) ร้อยละ 30
- 3) เพอร์ซัลเฟต (FeSO_4) 0.05 M

13.3 การสำรวจ

งานวิจัยในครั้งนี้ทำการเก็บตัวอย่างทรายชายหาดบริเวณชายหาดแหลมสน อ่อน ตำบลบ่ออย่าง อำเภอเมือง จังหวัดสงขลา ตั้งแต่บริเวณอนุสาวรีย์กรมหลวงชุมพรเขตอุดมศักดิ์ถึง บริเวณประติมากรรมนางเงือกเป็นระยะทางประมาณ 3.27 กิโลเมตร



ภาพที่ 2 จุดเก็บตัวอย่างทรายชายหาดบริเวณแหลมสน อ่อน ตำบลบ่ออย่าง อำเภอเมือง จังหวัดสงขลา

ที่มา: Google Earth (2018)

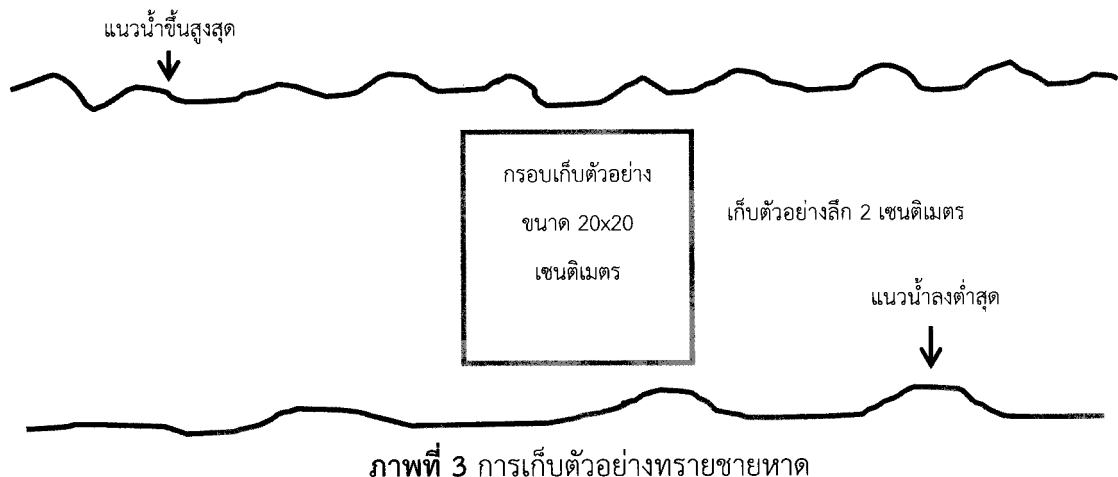
ได้กำหนดพิกัดจุดเก็บตัวอย่างโดยเครื่อง GPS (global positioning system) ยี่ห้อ GARMIN รุ่น etrexH ซึ่งพิกัดของแต่ละจุดเก็บตัวอย่างแสดงดังแสดงในตารางที่ 13.2

ตารางที่ 1 แสดงพิกัดของจุดเก็บตัวอย่าง

จุดเก็บตัวอย่าง	พิกัด X	พิกัด Y
L1	674574	799626
L2	674754	799394
L3	674866	799110
L4	674979	798840
L5	675096	798567
L6	675208	798300
L7	675379	798060
L8	675597	797863
L9	675882	797868
L10	676168	797865

13.3. การเก็บตัวอย่างรายชาหยหาด

เก็บตัวอย่างรายตามแนวนานา กับแนวราวยาหยหาดที่บริเวณรอยน้ำขึ้นสูงสุดและรอยน้ำลงต่ำสุด โดยวง กรอบเก็บตัวอย่าง (quadrat) ขนาด 20×20 เซนติเมตร (ภาพที่ 3) และเก็บรายลีก 2 เซนติเมตร ใส่ในถุงเก็บตัวอย่าง ระบบสถานที่และวันที่เก็บตัวอย่าง นำรายกลับมาวิเคราะห์ในห้องปฏิบัติการสิ่งแวดล้อม ศูนย์วิทยาศาสตร์ และอาคารปฏิบัติการเทคโนโลยีชีวภาพ (biotechnology) มหาวิทยาลัยราชภัฏสงขลา การศึกษาครั้งนี้ได้ดัดแปลงจากวิธีการเก็บตัวอย่างของสถาบันวิจัยและพัฒนาทรัพยากรทางทะเลและป่าชายเลนและคณะกรรมการเทคโนโลยีทางทะเล มหาวิทยาลัยบูรพา (2557)



13.4 ระยะเวลาที่ทำการวิจัย

การศึกษาครั้งนี้มีระยะเวลาดำเนินการระหว่าง เดือนกรกฎาคม 2560 – เดือนกันยายน 2561 รายละเอียดแผนการดำเนินงานวิจัยแสดงในตารางที่ 1.1

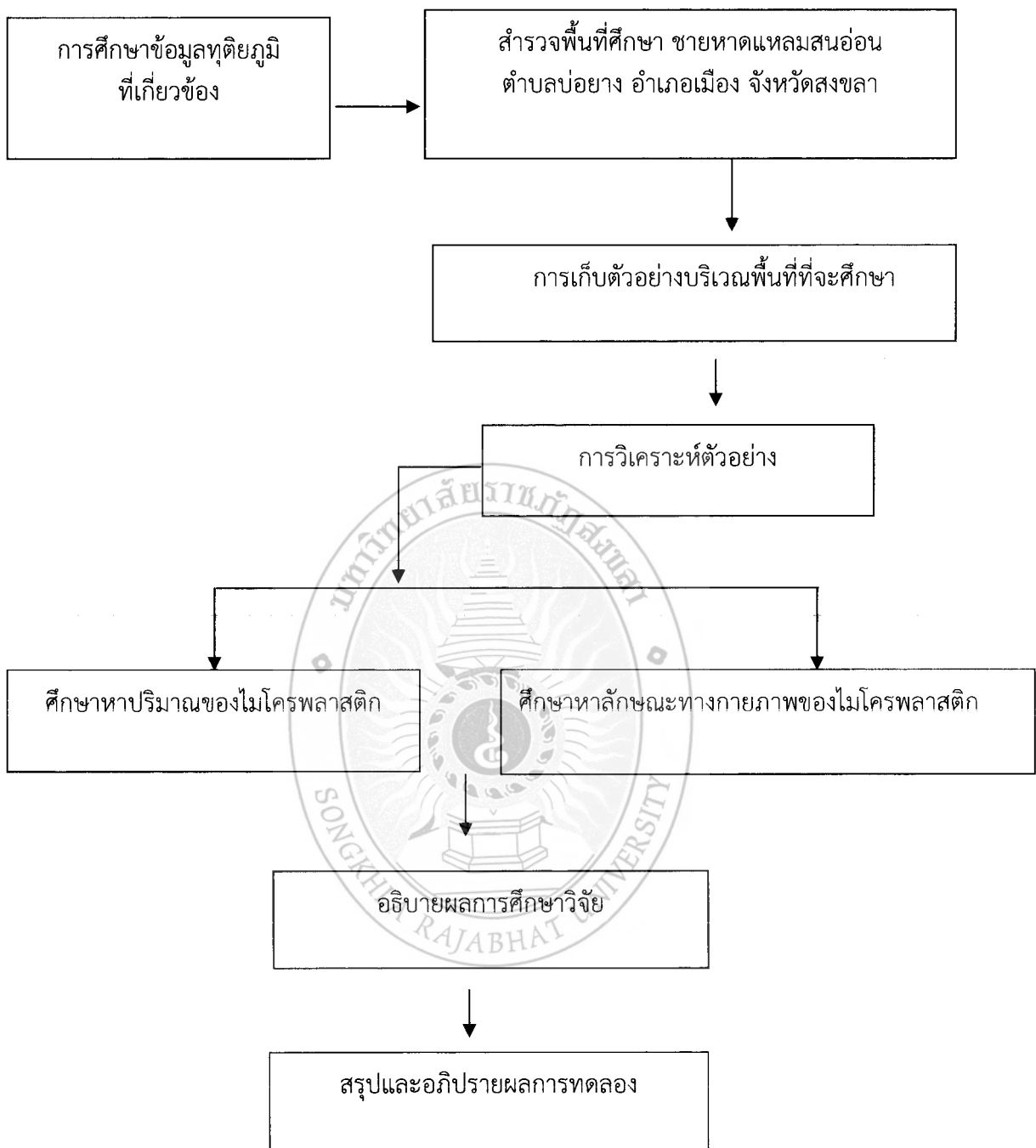
ตารางที่ 2 แผนการดำเนินงานตลอดโครงการ

ขั้นตอนการทำงาน	พ.ศ. 2560						พ.ศ. 2561		
	ก.ค.	ส.ค.	ก.ย.	ต.ค.	พ.ย.	ธ.ค.	ม.ค.	ก.พ.	มี.ค.
1 สำรวจและศึกษาข้อมูล									
2 สอนโครงสร้างวิจัย				█					
3 เก็บตัวอย่างทรัพย์และนำไปทดลองในห้องปฏิบัติการ				██████████					
4 เก็บรวมข้อมูลเพื่อทำรายงาน					██████████				
5 สอบรายงานความก้าวหน้า						██			
6 ประมวลและวิเคราะห์ข้อมูล									
7 สรุปผลการวิจัย						██			
8 สอนจบ							██		
9 จัดทำรายงานฉบับสมบูรณ์							██		

15 งบประมาณ

ตารางที่ 3 รายการงบประมาณตลอดโครงการ

รายการ	งบประมาณตลอดโครงการ (บาท)
ค่าบริการสืบค้นข้อมูล	500
ค่าวัสดุ	500
ค่าน้ำมันรถ	500
ค่าอุปกรณ์และสารเคมีที่ใช้ในการวิจัย	2,000
ค่าวัสดุสำนักงาน/ค่าถ่ายเอกสาร	1,000
รวม	4,500



ภาพที่ 4 กรอบแนวคิด

16 เอกสารอ้างอิง

กรมควบคุมมลพิษ. (2560). รายงานสถานการณ์ขยะมูลฝอยชุมชนของประเทศไทย ปี พ.ศ. 2559

กรุงเทพฯ: กรมควบคุมมลพิษ, กระทรวงทรัพยากรธรรมชาติและสิ่งแวดล้อม.

กรมทรัพยากรทางทะเลและชายฝั่ง. (2557). microplastics ผลกระทบจากความมักจ่าย. (Online).

<https://www.dmc.go.th/detailAll/24456>

กรมทรัพยากรธรณี. กระทรวงทรัพยากรธรรมชาติและสิ่งแวดล้อม. (2557). การจำแนกเขตเพื่อการจัดการด้านธรณีวิทยาและทรัพยากรธรณี จังหวัดสงขลา. กรมทรัพยากรธรณี. กรุงเทพฯ กระทรวงทรัพยากรธรรมชาติและสิ่งแวดล้อม.

ณิชา บูรณสิงห์. (2559). ขยะพลาสติก: ภัยใกล้ตัว. (Online). http://library2.parliament.go.th/ejournal/content_af/2559/feb2559-7.pdf, 15 เมษายน 2561

ปิติพงษ์ ธรรมนนต์, สุทธิ ไพรสารนทกุล และนภาพร เลียดประطم. (2559). การปนเปื้อนของไมโครพลาสติกในหอยสองฝ่ายเวนช้ายหาดเจ้าหลาว และชัยหาดคุ้งวิมาน จังหวัดจันทบุรี. แก่นเกษตร, 44 ฉบับพิเศษ 1, 738-744.

สถาบันวิจัยและพัฒนาทรัพยากรทางทะเลและป่าชายเลนและคณฑ์เทคโนโลยีทางทะเล มหาวิทยาลัยบูรพา. (2557). การสำรวจและจำแนกตัวอย่างขยะทะเลประเภทไมโครพลาสติก.

กรุงเทพฯ: กรมทรัพยากรทางทะเลและชายฝั่ง.

GESAMP. (2016). sources, fate and effects of microplastics in the marine environment: part two of a global assessment (Kershaw, P.J. and Rochman, C.M., eds). IMO/FAO/UNESCOIOC/UNIDO/WMO/IAEA/UN/UNEP/UNDP Joint Group of Experts on the Scientific Aspects of Marine Environmental Protection. Rep. Stup. GESAMP No. 93, 220p.

Google Earth. (2018). แผนที่ชายหาดแหลมสนอ่อน. Access date September 5, 2018. Available from <https://www.google.earth> แผนที่ชายหาดแหลมสนอ่อน.

Marcos, A. (2017). why microplastic debris may be the next big threat to our seas. California State university Chancellor's office.

Van Cauwenbergh, L., Vanreusel, A., Mees,J, and Janssen.C.R. (2013). microplastic pollution in deep-sea sediments. *Environmental Pollution*, 182,495-499.





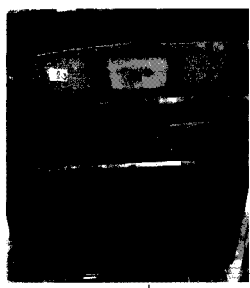
(1) เก็บตัวอย่างรายที่จุดกิ่งกลาง
ระหว่างแนวน้ำขึ้นสูงสุด น้ำลังต่ำสุด



(2) ระยะห่างจุดละ 300 เมตร
วัดด้วยล้อวัดถนน



(3) เก็บรายลีก 2 เซนติเมตรโดย
quadrat ขนาด 20×20 เซนติเมตร



(4) อบให้แห้งที่อุณหภูมิ
60 องศาเซลเซียส



(5) ร่อนรายผ่านตะแกรงร่อน
ขนาดตา 1 มิลลิเมตร

ภาพที่ พช-1 ขั้นตอนการเก็บตัวอย่างรายชาบะริเวณชายหาดแหลมสนอ่อน ตำบลป่าอย่าง อำเภอเมือง จังหวัดสงขลา



(1) ชั้นรายแห้ง 300 กรัม



(2) เติมสารละลายโซเดียมคลอไรด์
5 M 300 มิลลิลิตร



(3) ตั้งทิ้งไว้ให้ตากออก



(4) ตักสารละลายส่วนใส่ด้านบน
ครั้งละ 50 มิลลิลิตร ทำซ้ำ 3 ครั้ง



(5) นำตัวอย่างไปกรองด้วย
ตะแกรงขนาดตา 63 ไมโครเมตร



(6) ตัวอย่างที่ผ่านการกรองแล้ว

ภาพที่ พช-2 ขั้นตอนการทำปริมาณไมโครพลาสติกในตัวอย่างราย



(7) นำตัวอย่างที่ไม่ผ่านตะแกรงขนาดตา 63 ไมโครเมตรไปเข้าตู้อบ



(8) อบที่อุณหภูมิ 60 องศาเซลเซียส 4 ชั่วโมง



(9) ตัวอย่างที่ผ่านตะแกรงขนาดตา 63 ไมโครเมตร



(10) ตัวอย่างที่ไม่ผ่านตะแกรงที่อบจนแห้งแล้ว



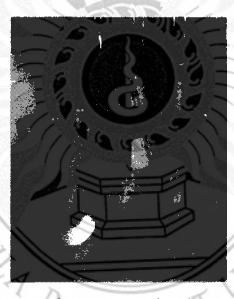
(11) เติม 0.05 M เพื่อรักษาเพต 20 มิลลิลิตร



(12) เติม ร้อยละ 30 ไฮโดรเจน เปอร์ออกไซด์ 20 มิลลิลิตร



(13) เติม ร้อยละ 30 ไฮโดรเจน เปอร์ออกไซด์ครั้งละ 20 มิลลิลิตร จนกว่าสารอินทรีย์จะหมด



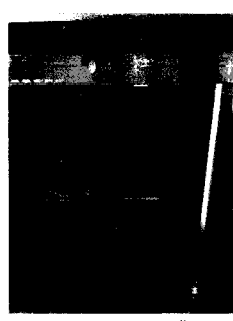
(14) เติมโซเดียมคลอไรด์ 6 กรัม ต่อตัวอย่าง 20 มิลลิลิตร



(15) ทึบให้ตกตะกอน 1 คืน



(16) นำไปกรองด้วยกระดาษกรอง cellulose nitrate ($0.45 \mu\text{m}$)



(17) นำกระดาษกรองไปอบที่ อุณหภูมิ 60 องศาเซลเซียส 4 ชั่วโมง



(18) นำไปส่องด้วยกล้องจลทรรศน์ เพื่อศึกษาเมcroพลาสติก

ภาพที่ พช-2 ขั้นตอนการหาปริมาณไมโครพลาสติกในตัวอย่างทราย (ต่อ)



ผลการศึกษาปริมาณไมโครพลาสติกตามวิธีการวิเคราะห์ที่ 1 - 3

ตารางแสดงผลการศึกษาของวิธีการวิเคราะห์ที่ 1

ตารางที่ ผศ - 1 จำนวนไมโครพลาสติกแต่ละรูปร่างในแต่ละจุดเก็บตัวอย่าง (ชิ้น/500 กรัมน้ำหนักทรายแห้ง)

รูปร่าง	จำนวนไมโครพลาสติก (ชิ้น/500 กรัมน้ำหนักทรายแห้ง)										รวม (ชิ้น)
	L1	L2	L3	L4	L5	L6	L7	L8	L9	L10	
เส้นใย	90	27	13	36	37	33	29	40	25	26	356
ชิ้นส่วนรีรูปแบบ	-	20	1	4	6	8	5	42	32	78	196
ทรงกลม	284	51	226	12	232	145	1302	3545	960	393	7150
แท่ง	2	8	5	2	3	1	3	2	2	-	28
รวม	376	106	245	54	278	187	1339	3629	1019	497	7,730

หมายเหตุ: - หมายถึง ไม่พบไมโครพลาสติกในตัวอย่าง

ตารางที่ ผศ - 2 จำนวนไมโครพลาสติกแต่ละรูปร่างในแต่ละจุดเก็บตัวอย่าง (ชิ้น/กีโลกรัมน้ำหนักทรายแห้ง)

รูปร่าง	จำนวนไมโครพลาสติก (ชิ้น/กีโลกรัมน้ำหนักทรายแห้ง)										รวม (ชิ้น)
	L1	L2	L3	L4	L5	L6	L7	L8	L9	L10	
เส้นใย	180	54	26	72	74	66	58	80	50	52	712
ชิ้นส่วนรีรูปแบบ	-	40	2	8	12	16	10	84	64	156	392
ทรงกลม	568	102	452	24	464	290	2604	7090	1920	786	14300
แท่ง	4	16	10	4	6	2	6	4	4	-	56
รวม	752	212	490	108	556	374	2678	7258	2038	994	15460

หมายเหตุ: - หมายถึง ไม่พบไมโครพลาสติกในตัวอย่าง

ตารางที่ ผศ - 3 ร้อยละของจำนวนไมโครพลาสติกแต่ละรูปร่าง

รูปร่าง	ร้อยละของจำนวนไมโครพลาสติกแต่ละรูปร่าง										
	L1	L2	L3	L4	L5	L6	L7	L8	L9	L10	
เส้นใย	23.9	25.5	5.3	66.7	13.3	17.6	2.2	1.1	2.5	5.2	
ชิ้นส่วนรีรูปแบบ	-	18.9	0.4	7.4	2.2	4.3	0.4	1.2	3.1	15.7	
ทรงกลม	75.5	48.1	92.2	22.2	83.5	77.5	97.2	97.7	94.2	79.1	
แท่ง	0.5	7.5	2.0	3.7	1.1	0.5	0.2	0.1	0.2	-	

หมายเหตุ: - หมายถึง ไม่พบไมโครพลาสติกในตัวอย่าง

ตารางที่ พค - 4 สีของไมโครพลาสติกในแต่ละจุดเก็บตัวอย่าง (ชิ้น/500 กรัมน้ำหนัก抓รายแห้ง)

จุดเก็บ ตัวอย่าง	จำนวนของไมโครพลาสติก (ชิ้น/500 กรัมน้ำหนัก抓รายแห้ง)											รวม (ชิ้น)	
	ขาวขุ่น	ขาวใส	แดง	ดำ	น้ำเงิน	ฟ้า	เขียว	เทา	น้ำตาล	เหลือง	ส้ม		
L1	301	20	6	7	15	-	5	-	3	-	-	6	363
L2	63	19	-	7	7	-	3	-	1	-	-	-	100
L3	226	9	2	7	3	-	-	-	-	2	-	-	249
L4	22	2	-	8	2	-	1	-	1	-	-	-	36
L5	236	9	2	12	4	-	-	-	-	-	-	-	263
L6	149	6	1	6	7	-	1	-	3	-	-	-	173
L7	1,295	17	2	4	3	-	-	-	-	-	-	-	1,321
L8	3,580	28	2	9	6	1	-	-	1	-	-	-	3,627
L9	1,003	43	2	6	1	2	1	-	2	-	-	1	1,061
L10	417	66	2	14	3	-	-	-	12	5	3	-	522
รวม	7,292	219	19	80	51	3	11	-	23	7	3	7	7,715

หมายเหตุ: - หมายถึง ไม่พบไมโครพลาสติกในตัวอย่าง

ตารางที่ พค - 5 ร้อยละของสีของไมโครพลาสติกในแต่ละจุดเก็บตัวอย่าง

จุดเก็บตัวอย่าง	ร้อยละของไมโครพลาสติกแต่ละสี											
	ขาวขุ่น	ขาวใส	แดง	ดำ	น้ำเงิน	ฟ้า	เขียว	เทา	น้ำตาล	เหลือง	ส้ม	ม่วง
L1	82.92	5.51	1.65	1.93	4.13	-	1.38	-	0.83	-	-	1.65
L2	63.00	19.00	-	7.00	7.00	-	3.00	-	1.00	-	-	-
L3	90.76	3.61	0.80	2.81	1.20	-	-	-	-	0.80	-	-
L4	61.11	5.56	-	22.22	5.56	-	2.78	-	2.78	-	-	-
L5	89.73	3.42	0.76	4.56	1.52	-	-	-	-	-	-	-
L6	86.13	3.47	0.58	3.47	4.05	-	0.58	-	1.73	-	-	-
L7	98.03	1.29	0.15	0.30	0.23	-	-	-	-	-	-	-
L8	98.70	0.77	0.06	0.25	0.17	0.03	-	-	0.03	-	-	-
L9	94.53	4.05	0.19	0.57	0.09	0.19	0.09	-	0.19	-	-	0.09
L10	79.89	12.64	0.38	2.68	0.57	-	-	-	2.30	0.96	0.57	-
รวม	94.52	2.84	0.25	1.04	0.66	0.04	0.14	-	0.30	0.09	0.04	0.09

หมายเหตุ: - หมายถึง ไม่พบไมโครพลาสติกในตัวอย่าง

ตารางที่ พค - 6 จำนวนสีของไม้โครงพลาสติก (ชิ้น/500 กรัมน้ำหนักทรายแห้ง)

รูปร่าง	จำนวนของไม้โครงพลาสติก (ชิ้น/500 กรัมน้ำหนักทรายแห้ง)											รวม (ชิ้น)	
	ขาวขุ่น	ขาวใส	แดง	ดำ	น้ำเงิน	ฟ้า	เขียว	เทา	น้ำตาล	เหลือง	ส้ม	ม่วง	
เส้นใย	93	75	16	57	50	-	3	-	11	1	-	7	313
ชิ้นส่วนไร้รูปแบบ	101	66	3	16	1	3	1	-	9	6	3	-	209
ทรงกลม	7,094	74	-	7	-	-	7	-	1	-	-	-	7,183
แท่ง	4	4	-	-	-	-	-	-	2	-	-	-	10
รวม	7,292	219	19	80	51	3	11	-	23	7	3	7	7,715

หมายเหตุ: - หมายถึง ไม่พบไม้โครงพลาสติกในตัวอย่าง

ตารางที่ พค - 7 ร้อยละของสีของไม้โครงพลาสติก

รูปร่าง	ร้อยละของไม้โครงพลาสติกแต่ละสี											รวม (ชิ้น)
	ขาวขุ่น	ขาวใส	แดง	ดำ	น้ำเงิน	ฟ้า	เขียว	เทา	น้ำตาล	เหลือง	ส้ม	
เส้นใย	29.71	23.96	5.11	18.21	15.97	-	0.96	-	3.51	0.32	-	2.24
ชิ้นส่วนไร้รูปแบบ	48.33	31.58	1.44	7.66	0.48	1.44	0.48	-	4.31	2.87	1.44	-
ทรงกลม	98.76	1.03	-	0.10	-	-	0.10	-	0.01	-	-	-
แท่ง	40.00	40.00	-	-	-	-	-	-	20.00	-	-	-
รวม	94.52	2.84	0.25	1.04	0.66	0.04	0.14	-	0.30	0.09	0.04	0.09

หมายเหตุ: - หมายถึง ไม่พบไม้โครงพลาสติกในตัวอย่าง

ตารางแสดงผลการทดลองของวิธีการวิเคราะห์ที่ 2

ตารางที่ พค - 8 จำนวนของไม้โครงพลาสติก (ชิ้น/300 กรัมน้ำหนักทรายแห้ง)

รูปร่าง	จำนวนไม้โครงพลาสติก (ชิ้น/300 กรัมน้ำหนักทรายแห้ง)			รวม (ชิ้น)
	L6	L7	L8	
เส้นใย	42	28	39	109
ชิ้นส่วนไร้รูปแบบ	14	5	14	33
ทรงกลม	-	46	15	61
รวม	56	79	68	203

หมายเหตุ: - หมายถึง ไม่พบไม้โครงพลาสติกในตัวอย่าง

ตารางที่ พค - 9 จำนวนไม้โครงพลาสติก (ชิ้น/กิโลกรัมน้ำหนักทรายแห้ง)

รูปร่าง	จำนวนไม้โครงพลาสติก (ชิ้น/กิโลกรัมน้ำหนักทรายแห้ง)			รวม (ชิ้น)
	L6	L7	L8	
เส้นใย	140.0	93.3	130.0	363.3
ชิ้นส่วนไร้รูปแบบ	46.7	16.7	46.7	110.0
ทรงกลม	-	153.3	50.0	203.3
รวม	186.7	263.3	226.7	676.7

หมายเหตุ: - หมายถึง ไม่พบไม้โครงพลาสติกในตัวอย่าง

ตารางที่ พค - 10 ร้อยละของไมโครพลาสติกแต่ละรูปปั้ง

รูปปั้ง	จำนวนไมโครพลาสติก (ร้อยละ)		
	L6	L7	L8
เส้นใย	75.0	35.4	57.4
ชิ้นส่วนรีรูปแบบ	25.0	6.3	20.6
ทรงกลม	-	58.2	22.1

หมายเหตุ: - หมายถึง ไม่พบไมโครพลาสติกในตัวอย่าง

ตารางแสดงผลการทดลองของวิธีการวิเคราะห์ที่ 3

ตารางที่ พค - 11 จำนวนไมโครพลาสติกในตัวอย่างที่มีขนาดมากกว่า 63 ไมโครเมตร (ชิ้น/300 กรัมน้ำหนักทรายแห้ง)

รูปปั้ง	จำนวนไมโครพลาสติกขนาด > 63 μm (ชิ้น/300 กรัมทรายแห้ง)										รวม(ชิ้น)
	L1	L2	L3	L4	L5	L6	L7	L8	L9	L10	
เส้นใย	52	59	17	27	35	22	44	30	54	54	394
ชิ้นส่วนรีรูปแบบ	113	41	12	7	9	7	10	8	21	14	242
ทรงกลม	1	1	2	-	-	-	3	9	5	10	31
แท่ง	-	-	-	1	-	-	-	1	2	3	7
รวม	166	101	31	35	44	29	57	48	82	81	674

หมายเหตุ: - หมายถึง ไม่พบไมโครพลาสติกในตัวอย่าง

ตารางที่ พค - 12 จำนวนไมโครพลาสติกในตัวอย่างที่มีขนาดน้อยกว่าขนาดน้อยกว่า 63 ไมโครเมตร (ชิ้น/300 กรัมน้ำหนักทรายแห้ง)

รูปปั้ง	จำนวนไมโครพลาสติกในตัวอย่างที่มีขนาด < 63 μm (ชิ้น/300 กรัมทรายแห้ง)										รวม(ชิ้น)
	L1	L2	L3	L4	L5	L6	L7	L8	L9	L10	
เส้นใย	43	55	16	46	13	23	10	18	33	18	275
ชิ้นส่วนรีรูปแบบ	19	14	5	6	4	5	12	8	20	13	106
ทรงกลม	1	-	-	-	-	1	4	5	-	1	12
แท่ง	2	1	-	-	-	-	1	1	2	-	7
รวม	65	70	21	52	17	29	27	32	55	32	400

หมายเหตุ: - หมายถึง ไม่พบไมโครพลาสติกในตัวอย่าง

ตารางที่ พค - 13 จำนวนไมโครพลาสติกในตัวอย่างที่มีขนาดมากกว่า 63 ไมโครเมตร (ชิ้น/กิโลกรัมน้ำหนักทรายแห้ง)

รูปร่าง	จำนวนไมโครพลาสติกในตัวอย่างที่มีขนาด $> 63 \mu\text{m}$ (ชิ้น/กิโลกรัมน้ำหนักทรายแห้ง)										รวม (ชิ้น)
	L1	L2	L3	L4	L5	L6	L7	L8	L9	L10	
เส้นใย	173	197	57	90	117	73	147	100	180	180	1313
ชิ้นส่วนไม้รูปแบบ	377	137	40	23	30	23	33	27	70	47	807
ทรงกลม	3	3	7	-	-	-	10	30	17	33	103
แท่ง	-	-	-	3	-	-	-	3	7	10	23
รวม	553	337	103	117	147	97	190	160	273	270	2,247

หมายเหตุ: - หมายถึง ไม่พบไมโครพลาสติกในตัวอย่าง

ตารางที่ พค - 14 จำนวนไมโครพลาสติกในตัวอย่างที่มีขนาดน้อยกว่า 63 ไมโครเมตร (ชิ้น/กิโลกรัมน้ำหนักทรายแห้ง)

รูปร่าง	จำนวนไมโครพลาสติกในตัวอย่างที่มีขนาด $< 63 \mu\text{m}$ (ชิ้น/กิโลกรัมน้ำหนักทรายแห้ง)										รวม(ชิ้น)
	L1	L2	L3	L4	L5	L6	L7	L8	L9	L10	
เส้นใย	143	183	53	153	43	77	33	60	110	60	917
ชิ้นส่วนไม้รูปแบบ	63	47	17	20	13	17	40	27	67	43	353
ทรงกลม	3	-	-	-	-	3	13	17	-	3	40
แท่ง	7	3	-	-	-	-	3	3	7	-	23
รวม	217	233	70	173	57	97	90	107	183	107	1,333

หมายเหตุ: - หมายถึง ไม่พบไมโครพลาสติกในตัวอย่าง

ตารางที่ พค - 15 ร้อยละของไมโครพลาสติกแต่ละรูปร่าง (ขนาดมากกว่า 63 ไมโครเมตร)

รูปร่าง	จำนวนร้อยละไมโครพลาสติกขนาด $> 63 \mu\text{m}$										
	L1	L2	L3	L4	L5	L6	L7	L8	L9	L10	
เส้นใย	31.3	58.4	54.8	77.1	79.5	75.9	77.2	62.5	65.9	66.7	
ชิ้นส่วนไม้รูปแบบ	68.1	40.6	38.7	20.0	20.5	24.1	17.5	16.7	25.6	17.3	
ทรงกลม	0.6	1.0	6.5	-	-	-	5.3	18.8	6.1	12.3	
แท่ง	-	-	-	2.9	-	-	-	2.1	2.4	3.7	

หมายเหตุ: - หมายถึง ไม่พบไมโครพลาสติกในตัวอย่าง

ตารางที่ พค - 16 ร้อยละของไมโครพลาสติกแต่ละรูปร่าง (ขนาดน้อยกว่า 63 ไมโครเมตร)

รูปร่าง	ร้อยละของไมโครพลาสติก (ขนาด $< 63 \mu\text{m}$)										
	L1	L2	L3	L4	L5	L6	L7	L8	L9	L10	
เส้นใย	66.2	78.6	76.2	88.5	76.5	79.3	37.0	56.3	60.0	56.3	
ชิ้นส่วนไม้รูปแบบ	29.2	20.0	23.8	11.5	23.5	17.2	44.4	25.0	36.4	40.6	
ทรงกลม	1.5	-	-	-	-	3.4	14.8	15.6	-	3.1	
แท่ง	3.1	1.4	-	-	-	-	3.7	3.1	3.6	-	

หมายเหตุ: - หมายถึง ไม่พบไมโครพลาสติกในตัวอย่าง

ตารางที่ พค - 17 สีของไมโครพลาสติกในแต่ละจุดเก็บตัวอย่าง (ขนาดมากกว่า 63 ไมโครเมตร)

จุดเก็บตัวอย่าง	จำนวนไมโครพลาสติกขนาด > 63 μm (ชิ้น/300 กรัมน้ำหนักทรายแห้ง)												รวม
	ขาวขุ่น	ขาวใส	แดง	ดำ	น้ำเงิน	ฟ้า	เขียว	เทา	น้ำตาล	เหลือง	ส้ม	ม่วง	
L1	6	34	4	71	6	3	4	-	38	-	-	-	166
L2	9	34	5	13	18	2	8	-	9	-	-	3	101
L3	3	11	2	6	1	-	-	-	8	-	-	-	31
L4	2	10	1	8	10	-	-	-	4	-	-	-	35
L5	-	10	-	14	9	2	1	-	8	-	-	-	44
L6	3	9	-	3	4	1	3	-	5	1	-	-	29
L7	5	15	3	12	12	1	1	-	7	-	1	-	57
L8	11	10	2	9	9	-	1	-	5	1	-	-	48
L9	9	38	3	11	7	2	-	-	12	-	-	-	82
L10	18	20	4	10	10	2	1	-	10	2	-	4	81
รวม	66	191	24	157	86	13	19	--	106	4	1	7	674

หมายเหตุ: - หมายถึง ไม่พบไมโครพลาสติกในตัวอย่าง

ตารางที่ พค - 18 สีของไมโครพลาสติกในแต่ละจุดเก็บตัวอย่าง (ขนาดน้อยกว่า 63 ไมโครเมตร)

จุดเก็บตัวอย่าง	จำนวนไมโครพลาสติกในตัวอย่างที่มีขนาด < 63 μm (ชิ้น/300 กรัมน้ำหนักทรายแห้ง)												รวม (ชิ้น)
	ขาวขุ่น	ขาวใส	แดง	ดำ	น้ำเงิน	ฟ้า	เขียว	เทา	น้ำตาล	เหลือง	ส้ม	ม่วง	
L1	8	30	5	9	7	-	1	-	9	-	-	1	65
L2	2	31	2	6	13	2	2	-	12	-	-	-	70
L3	1	4	1	2	3	1	-	-	9	-	-	-	21
L4	3	14	6	14	7	6	-	-	2	-	-	-	52
L5	-	9	-	3	1	1	-	-	3	-	-	-	17
L6	1	13	3	4	5	-	-	-	3	-	-	-	29
L7	4	8	2	6	1	2	-	-	4	-	-	-	27
L8	3	12	3	3	3	-	1	-	7	-	-	-	32
L9	4	16	2	6	10	-	-	-	6	-	-	-	44
L10	2	7	1	6	6	-	1	-	9	-	-	-	32
รวม	28	144	20	59	56	11	6	-	64	-	-	1	389

หมายเหตุ: - หมายถึง ไม่พบไมโครพลาสติกในตัวอย่าง

ตารางที่ พค - 19 ร้อยละของสีของไมโครพลาสติกในแต่ละจุดเก็บตัวอย่าง (ขนาดมากกว่า 63 ไมโครเมตร)

จุดเก็บตัวอย่าง	ร้อยละของสีของไมโครพลาสติกในตัวอย่างที่มีขนาด > 63 μm											
	ขาวขุ่น	ขาวใส	แดง	ดำ	น้ำเงิน	ฟ้า	เขียว	เทา	น้ำตาล	เหลือง	ส้ม	ม่วง
L1	3.61	20.48	2.41	42.77	3.61	1.81	2.41	-	22.89	-	-	-
L2	8.91	33.66	4.95	12.87	17.82	1.98	7.92	-	8.91	-	-	2.97
L3	9.68	35.48	6.45	19.35	3.23	-	-	-	25.81	-	-	-
L4	5.71	28.57	2.86	22.86	28.57	-	-	-	11.43	-	-	-
L5	-	22.73	-	31.82	20.45	4.55	2.27	-	18.18	-	-	-
L6	10.34	31.03	-	10.34	13.79	3.45	10.34	-	17.24	3.45	-	-
L7	8.77	26.32	5.26	21.05	21.05	1.75	1.75	-	12.28	-	1.75	-
L8	22.92	20.83	4.17	18.75	18.75	-	2.08	-	10.42	2.08	-	-
L9	10.98	46.34	3.66	13.41	8.54	2.44	-	-	14.63	-	-	-
L10	22.22	24.69	4.94	12.35	12.35	2.47	1.23	-	12.35	2.47	-	4.94

หมายเหตุ: - หมายถึง ไม่พบไมโครพลาสติกในตัวอย่าง

ตารางที่ พค - 20 ร้อยละของสีของไมโครพลาสติกในแต่ละจุดเก็บตัวอย่าง (ขนาดน้อยกว่า 63 ไมโครเมตร)

จุดเก็บตัวอย่าง	ร้อยละของสีของไมโครพลาสติกในตัวอย่างที่มีขนาด < 63 μm											
	ขาวขุ่น	ขาวใส	แดง	ดำ	น้ำเงิน	ฟ้า	เขียว	เทา	น้ำตาล	เหลือง	ส้ม	ม่วง
L1	12.31	46.15	-	13.85	10.77	-	1.54	-	13.85	-	-	1.54
L2	2.86	44.29	2.86	8.57	18.57	2.86	2.86	-	17.14	-	-	-
L3	4.76	19.05	4.76	9.52	14.29	4.76	-	-	42.86	-	-	-
L4	5.77	26.92	11.54	26.92	13.46	11.54	-	-	3.85	-	-	-
L5	-	52.94	-	17.65	5.88	-	5.88	-	17.65	-	-	-
L6	3.45	44.83	10.34	13.79	17.24	-	-	-	10.34	-	-	-
L7	14.81	29.63	7.41	22.22	3.70	7.41	-	-	14.81	-	-	-
L8	9.38	37.50	9.38	9.38	9.38	-	3.13	-	21.88	-	-	-
L9	9.09	36.36	4.55	13.64	22.73	-	-	-	13.64	-	-	-
L10	6.25	21.88	3.13	18.75	18.75	-	3.13	-	28.13	-	-	-

หมายเหตุ: - หมายถึง ไม่พบไมโครพลาสติกในตัวอย่าง

ตารางที่ ผค - 21 สีของไมโครพลาสติกแต่ละรูปร่างในตัวอย่างที่มีขนาดมากกว่า 63 ไมโครเมตร (ชิ้น/300 กรัมน้ำหนักทรายแห้ง)

รูปร่าง	จำนวนไมโครพลาสติกในตัวอย่างที่มีขนาด $> 63 \mu\text{m}$ (ชิ้น/300 กรัมน้ำหนักทรายแห้ง)											รวม (ชิ้น)	
	ขาวขุ่น	ขาวใส	แดง	ดำ	น้ำเงิน	ฟ้า	เขียว	เทา	น้ำตาล	เหลือง	ส้ม		
เส้นใย	38	183	10	45	74	6	6	-	24	4	-	4	394
ชิ้นส่วนไร้รูปแบบ	1	1	14	111	12	7	13	-	78	-	1	3	241
ทรงกลม	27	4	-	1	-	-	-	-	-	-	-	-	32
แท่ง	-	3	-	-	-	-	-	-	4	-	-	-	7
รวม	66	191	24	157	86	13	19	-	106	4	1	7	674

หมายเหตุ: - หมายถึง ไม่พบไมโครพลาสติกในตัวอย่าง

ตารางที่ ผค - 22 สีของไมโครพลาสติกในตัวอย่างที่มีขนาดน้อยกว่า 63 ไมโครเมตร (ชิ้น/300 กรัมน้ำหนักทรายแห้ง)

รูปร่าง	จำนวนไมโครพลาสติกในตัวอย่างที่มีขนาด $< 63 \mu\text{m}$ (ชิ้น/300 กรัมน้ำหนักทรายแห้ง)											รวม (ชิ้น)	
	ขาวขุ่น	ขาวใส	แดง	ดำ	น้ำเงิน	ฟ้า	เขียว	เทา	น้ำตาล	เหลือง	ส้ม		
เส้นใย	17	138	10	32	47	5	3	-	22	-	-	1	275
ชิ้นส่วนไร้รูปแบบ	1	2	9	24	9	6	3	-	41	-	-	-	95
ทรงกลม	8	2	-	2	-	-	-	-	-	-	-	-	12
แท่ง	2	2	1	1	-	-	-	-	1	-	-	-	7
รวม	28	144	20	59	56	11	6	-	64	-	-	1	389

หมายเหตุ: - หมายถึง ไม่พบไมโครพลาสติกในตัวอย่าง

ตารางที่ ผค - 23 จำนวนร้อยละของสีของไมโครพลาสติกแต่ละรูปร่าง (ขนาดมากกว่า 63 ไมโครเมตร)

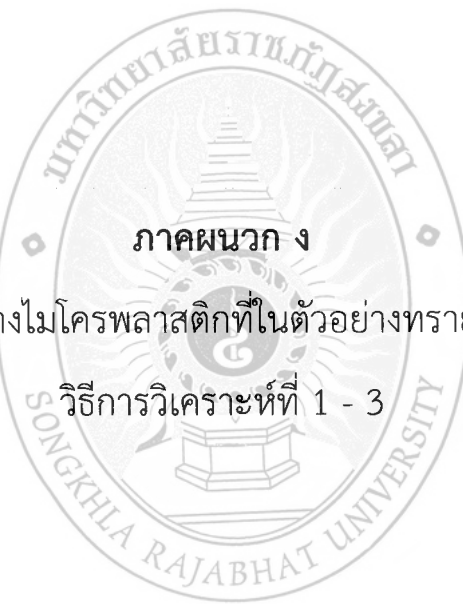
รูปร่าง	จำนวนร้อยละของสีของไมโครพลาสติกในตัวอย่างที่มีขนาด $> 63 \mu\text{m}$											
	ขาวขุ่น	ขาวใส	แดง	ดำ	น้ำเงิน	ฟ้า	เขียว	เทา	น้ำตาล	เหลือง	ส้ม	
เส้นใย	9.64	46.45	2.54	11.42	18.78	1.52	1.52	-	6.09	1.02	-	1.02
ชิ้นส่วนไร้รูปแบบ	0.41	0.41	5.81	46.06	4.98	2.90	5.39	-	32.37	-	0.41	1.24
ทรงกลม	84.38	12.50	-	3.13	-	-	-	-	-	-	-	-
แท่ง	-	42.86	-	-	-	-	-	-	57.14	-	-	-

หมายเหตุ: - หมายถึง ไม่พบไมโครพลาสติกในตัวอย่าง

ตารางที่ ผค - 24 จำนวนร้อยละของสีของไมโครพลาสติกแต่ละรูปร่าง (ขนาดน้อยกว่า 63 ไมโครเมตร)

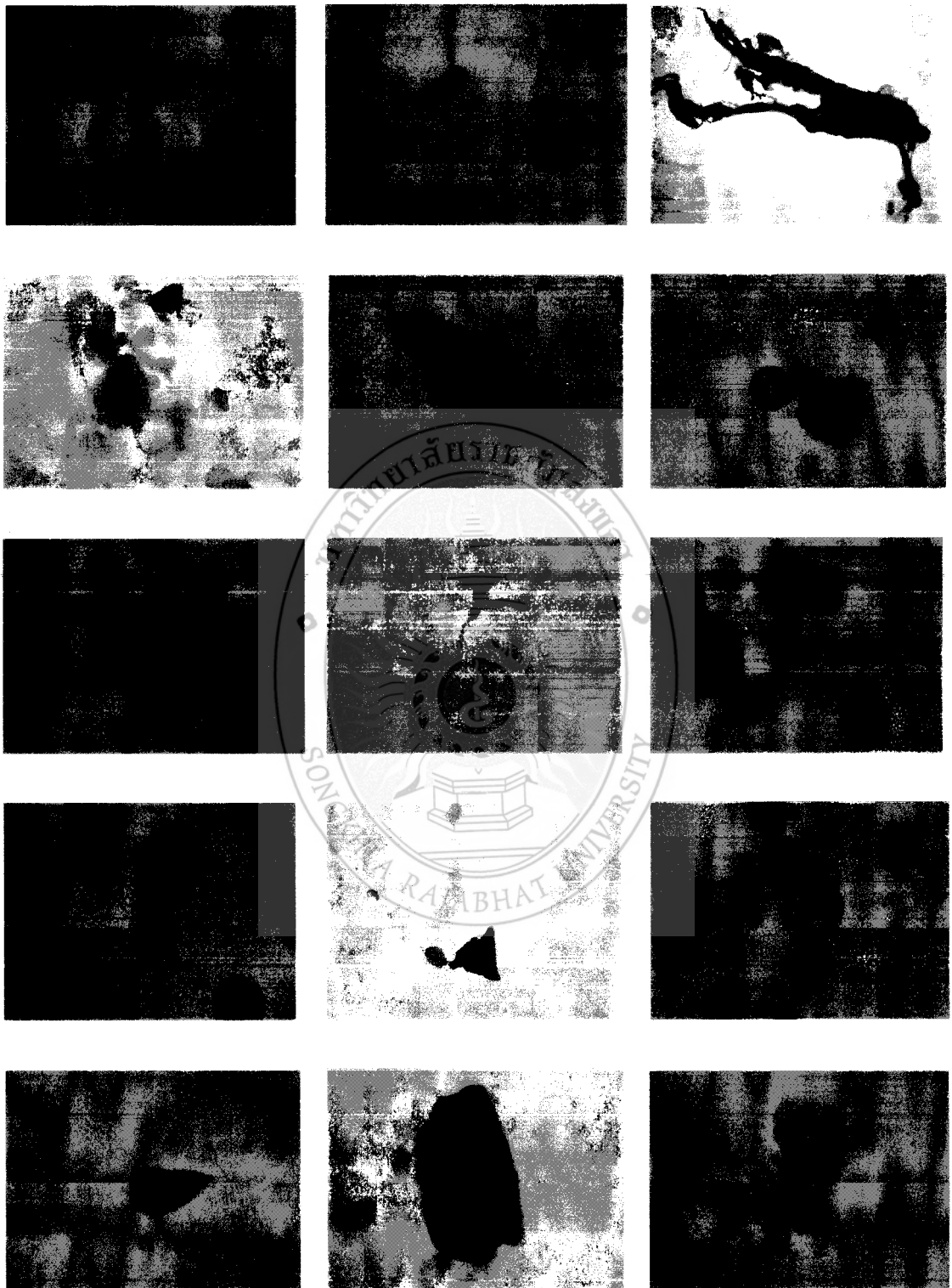
รูปร่าง	จำนวนร้อยละของสีของไมโครพลาสติกในตัวอย่างที่มีขนาด $< 63 \mu\text{m}$											
	ขาวขุ่น	ขาวใส	แดง	ดำ	น้ำเงิน	ฟ้า	เขียว	เทา	น้ำตาล	เหลือง	ส้ม	
เส้นใย	6.18	50.18	3.64	11.64	17.09	1.82	1.09	-	8.00	-	-	0.36
ชิ้นส่วนไร้รูปแบบ	1.05	2.11	9.47	25.26	9.47	6.32	3.16	-	43.16	-	-	-
ทรงกลม	66.67	16.67	-	16.67	-	-	-	-	-	-	-	-
แท่ง	28.57	28.57	14.29	14.29	-	-	-	-	14.29	-	-	-

หมายเหตุ: - หมายถึง ไม่พบไมโครพลาสติกในตัวอย่าง

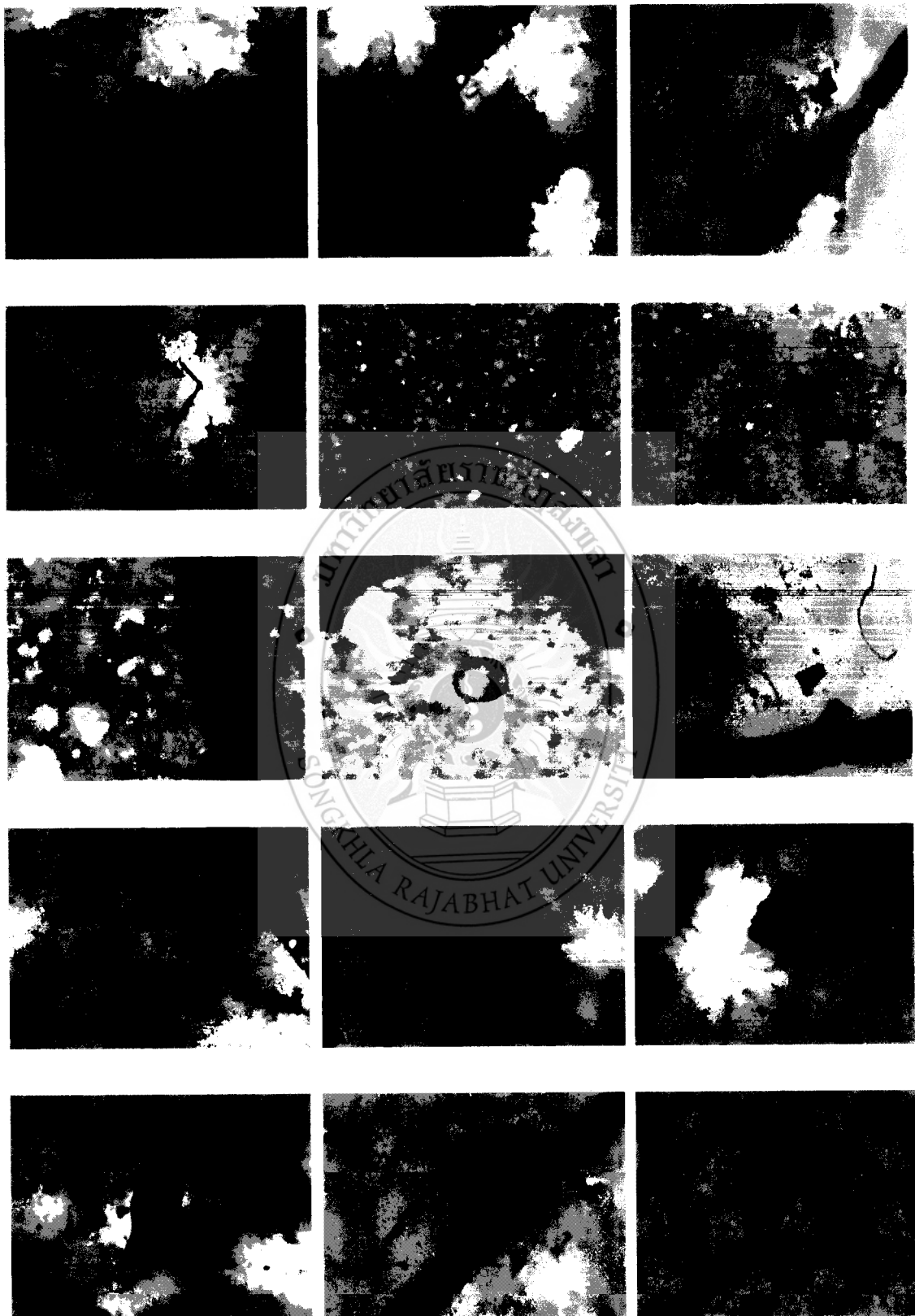


ภาพตัวอย่างไมโครพลาสติกที่ในตัวอย่างทรัพย์ชาญหาด

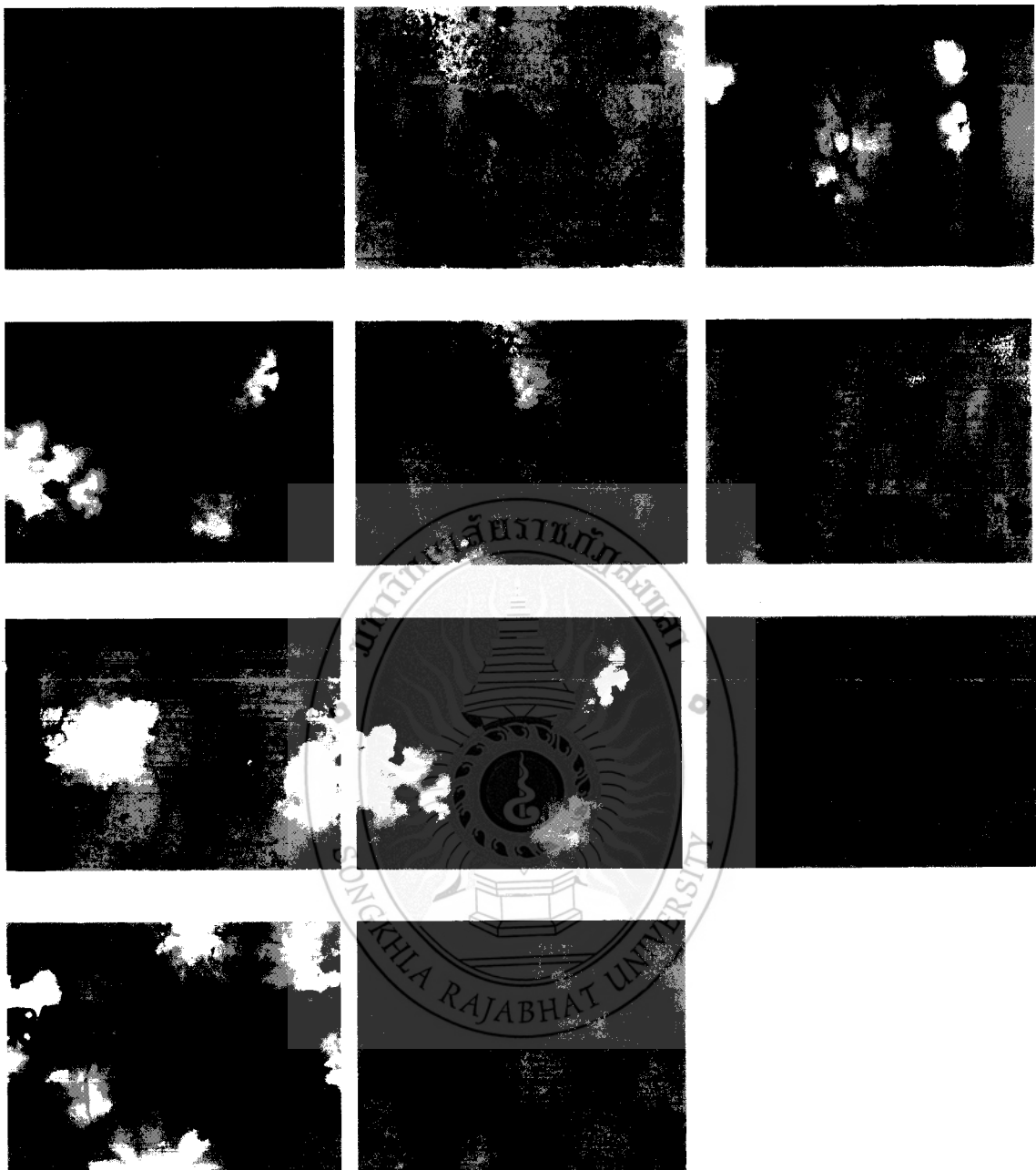
วิธีการวิเคราะห์ที่ 1 - 3



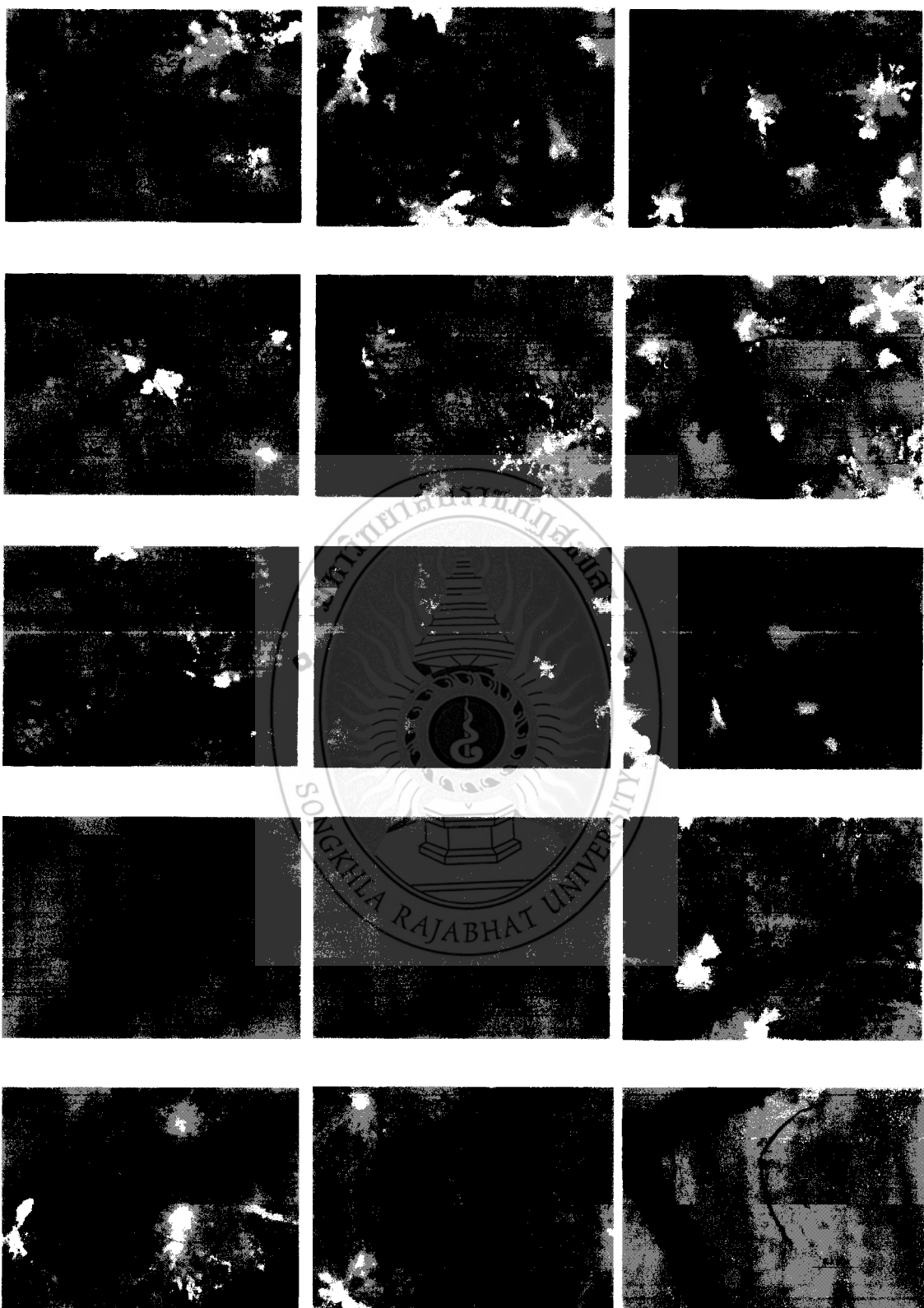
ภาพที่ ผง - 1 ตัวอย่างไมโครพลาสติกที่ได้จากการวิเคราะห์ที่ 1



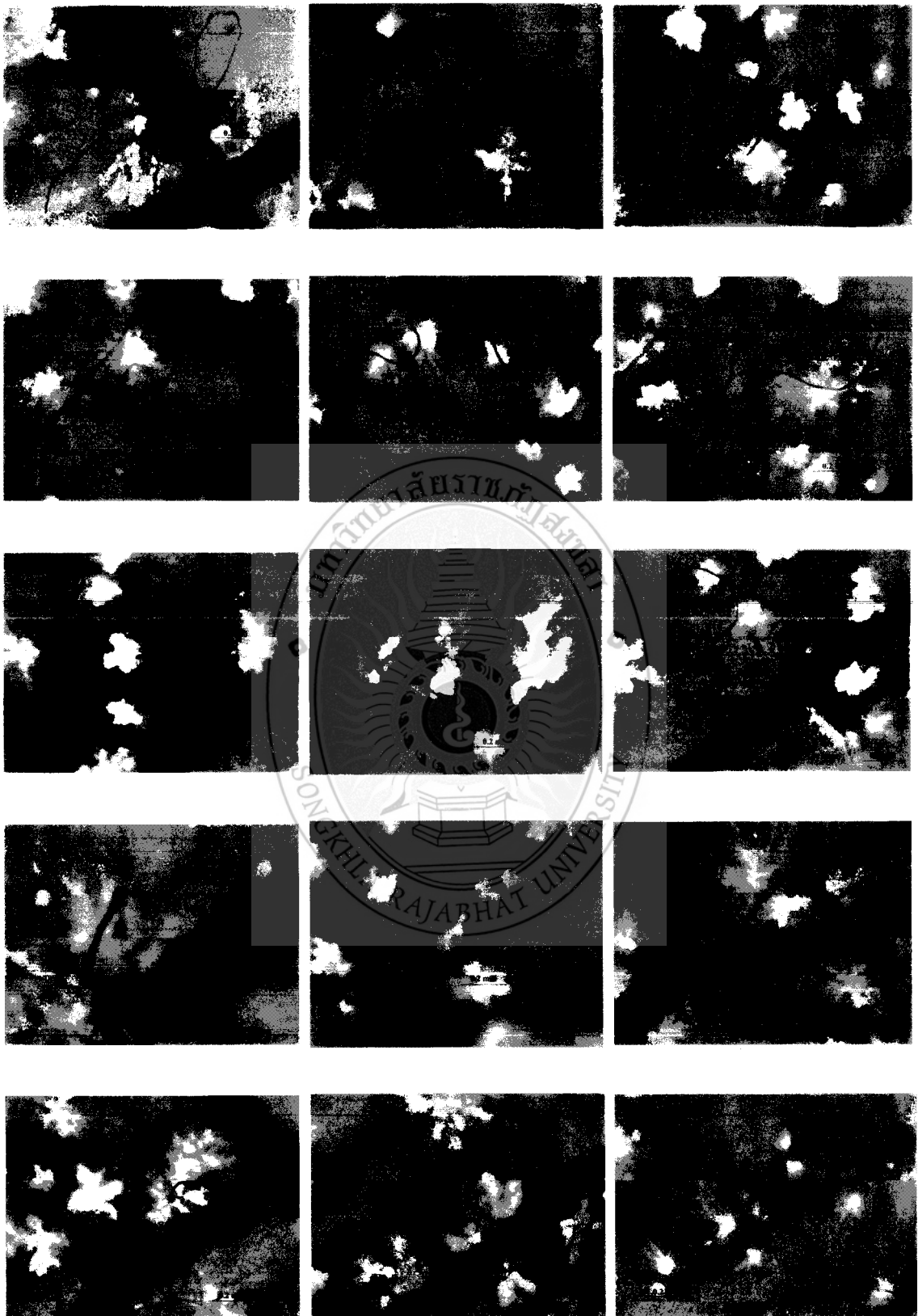
ภาพที่ ผง - 2 ตัวอย่างไมโครพลาสติกที่ได้จากการวิเคราะห์ที่ 2



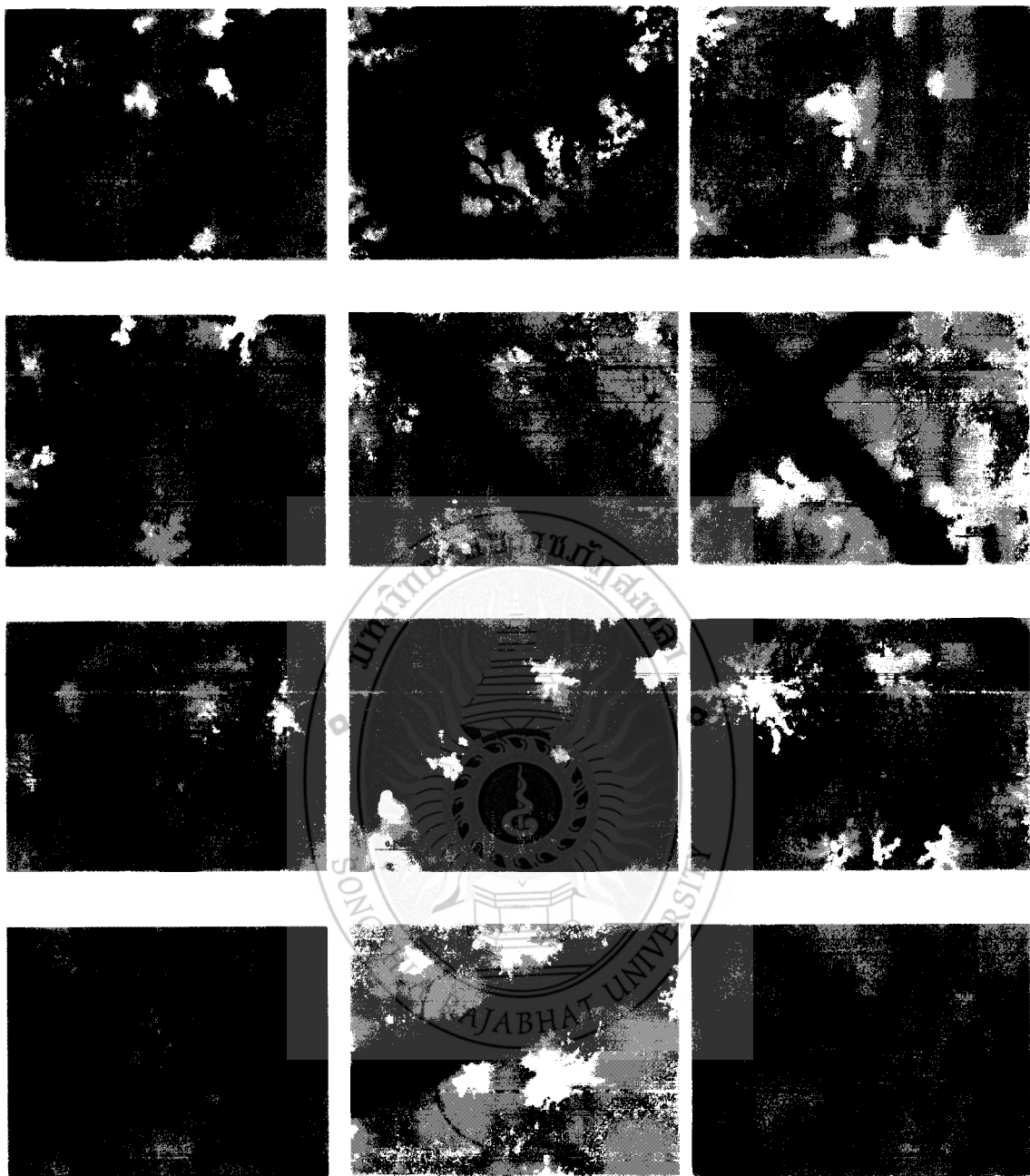
ภาพที่ ผง - 2 ตัวอย่างไมโครพลาสติกที่ได้จากการวิเคราะห์ที่ 2 (ต่อ)



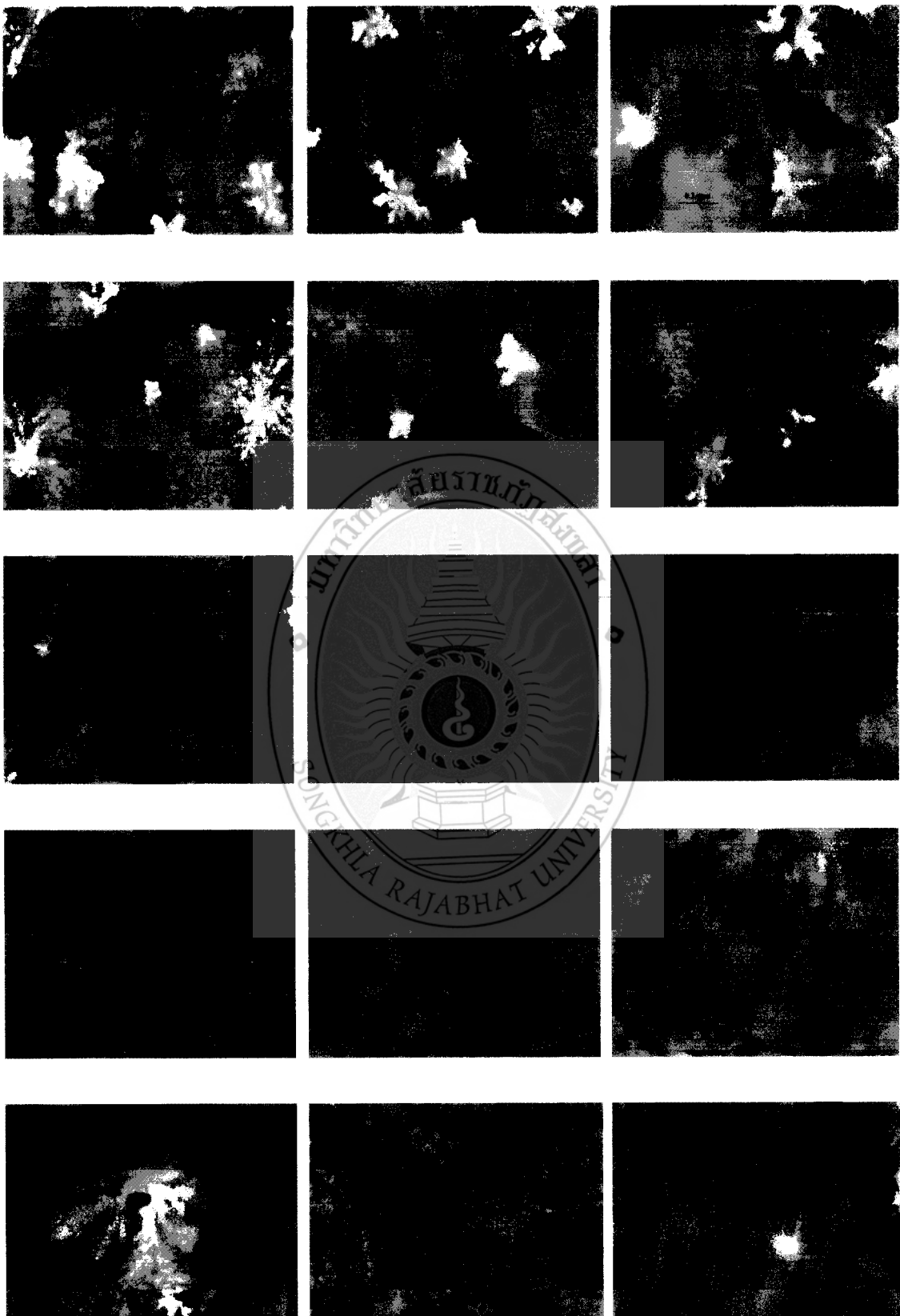
ภาพที่ ผง - 3 ตัวอย่างไมโครพลาสติกรูปร่างเส้นใย (ขนาดมากกว่า 63 ไมโครเมตร) ที่ได้จากการ
วิเคราะห์ที่ 3



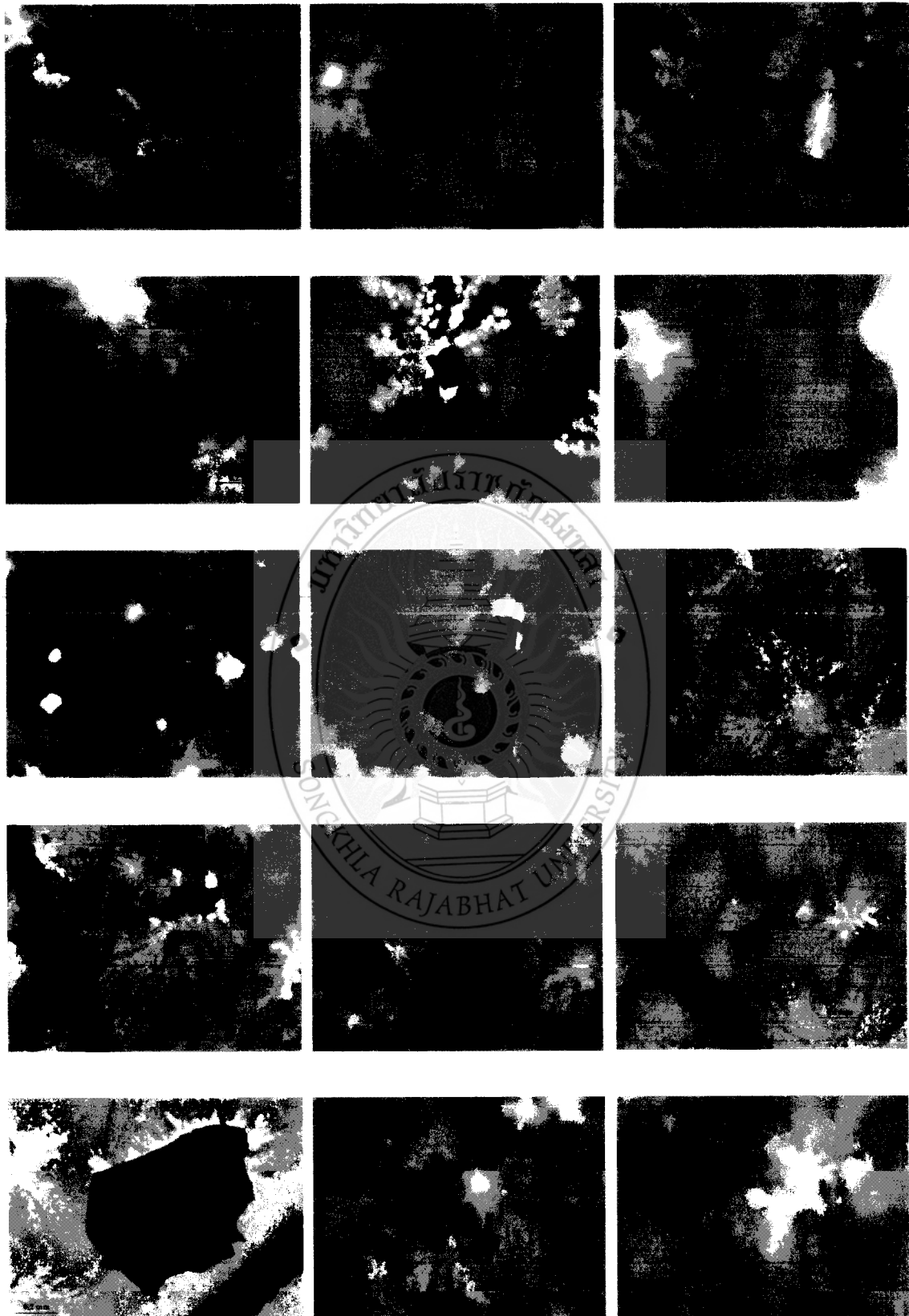
ภาพที่ ผง - 3 ตัวอย่างไมโครพลาสติกถูปร่างเส้นใย (ขนาดมากกว่า 63 ไมโครเมตร) ที่ได้จากการวิเคราะห์ที่ 3 (ต่อ)



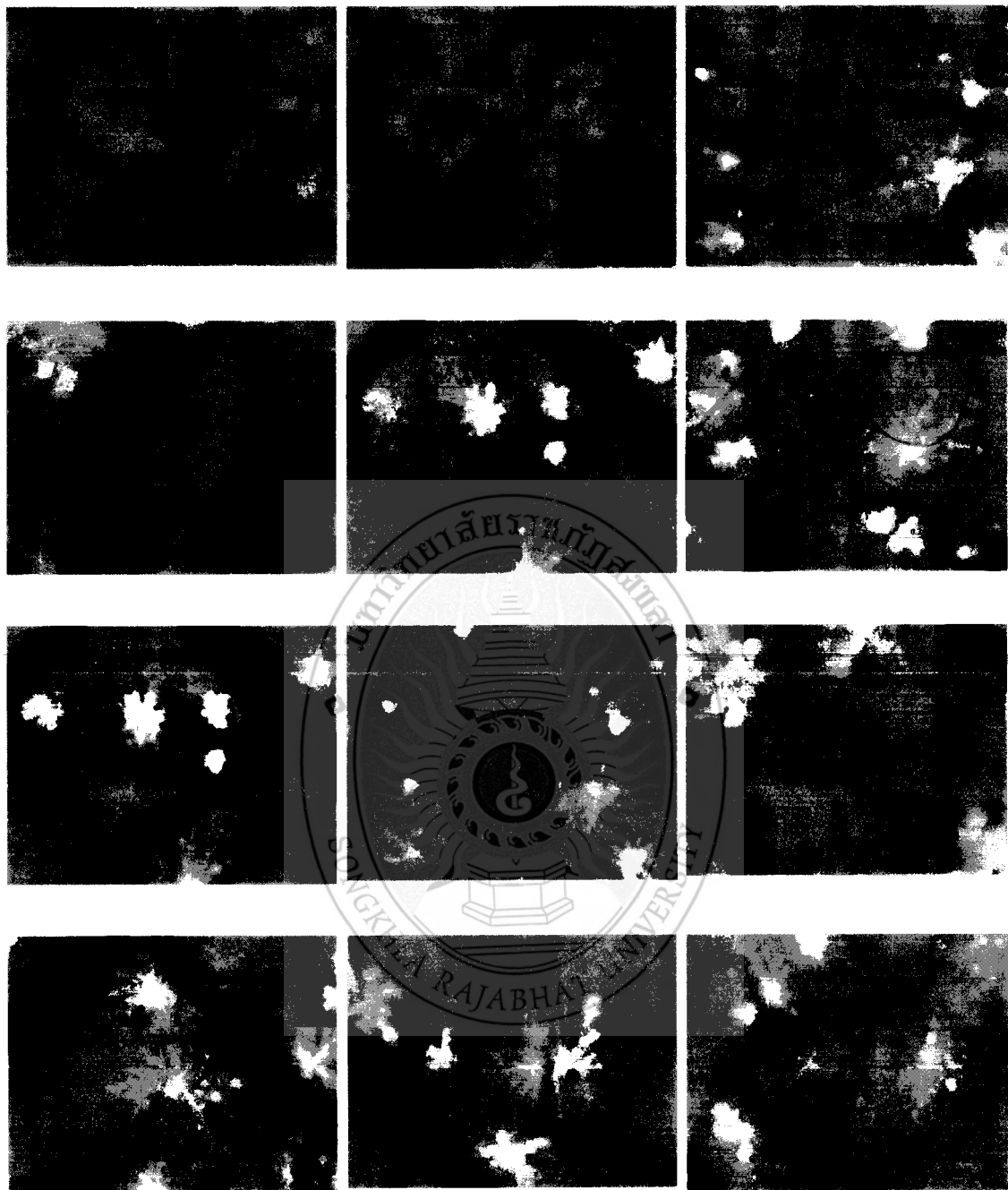
ภาพที่ ผง - 3 ตัวอย่างไม้โครงพลาสติกูปร่างเส้นใย (ขนาดมากกว่า 63 มิลลิเมตร) ที่ได้จากการ
วิเคราะห์ที่ 3 (ต่อ)



ภาพที่ พง - 4 ตัวอย่างไมโครพลาสติกรูปร่างซีนส่วนแร่รูปแบบ (ขนาดมากกว่า 63 ไมโครเมตร)
ที่ได้จากการวิเคราะห์ที่ 3



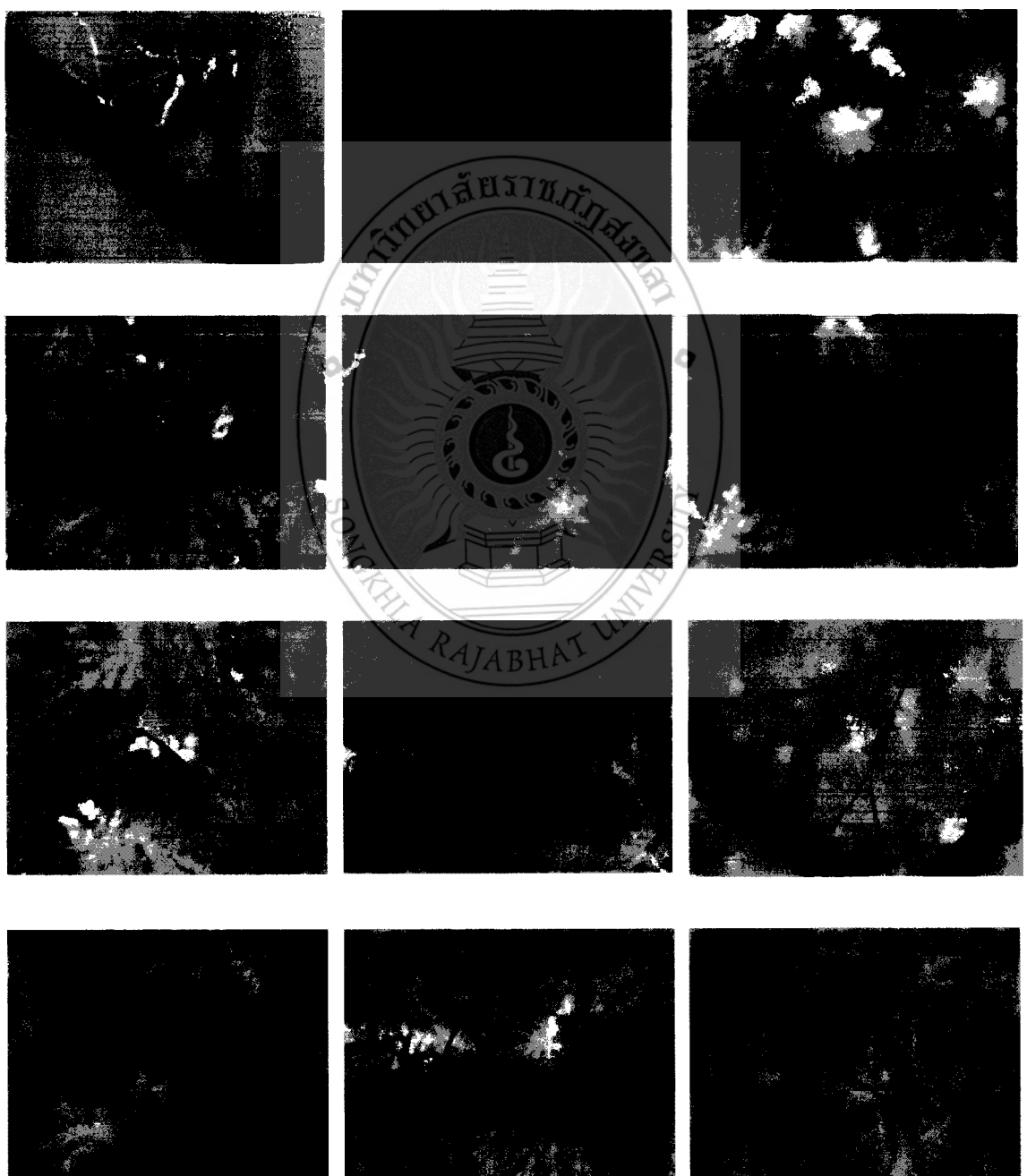
ภาพที่ ผง - 4 ตัวอย่างไมโครพลาสติกในปรั่งชั้นล่างในรูปแบบ (ขนาดมากกว่า 63 ไมครอนเมตร)
ที่ได้จากการวิเคราะห์ที่ 3 (ต่อ)



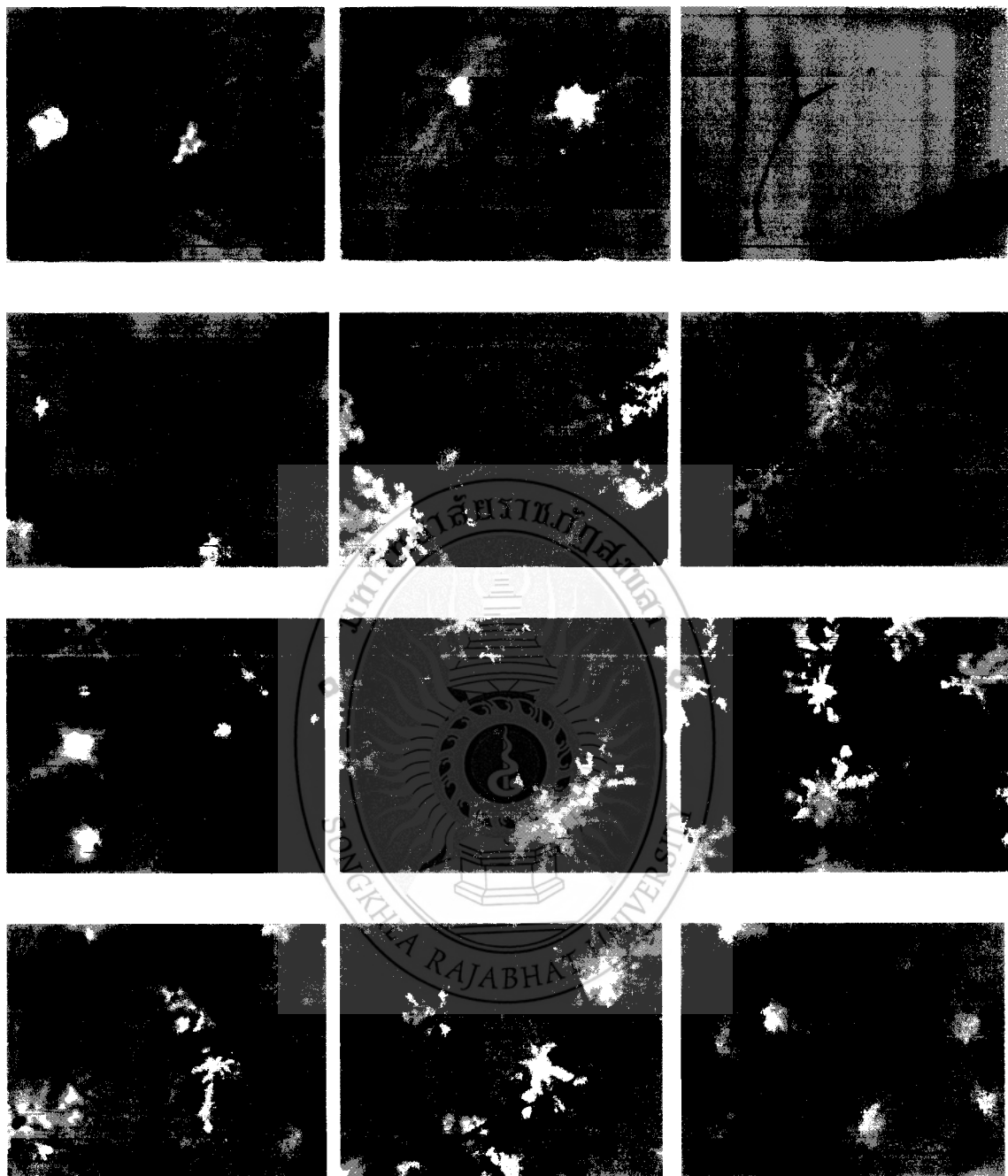
ภาพที่ ผง - 5 ตัวอย่างไมโครพลาสติกรูปร่างทรงกลม (ขนาดมากกว่า 63 ไมโครเมตร) ที่ได้จาก
วิธีการวิเคราะห์ที่ 3



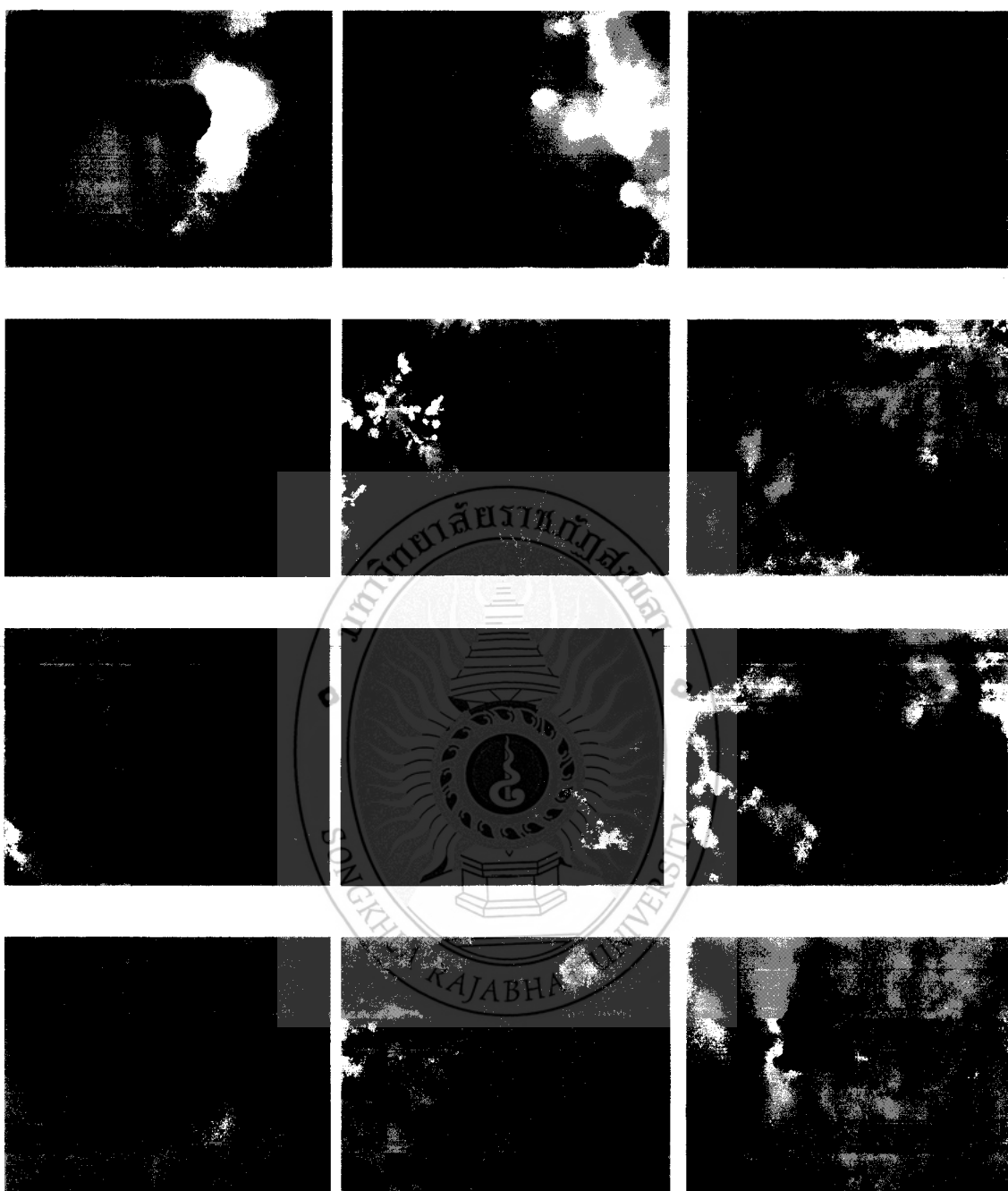
ภาพที่ ผง - 6 ตัวอย่างไมโครพลาสติกรูปร่างแท่ง (ขนาดมากกว่า 63 ไมโครเมตร) ที่ได้จากการวิเคราะห์ที่ 3



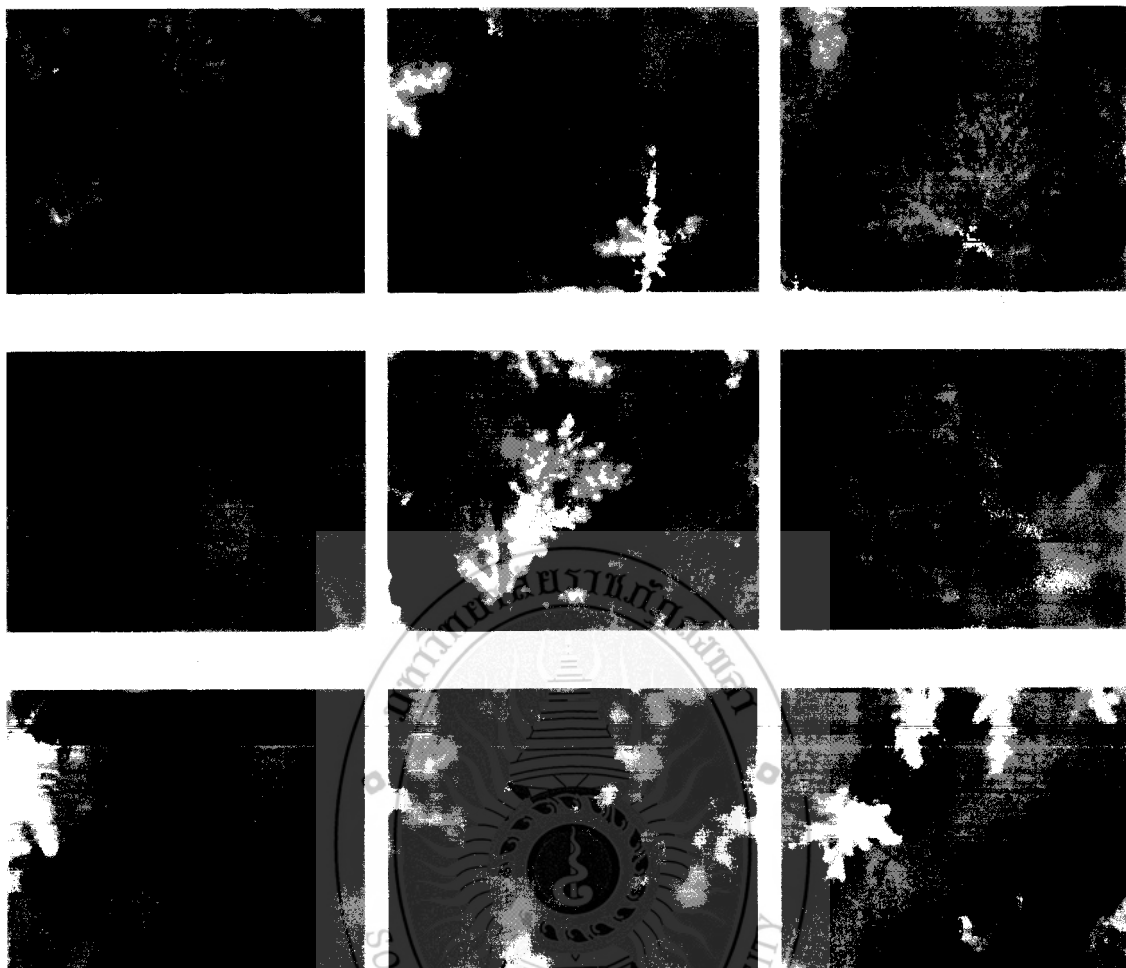
ภาพที่ ผง - 7 ตัวอย่างไมโครพลาสติกรูปร่างเส้นใย (ขนาดน้อยกว่า 63 ไมโครเมตร) ที่ได้จากการวิเคราะห์ที่ 3



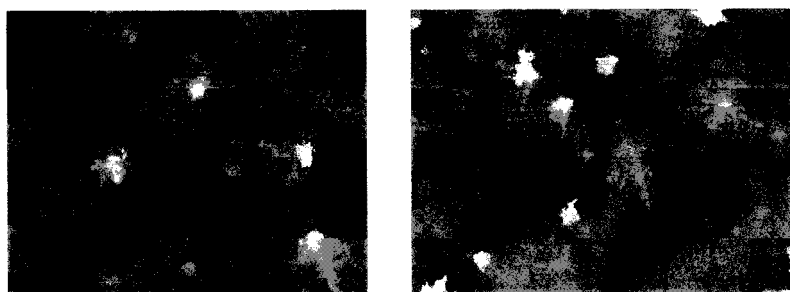
ภาพที่ ผง - 7 ตัวอย่างไมโครพลาสติกรูปร่างเส้นใย (ขนาดน้อยกว่า 63 ไมโครเมตร) ที่ได้จากการ
วิเคราะห์ที่ 3 (ต่อ)



ภาพที่ ผง - 8 ตัวอย่างไมโครพลาสติกถูปร่างชิ้นส่วนไวรูปแบบ (ขนาดน้อยกว่า 63 ไมโครเมตร)
ที่ได้จากการวิเคราะห์ที่ 3



ภาพที่ ผง - 9 ตัวอย่างไมโครพลาสติกรูปร่างทรงกลม (ขนาดน้อยกว่า 63 ไมโครเมตร) ที่ได้จากการวิเคราะห์ที่ 3



ภาพที่ ผง - 10 ตัวอย่างไมโครพลาสติกรูปร่างทรงกลม (ขนาดน้อยกว่า 63 ไมโครเมตร) ที่ได้จากการวิเคราะห์ที่ 3



ประวัติผู้วิจัย

ชื่อ นามสกุล	นางสาวกนกพร บัวจันทร์
วัน เดือน ปีเกิด	วันที่ 7 ธันวาคม 2538
รหัสนักศึกษา	564232001
เบอร์โทรศัพท์	093 - 5768556
อีเมลล์	mai.praew19@gmail.com
ที่อยู่	57/44 ถ.ป่าไม้ ต.กันตัง อ.กันตัง จ.ตรัง 92110
การศึกษา	โปรแกรมวิชาวิทยาศาสตร์สิ่งแวดล้อม (เทคโนโลยีสิ่งแวดล้อม) คณะวิทยาศาสตร์และเทคโนโลยี
ชื่อ นามสกุล	นางสาวเบญจกรรณ มณีโชคิ
วัน เดือน ปีเกิด	วันที่ 2 ธันวาคม 2536
รหัสนักศึกษา	564232016
เบอร์โทรศัพท์	081 - 2583912
อีเมลล์	ben016tham@gmail.com
ที่อยู่	37 หมู่ 7 ตำบลทุ่งหม้อ อำเภอสะเดา จังหวัดสงขลา 90240
การศึกษา	โปรแกรมวิชาวิทยาศาสตร์สิ่งแวดล้อม (เทคโนโลยีสิ่งแวดล้อม) คณะวิทยาศาสตร์และเทคโนโลยี